

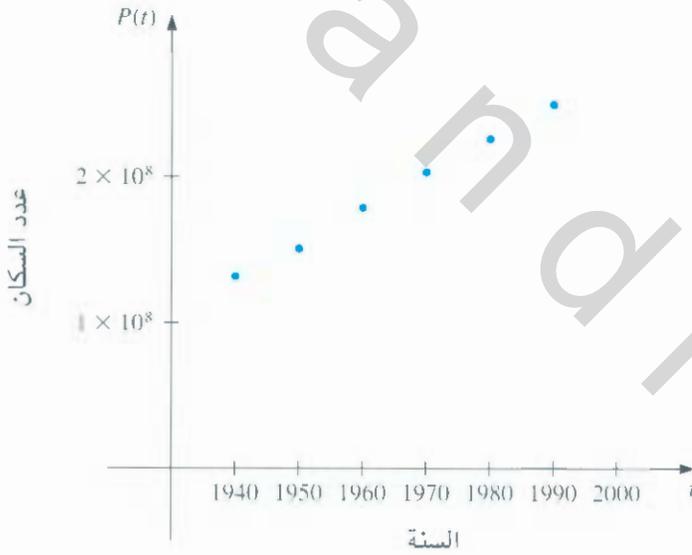
الاستكمال الداخلي وتقريب كثيرات الحدود

Interpolation and Polynomial Approximation

مقدمة

يجري تعداد السكان في الولايات المتحدة كل عشر سنوات. ويبين الجدول الآتي عدد السكان (بالآلاف) ما بين 1940 و 1990.

السنة	1940	1950	1960	1970	1980	1990
عدد السكان بالآلاف	132,165	151,326	179,323	203,302	226,542	249,633

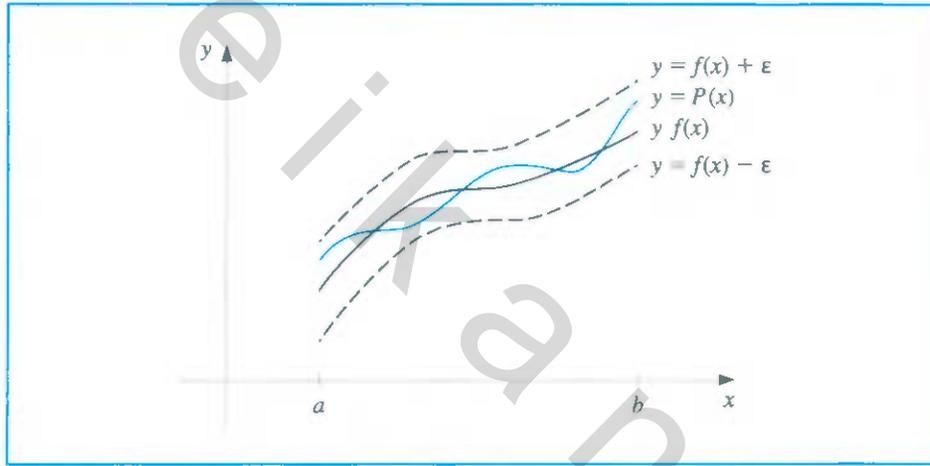


وقد نتساءل عند دراسة هذه البيانات ما إذا كان يمكن استخدامها لإعطاء تقريب مناسب لعدد السكان عام 1965 أو حتى سنة 2010 مثلاً. ويمكن إيجاد تنبؤات من هذا النوع مستخدمين دالة تتناسب مع البيانات. وتسمى هذه العملية "استكمالاً أو استكمالاً داخلياً - interpolation" وهو موضوع هذا الباب. وقد أخذت مسألة تعداد السكان هذه في الحسبان ضمن هذا الباب وفي التمارين: (28) من الفصل (1.3)، و (18) من الفصل (2.3) و (28) من الفصل (4.3).

وأحد صنوف الدوال المشهورة والتي تخدم هدفنا في هذا الباب، والتي كل من مجالها ومجالها المقابل هو مجموعة الأعداد الحقيقية. هو صنف كثيرات الحدود الجبرية التي تأخذ الصورة:

$$P_n(x) = a_n x^n + a_{n-1} x^{n-1} + \dots + a_1 x + a_0$$

حيث تمثل n عدد صحيح غير سالب و a_0, \dots, a_n معاملات حقيقية. وأحد أسباب أهميتها كونها تقرب الدوال المتصلة بانتظام. خذ أي دالة معرفة ومتصلة على فترة محددة ومغلقة، عندئذ توجد كثيرة حدود تقرب من الدالة المعطاة وعلى النحو المطلوب. وهذه النتيجة يعبر عنها تحديداً في المبرهنة الآتية. (انظر شكل 1.3)



شكل 1.3

Weierstrass Approximation Theorem

مبرهنة تقريب فايرستراس

مبرهنة 1.3

لتكن f دالة معرفة ومتصلة على الفترة $[a, b]$. عندئذ، لكل $\epsilon > 0$ ، توجد كثيرة حدود $P(x)$ تحقق $|f(x) - P(x)| < \epsilon$ لكل x في الفترة $[a, b]$. يمكن إيجاد برهان هذه المبرهنة في عالية المراجع الابتدائية في التحليل الحقيقي. (انظر [Bart, pp. 165–172]) هناك سبب مهم آخر للتعامل مع فئة كثيرات الحدود في تقريب الدوال هو كون الاشتقاق والتكامل اللامنتهي لكثيرة الحدود سهل التحديد. وتكون نفسها كثيرة الحدود أيضا. ولهذه الأسباب، تستخدم كثيرات الحدود لتقريب الدوال المتصلة غالباً.

لقد تناولنا كثيرات حدود تايلور في الباب الأول من هذا الكتاب، حيث وصفت كأنها أحد الأركان الجوهرية في إنشاء التحليل العددي، وقد افترض أن تقدير كثيرة حدود يزيد في استخدام هذه الدوال بناءً على ذلك.

إن كثيرات حدود تايلور تتفق وبأكبر اقتراب ممكن مع دالة ما في نقطة محددة، ولكنها تركز دقتها قريباً من النقطة. وكثيرة حدود الاستكمال الداخلي الجيد تحتاج إلى إعطاء تقريب دقيق على طول الفترة نسبياً. وإن كثيرات حدود تايلور لا تقدم ذلك عموماً. افترض أننا نحسب أول ست كثيرات حدود تايلور حول $x_0 = 0$ لـ $f(x) = e^x$ على سبيل المثال.

كارل فايرستراس

Karl weierstrass (1815-1897)

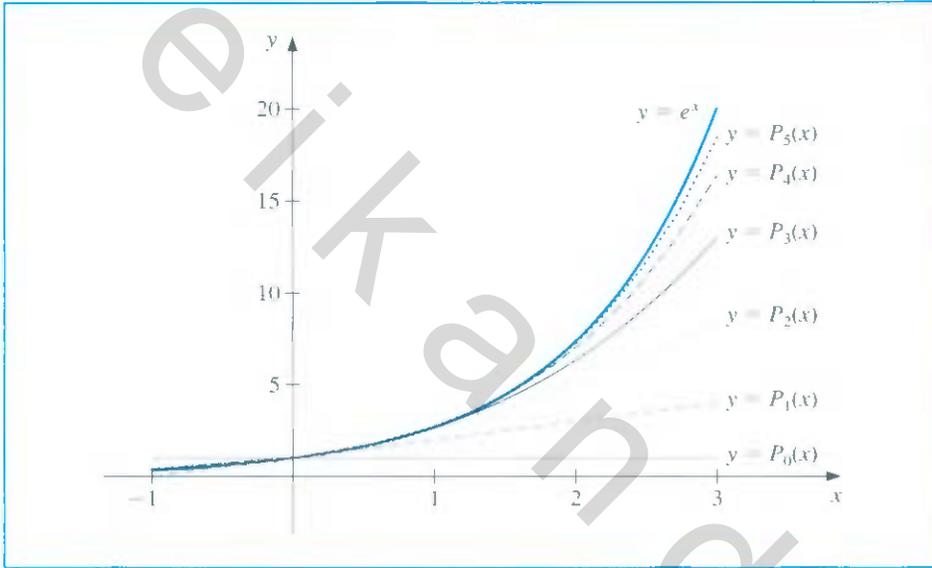
يدعى أحياناً الأب للتحليل الحديث بسبب إصراره على الصرامة في عرض النتائج الرياضية. لقد كان أدواتياً في تطوير اختبارات لتقارب السلسلة وفي تحديد طرائق لتعريف أرقام لامنتهية بدقة. وكان أول من أوضح بأن الدالة يمكن أن يكون مستمراً أينما كان، ولكنه لا يمكن أن يكون قابلاً للاشتقاق. وهي نتيجة أنهلت بعض معاصريه.

بما أن مشتقات $f(x)$ هي جميعها e^x حين حسابها عند $x_0 = 0$ تعطي القيمة 1. فإن كثيرات حدود تايلور هي:

$$P_3(x) = 1 + x + \frac{x^2}{2} + \frac{x^3}{6}, \quad P_2(x) = 1 + x + \frac{x^2}{2}, \quad P_1(x) = 1 + x, \quad P_0(x) = 1$$

$$P_5(x) = 1 + x + \frac{x^2}{2} + \frac{x^3}{6} + \frac{x^4}{24} + \frac{x^5}{120} \quad \text{و} \quad P_4(x) = 1 + x + \frac{x^2}{2} + \frac{x^3}{6} + \frac{x^4}{24}$$

إن رسوم كثيرات الحدود موضحة في شكل (2.3). (لاحظ أنه كلما ابتعدنا عن الصفر يزداد الخطأ أسوأ تدريجيًا حتى مع كثيرات الحدود برتب عالية).



شكل 2.3

ومع الحصول على استكمال داخلي أحسن لـ $f(x) = e^x$ في حالة استخدام كثيرات حدود تايلور برتب عليا. فإن الحال ليس كذلك لكل الدوال. لنفترض استخدام كثيرات حدود تايلور برتب مختلفة لـ $f(x) = 1/x$ ممتدة حول $x_0 = 1$ لتقريب $f(3) = \frac{1}{3}$. بوصفه مثالاً واضحاً على ذلك. وحيث إن

$$f(x) = x^{-1}, \quad f'(x) = -x^{-2}, \quad f''(x) = (-1)^2 \cdot 2 \cdot x^{-3}$$

$$f^{(k)}(x) = (-1)^k k! x^{-k-1} \quad \text{وعموماً}$$

فإن كثيرات حدود تايلور تكون

$$P_n(x) = \sum_{k=0}^n \frac{f^{(k)}(1)}{k!} (x-1)^k = \sum_{k=0}^n (-1)^k (x-1)^k$$

ونحصل على القيم في جدول (1.3) التي تشير إلى فشل ذريع في تقريب $f(3) = \frac{1}{3}$ بحدود $P_n(3)$ لقيم متصاعدة لـ n . فعندما نُقرب $f(3) = \frac{1}{3}$ بحدود $P_n(3)$ لقيم متصاعدة لـ n . فإن

التقريب يصبح غير دقيق من الجانب التصاعدي. ويلاحظ ذلك من جدول (1.3) أيضاً.

n	0	1	2	3	4	5	6	7
$P_n(3)$	1	-1	3	-5	11	-21	43	-85

جدول 1.3

وبما أن كثيرات حدود تايلور تتميز بكون المعلومات المستخدمة جميعها في التقريب متمركزة عند نقطة منفردة x_0 ، فإنه ليس مستبعداً لكثيرات الحدود هذه أن تعطي تقريبات غير دقيقة كلما ابتعدنا عن x_0 . وهذا ما يجعل تقريب كثيرة حدود تايلور مقتصرًا على الحاجة إلى التقريب فقط عند نقاط قريبة لـ x_0 . وللأغراض الحسابية المعتادة، فمن الأجدر استخدام طرائق تتضمن معلومات عند نقاط مختلفة، سنعتمدها فيما تبقى من هذا الفصل. إن الاستخدام الرئيس لكثيرات حدود تايلور ليس لأغراض التقريب. وإنما لاشتقاق أساليب عددية. ولتقريب الخطأ.

1.3 الاستكمال الداخلي وكثيرة حدود لاجرانج Interpolation and the Lagrange Polynomial

لما لم تكن كثيرات حدود تايلور مناسبة للاستكمال الداخلي، فهناك حاجة إلى طرائق بديلة. ونحصل في هذا الفصل على كثيرات حدود للتقريب تحدد بسهولة من خلال توصيف نقاط معينة على السطح وعبر أماكن وجوب مرورها بها.

إن مشكلة تحديد كثيرة حدود من الرتبة واحد تمرّ عبر نقاط مختلفة (x_0, y_0) و (x_1, y_1) هي نفسها عند تقريب الدالة f ، حيث $f(x_0) = y_0$ و $f(x_1) = y_1$ من خلال الاستكمال الداخلي بكثيرة حدود من الرتبة 1، أو الاتفاق مع قيم f عند النقط المعلومة. بداية نعرّف الدوال

$$L_1(x) = \frac{x - x_0}{x_1 - x_0} \quad \text{و} \quad L_0(x) = \frac{x - x_1}{x_0 - x_1}$$

ومن ثم نعرّف

$$P(x) = L_0(x)f(x_0) + L_1(x)f(x_1)$$

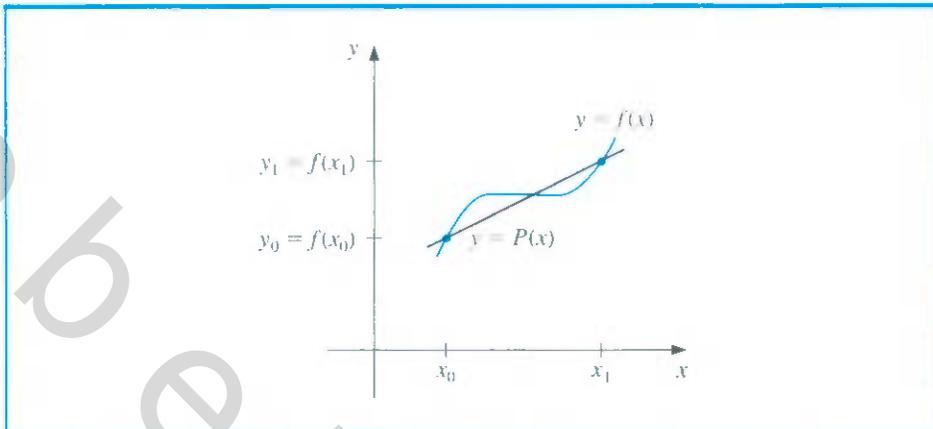
$$L_1(x_1) = 1 \quad \text{و} \quad L_0(x_0) = 1, \quad L_0(x_1) = 0, \quad L_1(x_0) = 0 \quad \text{وحيث إن}$$

$$P(x_0) = 1 \cdot f(x_0) + 0 \cdot f(x_1) = f(x_0) = y_0 \quad \text{يكون لدينا}$$

$$P(x_1) = 0 \cdot f(x_0) + 1 \cdot f(x_1) = f(x_1) = y_1 \quad \text{و}$$

وبذلك فإن P هي الدالة الخطية الوحيدة التي تمرّ عبرها (x_0, y_0) و (x_1, y_1) . (انظر شكل 1.3.3).

شكل 3.3

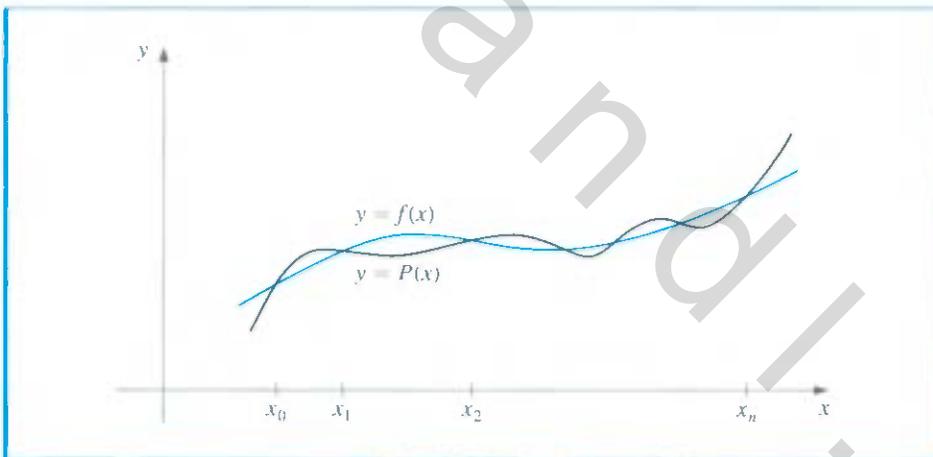


لتعميم مفهوم الاستكمال الداخلي الخطي؛ ندرس إنشاء كثيرة حدود رتبته لا تزيد عن n ، وتمر بعدد $n + 1$ من النقاط

$$(x_0, f(x_0)), (x_1, f(x_1)), \dots, (x_n, f(x_n))$$

(انظر شكل 4.3).

شكل 4.3



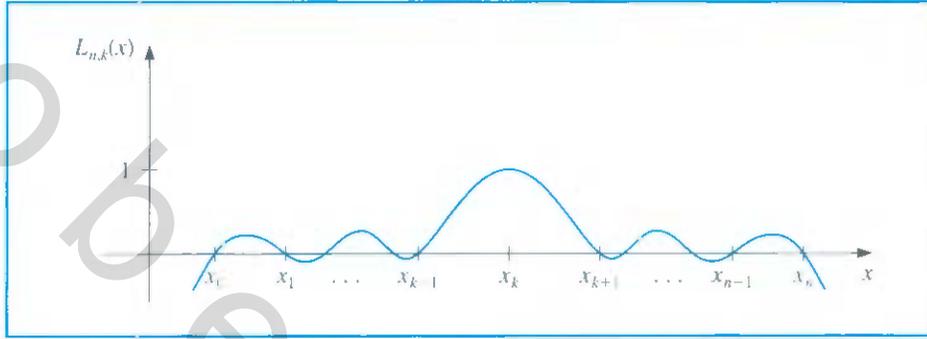
نحتاج في هذه الحالة إلى إنشاء. لكل $k = 0, 1, \dots, n$. دالة $L_{n,k}(x)$ مع خاصية كون $L_{n,k}(x_i) = 0$ عندما $i \neq k$ و $L_{n,k}(x_k) = 1$. ولتحقيق $L_{n,k}(x_i) = 0$ لكل $i \neq k$ ، يتطلب الأمر تضمين بسط $L_{n,k}(x)$ للمقدار

$$(x - x_0)(x - x_1) \cdots (x - x_{k-1})(x - x_{k+1}) \cdots (x - x_n)$$

ولتحقيق $L_{n,k}(x_k) = 1$ ، فإن بسط $L_{n,k}(x)$ يجب أن يساوي هذا المقدار عند $x = x_k$. وعندئذ

$$L_{n,k}(x) = \frac{(x - x_0) \cdots (x - x_{k-1})(x - x_{k+1}) \cdots (x - x_n)}{(x_k - x_0) \cdots (x_k - x_{k-1})(x_k - x_{k+1}) \cdots (x_k - x_n)}$$

يوضح شكل (5.3) تخطيطاً لشكل $L_{n,k}$ النموذجي.



شكل 5.3

من السهولة توضيح كثيرة حدود الاستكمال الداخلي إذا ما عرفت صيغة $L_{r,k}$. وتدعى كثيرة الحدود هذه "كثيرة حدود لاجرانج النوني الاستكمال الداخلي *n*th Lagrange interpolating polynomial" وتعريفها ضمن المبرهنة الآتية.

إذا كانت x_0, x_1, \dots, x_n أعداداً مختلفة عددها $n + 1$. وكانت f دالة قيمها معطاة عند هذه الأعداد، فإنه يوجد كثيرة حدود وحيدة $P(x)$ لا تزيد رتبته عن n . وتحقق $f(x_k) = P(x_k)$ لكل $k = 0, 1, \dots, n$

مبرهنة 2.3

وكثيرة الحدود هذه هي

$$P(x) = f(x_0)L_{n,0}(x) + \dots + f(x_n)L_{n,n}(x) = \sum_{k=0}^n f(x_k)L_{n,k}(x) \tag{1.3}$$

حيث إن لكل $k = 0, 1, \dots, n$ لدينا

$$L_{n,k}(x) = \frac{(x - x_0)(x - x_1) \dots (x - x_{k-1})(x - x_{k+1}) \dots (x - x_n)}{(x_k - x_0)(x_k - x_1) \dots (x_k - x_{k-1})(x_k - x_{k+1}) \dots (x_k - x_n)} \tag{2.3}$$

$$= \prod_{\substack{i=0 \\ i \neq k}}^n \frac{(x - x_i)}{(x_k - x_i)}$$

سنكتب $L_{n,k}(x)$ بصيغة $L_k(x)$ للسهولة حينما لا يوجد أي مشكلة بشأن درجته.

باستخدام الأعداد (أو النقاط) $x_2 = 4, x_1 = 2.5, x_0 = 2$ فإن إيجاد كثيرة حدود الاستكمال الداخلي الثاني لـ $f(x) = 1/x$ يتطلب منا تحديد معاملات كثيرات الحدود $L_0(x), L_1(x), L_2(x)$. وهي وفق الصيغة المتداخلة

إن صيغة الاستكمال الداخلي المنسوبة إلى جوزيف لويس لاجرانج Joseph Louis Lagrange (1736 - 1813) كانت وكأنها معروفة من قبل إسحق نيوتن Isaac Newton نحو 167٤. ولكن يبدو أنها قد نشرت أولاً من قبل إدوارد وارينج Edward waring (1736 - 1798) في 1779 لاجرانج قد كتب على نحو واسع حول موضوع الاستكمال الداخلي. وكان عمله مثار اهتمام الرياضيين الآخرين. لقد نشر هذه النتيجة عام 1795

مثال 1

$$L_0(x) = \frac{(x - 2.5)(x - 4)}{(2 - 2.5)(2 - 4)} = (x - 6.5)x + 10$$

$$L_1(x) = \frac{(x - 2)(x - 4)}{(2.5 - 2)(2.5 - 4)} = \frac{(-4x + 24)x - 32}{3}$$

$$L_2(x) = \frac{(x - 2)(x - 2.5)}{(4 - 2)(4 - 2.5)} = \frac{(x - 4.5)x + 5}{3}$$

وحيث إن

$$f(x_2) = f(4) = 0.25 \text{ و } f(x_1) = f(2.5) = 0.4 \text{ , } f(x_0) = f(2) = 0.5$$

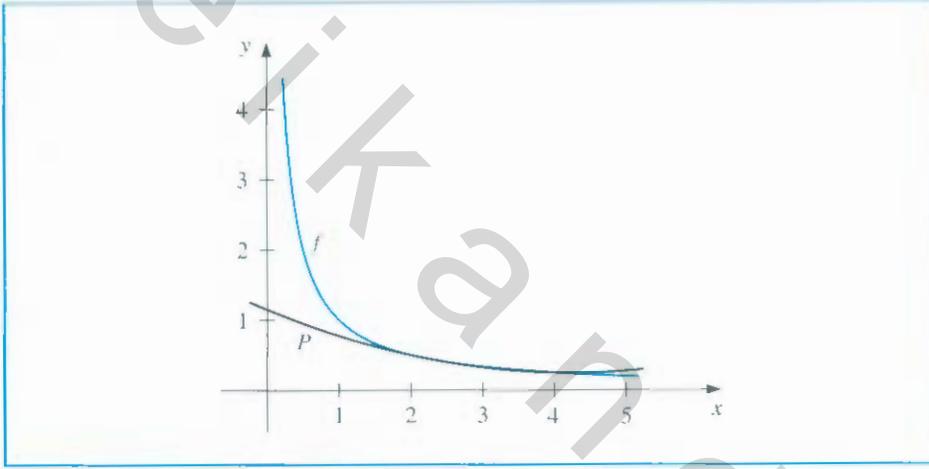
يكون لدينا

$$P(x) = \sum_{k=0}^2 f(x_k) L_k(x)$$

$$= 0.5((x - 6.5)x + 10) + 0.4 \frac{(-4x + 24)x - 32}{3} + 0.25 \frac{(x - 4.5)x + 5}{3}$$

$$= (0.05x - 0.425)x + 1.15$$

والتقريب إلى $\frac{1}{3}$ ، $f(3) \approx P(3) = 0.325$ سيكون (انظر شكل 6.3)



شكل 6.3

قارن هذا بجدول (1.3) في حال عدم إمكانية استخدام كثيرة حدود تايلور . ممتدة حول x_0 ، لتقريب معقول لـ $f(3) = \frac{1}{3}$.

يمكننا استخدام CAS لإنشاء كثيرة حدود استكمال داخلي . على سبيل المثال نستخدم في Maple

```
>interp(X,Y,x);
```

حيث يمثل X النقطة $[x_0, \dots, x_n]$ ، ويمثل Y النقطة $[f(x_0), \dots, f(x_n)]$ ، و x هو المتغير

المستخدم . في هذا المثال يمكننا توليد كثيرة حدود استكمال داخلي

$$P(x) = 0.05x^2 - 0.425x + 1.15 \text{ مع الأمر}$$

```
>P:=interp([2,2.5,4],[0.5,0.4,0.25],x);
```

ولحساب $P(3)$ بوصفه تقديراً لـ $f(3) = \frac{1}{3}$ ؛ أدخل

```
>subs(x=3,P);
```

الذي يعطي 0.325.

الخطوة الآتية هي حساب الحد المتبقي أو حد الخطأ الداخل في تقريب دالة من خلال كثيرة حدود استكمال داخلي. لقد أجري ذلك في المبرهنة الآتية.

افتراض أن x_0, x_1, \dots, x_n أعداد مختلفة في الفترة $[a, b]$. وأن $f \in C^{n+1}[a, b]$. عندئذ لكل x ينتمي للفترة $[a, b]$. يوجد عدد $\xi(x)$ (عادة ما يكون غير معلوم) في الفترة (a, b) يحقق

$$f(x) = P(x) + \frac{f^{(n+1)}(\xi(x))}{(n+1)!} (x-x_0)(x-x_1)\cdots(x-x_n) \quad (3.3)$$

حيث إن $P(x)$ كثيرة حدود استكمال داخلي معطاة في الصيغة (1.3). البرهان لاحظ أولاً أنه إذا كان $x = x_k$ لأي $k = 0, 1, \dots, n$ فإن $f(x_k) = P(x_k)$ وإن اختيار $\xi(x_k)$ عشوائياً ضمن (a, b) سينتج الصيغة (3.3). وإذا كان $x \neq x_k$ لكل $k = 0, 1, \dots, n$ فعرف الدالة g لـ t ضمن $[a, b]$ من خلال

$$\begin{aligned} g(t) &= f(t) - P(t) - [f(x) - P(x)] \frac{(t-x_0)(t-x_1)\cdots(t-x_n)}{(x-x_0)(x-x_1)\cdots(x-x_n)} \\ &= f(t) - P(t) - [f(x) - P(x)] \prod_{i=0}^n \frac{(t-x_i)}{(x-x_i)} \end{aligned}$$

ولأن $f \in C^{n+1}[a, b]$ و $P \in C^\infty[a, b]$ فإن $g \in C^{n+1}[a, b]$ ومع $t = x_k$ يكون لدينا

$$g(x_k) = f(x_k) - P(x_k) - [f(x) - P(x)] \prod_{i=0}^n \frac{(x_k - x_i)}{(x - x_i)} = 0 - [f(x) - P(x)] \cdot 0 = 0$$

وأكثر من ذلك

$$g(x) = f(x) - P(x) - [f(x) - P(x)] \prod_{i=0}^n \frac{(x-x_i)}{(x-x_i)} = f(x) - P(x) - [f(x) - P(x)] = 0$$

وأخيراً $g \in C^{n+1}[a, b]$ و g صفر عند $n+2$ من الأعداد المختلفة x, x_0, x_1, \dots, x_n . ومن خلال مبرهنة رول المعممة، يوجد عدد ξ ضمن (a, b) حيث $g^{(n+1)}(\xi) = 0$.

وبذلك

$$0 = g^{(n+1)}(\xi) = f^{(n+1)}(\xi) - P^{(n+1)}(\xi) - [f(x) - P(x)] \frac{d^{n+1}}{dt^{n+1}} \left[\prod_{i=0}^n \frac{(t-x_i)}{(x-x_i)} \right]_{t=\xi} \quad (3.4)$$

إن الاشتقاق من الرتبة $(n+1)$ ، $P^{(n+1)}(x)$ ، هو صفر بامتياز؛ لكون $P(x)$ دالة من الرتبة n غالباً. وأن $\prod_{i=0}^n [(t-x_i)/(x-x_i)]$ كثيرة حدود من الرتبة $(n+1)$ أيضاً. لذا

$$\prod_{i=0}^n \frac{(t-x_i)}{(x-x_i)} = \left[\frac{1}{\prod_{i=0}^n (x-x_i)} \right] t^{n+1} + (\text{رتبة منخفضة في } t)$$

و $\frac{d^{n+1}}{dt^{n+1}} \prod_{i=0}^n \frac{(t-x_i)}{(x-x_i)} = \frac{(n+1)!}{\prod_{i=0}^n (x-x_i)}$ تصبح الصيغة (4.3) الآن

مبرهنة 3.3

إن حد الخطأ لكثيرة حدود لاجرانج يمكن وصفها بطرائق أخرى. ولكن هذه الصيغة هي الأكثر فائدة والتي تتفق إلى حد كبير مع صيغة خطأ كثيرة حدود تايلور القياسية.

$$0 = f^{(n+1)}(\xi) - 0 - [f(x) - P(x)] \frac{(n+1)!}{\prod_{i=0}^n (x - x_i)}$$

وبحل $f(x)$ يكون لدينا

$$f(x) = P(x) + \frac{f^{(n+1)}(\xi)}{(n+1)!} \prod_{i=0}^n (x - x_i)$$

تعد صيغة الخطأ المقدمة في مبرهنة (3.3) من النتائج النظرية المهمة. وذلك للاستخدامات الواسعة لكثيرات حدود لاجرانج في استنباط طرائق تفاضل وتكامل عددي. وتستخلص حدود الخطأ لهذه الأساليب من صيغة لاجرانج للخطأ.

لاحظ أن صيغة الخطأ لكثيرة حدود لاجرانج متشابهة إلى حد كبير مع مثلثتها لكثيرة حدود تايلور. ويجمع الحد النوني n th لكثيرة حدود تايلور حول x_0 المعلومات المتوفرة كلها عند x_0 وله حد خطأ من الصيغة

$$\frac{f^{(n+1)}(\xi(x))}{(n+1)!} (x - x_0)^{n+1}$$

وتستخدم كثيرة حدود لاجرانج من الرتبة n معلومات عند الأعداد المختلفة x_0, x_1, \dots, x_n وبدلاً من $(x - x_0)^{n+1}$ ، فإن صيغة الخطأ تستخدم ضرب $n+1$ من الحدود $(x - x_0), (x - x_1), \dots, (x - x_n)$

$$\frac{f^{(n+1)}(\xi(x))}{(n+1)!} (x - x_0)(x - x_1) \cdots (x - x_n)$$

يقتصر الاستخدام الخاص لصيغة الخطأ هذه على تلك الدوال التي لمشتقاتها حدود معلومة.

مثال 2

لنفترض أننا بصدد إنشاء جدول للدالة $f(x) = e^x$ ضمن $[0, 1]$. نفترض أن عدد الخانات العشرية التي تعطى لكل إدخال هو $d \geq 8$ ، وأن الفرق بين قيمتين متجاورتين لـ x (طول الخطوة) هو h . فماذا يجب أن يكون h في الاستكمال الخطي (ونعني كثيرة حدود لاجرانج من الرتبة 1) ليعطي خطأ مطلقاً بحد أعلى 10^{-6} ؟

لتكن x_0, x_1, \dots الأعداد التي تقيم f عندها، و x ضمن $[0, 1]$. افترض j يحقق $x_j \leq x \leq x_{j+1}$. تؤدي الصيغة (3.3) إلى كون الخطأ في الاستكمال الخطي هو

$$|f(x) - P(x)| = \left| \frac{f^{(2)}(\xi)}{2!} (x - x_j)(x - x_{j+1}) \right| = \frac{|f^{(2)}(\xi)|}{2} |(x - x_j)(x - x_{j+1})|$$

وحيث إن طول الخطوة هو h فإن $x_j = jh, x_{j+1} = (j+1)h$ و

$$|f(x) - P(x)| = \frac{|f^{(2)}(\xi)|}{2!} |(x - jh)(x - (j+1)h)|$$

وبذلك

$$\begin{aligned} |f(x) - P(x)| &\leq \frac{1}{2} \max_{\xi \in [0,1]} e^{\xi} \max_{x_j \leq x \leq x_{j+1}} |(x - jh)(x - (j+1)h)| \\ &\leq \frac{1}{2} e \max_{x_j \leq x \leq x_{j+1}} |(x - jh)(x - (j+1)h)| \end{aligned}$$

وبافتراض أن $g(x) = (x - jh)(x - (j + 1)h)$ لـ $j \leq x \leq (j + 1)h$ ، وباستخدام مبرهنة القيمة المتطرفة (انظر تمرين 32) سنجد أن

$$\max_{x_j \leq x \leq x_{j+1}} |(x - jh)(x - (j + 1)h)| = \max_{x_j \leq x \leq x_{j+1}} |g(x)| = \left| g\left(\left(j + \frac{1}{2}\right)h\right) \right| = \frac{h^2}{4}$$

وبناءً على ذلك فإن الخطأ في الاستكمال الخطي محدد وفقاً لـ

$$|f(x) - P(x)| \leq \frac{eh^2}{8}$$

ويكون مرضياً لـ h التي تختار لتتحقق

$$\frac{eh^2}{8} \leq 10^{-6} \quad \text{وهذا يعني أن } h < 1.72 \times 10^{-3}$$

ولوجود كون $n = (1 - 0)/h$ عدداً صحيحاً، فهناك اختيار منطقي واحد لطول الخطوة هو $h = 0.001$.

ويوضح المثال الآتي استكمالاً داخلياً لحالة ما بحيث لا يمكن فيها استخدام جزء الخطأ من الصيغة (3.3).

يتضمن جدول (2.3) قيم الدالة عند نقاط مختلفة. وستقارن التقريبات لـ $f(1.5)$ الناتجة من كثيرات حدود لاجرانج المختلفة. وحيث إن 1.5 تقع ما بين 1.3 و 1.6 فإن أنسب كثيرة حدود خطية تستخدم $x_0 = 1.3$ و $x_1 = 1.6$. وقيمة كثيرة حدود الاستكمال الداخلي عند 1.5 هي

$$\begin{aligned} P_1(1.5) &= \frac{(1.5 - 1.6)}{(1.3 - 1.6)} f(1.3) + \frac{(1.5 - 1.3)}{(1.6 - 1.3)} f(1.6) \\ &= \frac{(1.5 - 1.6)}{(1.3 - 1.6)} (0.6200860) + \frac{(1.5 - 1.3)}{(1.6 - 1.3)} (0.4554022) = 0.5102968 \end{aligned}$$

ويمكن قبول استخدام اثنتين من كثيرات الحدود من الرتبة 2 إحداهما باستخدام $x_0 = 1.3$ و $x_1 = 1.6$ التي تعطي

$$\begin{aligned} P_2(1.5) &= \frac{(1.5 - 1.6)(1.5 - 1.9)}{(1.3 - 1.6)(1.3 - 1.9)} (0.6200860) + \frac{(1.5 - 1.3)(1.5 - 1.9)}{(1.6 - 1.3)(1.6 - 1.9)} (0.4554022) \\ &\quad + \frac{(1.5 - 1.3)(1.5 - 1.6)}{(1.9 - 1.3)(1.9 - 1.6)} (0.2818186) = 0.5112857 \end{aligned}$$

والأخرى باستخدام $x_0 = 1.0, x_1 = 1.3, x_2 = 1.6$ وتعطي $P_2(1.5) = 0.5124715$ ويوجد خياران مقبولان لكثيرة الحدود في حالة الرتبة الثالثة أيضاً. إحداهما باستخدام $x_0 = 1.3, x_1 = 1.6, x_2 = 1.9, x_3 = 2.2$ وتعطي $P_3(1.5) = 0.5118302$. ونحصل على الآخر

من خلال استخدام $x_0 = 1.0, x_1 = 1.3, x_2 = 1.6, x_3 = 1.9$ وتعطي $P_3(1.5) = 0.5118127$.

وتستخدم كثيرة حدود لاجرانج من الرتبة الرابعة مدخلات الجدول جميعها. مع

$$x_1 = 1.3, x_2 = 1.6, x_3 = 1.9, x_4 = 2.2$$

فإن التقريب هو $P_4(1.5) = 0.5118200$. وحيث إن $P_4(1.5), P_3(1.5), P_2(1.5)$ تتفق جميعها ضمن 2×10^{-5} من الوحدات، فإننا نتوقع هذه الرتبة من دقة هذه التقريبات. ونتوقع أن يكون $P_4(1.5)$ أكثر التقريبات دقة أيضاً، لكونه يستخدم أغلب البيانات الموجودة.

مثال 3

جدول 2.3

$f(x)$	x
0.7651977	1.0
0.6200860	1.3
0.4554022	1.6
0.2818186	1.9
0.1103623	2.2

والدالة التي نحن بصدد تقريبها هي دالة بيسيل من النوع الأول من الرتبة صفر، وقيمتها عند 1.5 معلومة وهي 0.5118277. لذا فإن الصورة الدقيقة للتقريبات هي كما يلي

$$|P_1(1.5) - f(1.5)| \approx 1.53 \times 10^{-3}$$

$$|P_2(1.5) - f(1.5)| \approx 5.42 \times 10^{-4}$$

$$|\hat{P}_2(1.5) - f(1.5)| \approx 6.44 \times 10^{-4}$$

$$|P_3(1.5) - f(1.5)| \approx 2.5 \times 10^{-6}$$

$$|\hat{P}_3(1.5) - f(1.5)| \approx 1.50 \times 10^{-6}$$

$$|P_4(1.5) - f(1.5)| \approx 7.7 \times 10^{-6}$$

وعلى الرغم من أن $P_3(1.5)$ هو التقريب الأدق إلا أنه لم تكن لدينا معلومات عن القيمة الحقيقية لـ $f(1.5)$. مما يجعلنا نقبل $P_4(1.5)$ على أنه أحسن تقريب، لكونه يتضمن أغلب البيانات حول الدالة. إن حد خطأ لاجرانج المشتق ضمن المبرهنة (3.3) لا يمكن تطبيقه هنا؛ لعدم توفر معلومات عن المشتقة الرابعة لـ f . ولسوء الحظ، هذه هي الحالة عموماً.

تكمن صعوبة استكمال لاجرانج الداخلي في صعوبة تطبيق حد الخطأ، وأخيراً فإن رتبة كثيرة الحدود المطلوبة لدقة محددة لا تكون معروفة عموماً حتى تُحدّد الحسابات. والإجراء المتبع هو أن نحسب النتائج المستخلصة من مختلف كثيرات الحدود حتى ظهور توافق مقبول، وقد أجري في المثال السابق أيضاً. وعلى أي حال فإن العمل المنجز في حساب التقريب من خلال كثيرة الحدود الثانية لا يقلل العمل المطلوب لحساب التقريب الثالث. وإن إيجاد التقريب الرابع ليس أسهل عندما يكون الثالث معلوماً، وهكذا. والآن سنشتق كثيرات حدود التقريب بأسلوب يستخدم الحسابات السابقة لمزايا أكبر.

تعريف 4.3 ليكن f دالة معرفة على $x_0, x_1, x_2, \dots, x_n$ ، وافترض أن m_1, m_2, \dots, m_k عبارة عن k من الأعداد الصحيحة المختلفة حيث $0 \leq m_i \leq n$ لكل i . سنرمز لكثيرة حدود لاجرانج التي تساوي $f(x)$ عند k من القيم $x_{m_1}, x_{m_2}, \dots, x_{m_k}$ بالرمز $P_{m_1, m_2, \dots, m_k}(x)$.

مثال 4 إذا كان $f(x) = e^x$ و $x_0 = 1, x_1 = 2, x_2 = 3, x_3 = 4, x_4 = 6$ فإن $P_{1,2,4}(x)$ كثيرة الحدود التي تتوافق مع $f(x)$ عند $x_1 = 2, x_2 = 3, x_4 = 6$. أي أن

$$P_{1,2,4}(x) = \frac{(x-3)(x-6)}{(2-3)(2-6)}e^2 + \frac{(x-2)(x-6)}{(3-2)(3-6)}e^3 + \frac{(x-2)(x-3)}{(6-2)(6-3)}e^6$$

توضح النتيجة الآتية طريقة لتوليد تقريبات كثيرة حدود لاجرانج توليداً متكرراً.

مبرهنة 5.3 لتكن الدالة f معرفة عند x_0, x_1, \dots, x_k و x_j و x_i عددين مختلفين في هذه المجموعة. عندئذ

$$P(x) = \frac{(x-x_j)P_{0,1,\dots,j-1,j+1,\dots,k}(x) - (x-x_i)P_{0,1,\dots,i-1,i+1,\dots,k}(x)}{(x_i-x_j)}$$

تصف كثيرة حدود لاجرائج من النوع k التي تستكمل f داخليًا عند $k+1$ من النقاط x_0, x_1, \dots, x_k . البرهان من أجل تسهيل الترميزات، ليكن $Q \equiv P_{0,1,\dots,i-1,i+1,\dots,k}$ و $\hat{Q} \equiv P_{0,1,\dots,j-1,j+1,\dots,k}$ ، وحيث إن $Q(x)$ و $\hat{Q}(x)$ كثيرتا حدود من الرتبة $k-1$ أو أقل، فإن رتبة $P(x)$ هي k على الأكثر. وإذا كان $0 \leq r \leq k$ و $r \neq i, j$ فإن $Q(x_r) = \hat{Q}(x_r) = f(x_r)$.

$$P(x_r) = \frac{(x_r - x_j)\hat{Q}(x_r) - (x_r - x_i)Q(x_r)}{x_i - x_j} = \frac{(x_i - x_j)}{(x_i - x_j)} f(x_r) = f(x_r) \quad \text{لذا}$$

$$P(x_i) = \frac{(x_i - x_j)\hat{Q}(x_i) - (x_i - x_i)Q(x_i)}{x_i - x_j} = \frac{(x_i - x_j)}{(x_i - x_j)} f(x_i) = f(x_i)$$

وأكثر من ذلك، حيث إن $\hat{Q}(x_i) = f(x_i)$ يكون لدينا

وبالمثل حيث إن $Q(x_j) = f(x_j)$ يكون لدينا $P(x_j) = f(x_j)$. ولكن بحسب التعريف: هي كثيرة الحدود الوحيدة من الرتبة k على الأكثر مع f عند x_0, x_1, \dots, x_k . وبذلك $P \equiv Q$.

تفيد المبرهنة (5.3) بأن كثيرات حدود الاستكمال الداخلي يمكن توليدها تكرارياً، ويمكن توليدها على سبيل المثال وفق الأسلوب الظاهر في جدول (3.3)، حيث يستكمل كل صف قبل بدء بالصفوف الآتية:

				$P_0 = Q_{0,0}$	x_0
			$P_{0,1} = Q_{1,1}$	$P_1 = Q_{1,0}$	x_1
		$P_{0,1,2} = Q_{2,2}$	$P_{1,2} = Q_{2,1}$	$P_2 = Q_{2,0}$	x_2
	$P_{0,1,2,3} = Q_{3,3}$	$P_{1,2,3} = Q_{3,2}$	$P_{2,3} = Q_{3,1}$	$P_3 = Q_{3,0}$	x_3
$P_{0,1,2,3,4} = Q_{4,4}$	$P_{1,2,3,4} = Q_{4,3}$	$P_{2,3,4} = Q_{4,2}$	$P_{3,4} = Q_{4,1}$	$P_4 = Q_{4,0}$	x_4

جدول 3.3

تدعى هذه العملية "طريقة نيفيل Neville's method". والصيغة P المستخدمة في الجدول (3.3) مشوشة؛ بسبب عدد المرافقات subscripts لتمثيل المضمون. لاحظ أنه بينما يبني الصف، نحتاج إلى مرافقين فقط، والتقدم في الجدول نحو الأسفل يقابله استخدام الناط المتتالية لـ x_i بصعود أكبر مع i ، والتقدم في الجدول نحو اليمين يقابله زيادة رتبة كثيرة حدود الاستكمال الداخلي. وعند ظهور النقاط على نحو متتابع في الاتجاهين كليهما، فإننا نحتاج إلى توصيف نقطة بداية وعدد النقاط الإضافية المستخدمة في عمل التقريب فقط.

ولتجنب تعدد المرافقات في الترميز؛ ليكن $Q_{i,j}(x)$ لـ $0 \leq j \leq i$ تعبيراً لكثيرة حدود استكمال داخلي من الرتبة j عند $(j+1)$ من الأعداد $x_{i-j}, x_{i-j+1}, \dots, x_{i-1}, x_i$ ، أي أن

$$Q_{i,j} = P_{i-j,i-j+1,\dots,i-1,i}$$

وباستخدام هذا الترميز لطريقة نيفيل نحصل على صف ترميزات Q في جدول (3.3).

استخرجت قيم كثيرات حدود الاستكمال الداخلي عند $x = 1.5$ في المثال (3) باستخدام بيانات أول عمودين من جدول (4.3)، قربنا $f(1.5)$ في هذا المثال باستخدام نتائج المبرهنة (5.3). فإذا كان $x_0 = 1.0, x_1 = 1.3, x_2 = 1.6, x_3 = 1.9, x_4 = 2.2$

فإن $Q_{0,0} = f(1.0), Q_{1,0} = f(1.3), Q_{2,0} = f(1.6), Q_{3,0} = f(1.9), Q_{4,0} = f(2.2)$ هذه هي كثيرات الحدود الخمسة من الرتبة صفر (الثوابت) التي تقرب $f(1.5)$.

نيفيل E. N. neville أعطى هذا التعديل لصيغة لاجرائج ضمن ورقة [N] نشرت عام 1932.

مثال 5

وبحساب تقريب الرتبة الأولى $Q_{1,1}(1.5)$ نحصل على

$$\begin{aligned} Q_{1,1}(1.5) &= \frac{(x - x_0)Q_{1,0} - (x - x_1)Q_{0,0}}{x_1 - x_0} \\ &= \frac{(1.5 - 1.0)Q_{1,0} - (1.5 - 1.3)Q_{0,0}}{1.3 - 1.0} \\ &= \frac{0.5(0.6200860) - 0.2(0.7651977)}{0.3} = 0.5233449 \end{aligned}$$

وبالمثل

$$Q_{2,1}(1.5) = \frac{(1.5 - 1.3)(0.4554022) - (1.5 - 1.6)(0.6200860)}{1.6 - 1.3} = 0.5102968$$

$$Q_{4,1}(1.5) = 0.5104270 \text{ و } Q_{3,1}(1.5) = 0.5132634$$

وأفضل تقريب خطي نتوقعه هو $Q_{2,1}$ ؛ لكون 1.5 تقع ما بين $x_1 = 1.3$ و $x_2 = 1.6$.

وبالأسلوب نفسه، فإن التقريبات باستخدام كثيرات حدود برتب أعلى هي

$$Q_{2,2}(1.5) = \frac{(1.5 - 1.0)(0.5102968) - (1.5 - 1.6)(0.5233449)}{1.6 - 1.0} = 0.5124715$$

$$Q_{4,2}(1.5) = 0.5137361 \text{ و } Q_{3,2}(1.5) = 0.5112857$$

التقريبات برتب أعلى تنتج بالأسلوب نفسه ومبينة في جدول (4.3).

				0.7651977	1.0
			0.5233449	0.6200860	1.3
		0.5124715	0.5102968	0.4554022	1.6
	0.5118127	0.5112857	0.5132634	0.2818186	1.9
0.5118200	0.5118302	0.5137361	0.5104270	0.1103623	2.2

جدول 4.3

فإذا كان آخر تقريب ليس بالدقة المطلوبة، يمكن اختيار نقطة أخرى x_5 ، وإضافة صف آخر للجدول وهو

$$x_5 \quad Q_{5,0} \quad Q_{5,1} \quad Q_{5,2} \quad Q_{5,3} \quad Q_{5,4} \quad Q_{5,5}$$

وبذلك فإن $Q_{4,4}$ ، $Q_{5,4}$ ، $Q_{5,5}$ يمكن مقارنتها لتحديد دقة أكثر.

الدالة في المثال (5) هي دالة بيسيل من النوع الأول لكل من الرتبة صفر، وقيمتها عند 2.5 هي

$$-0.0483838 \text{ وهذا صف جديد من التقريبات لـ } f(1.5) \text{ وهو}$$

$$2.5 \quad -0.0483838 \quad 0.4807699 \quad 0.5301984 \quad 0.5119070 \quad 0.5118430 \quad 0.5118277$$

والقيمة الأخيرة الجديدة 0.5118277 لحد المرتبة العشرية السابعة صحيحة.

يتضمن جدول (5.3) قيماً دقيقة لحد الخانات المبينة:

سنستخدم طريقة نيقييل لتقريب $f(x) = \ln x$. وباستكمال الجدول نحصل على مدخلات جدول

$$(6.3).$$

جدول 5.3

i	x_i	$\ln x_i$
0	2.0	0.69 1
1	2.2	0.78 5
2	2.3	0.83 9

مثال 6

Q_{i2}	Q_{i1}	Q_{i0}	$x - x_i$	x_i	i
		0.6931	0.1	2.0	0
	0.7410	0.7885	-0.1	2.2	1
0.7420	0.7441	0.8329	-0.2	2.3	2

جدول 6.3

وعندئذ $Q_{22} = P_2(2.1) = 0.7420$ وحيث إن $\ln 2.1 = 0.7419 = f(2.1)$ لأربع خانات عشرية، فإن الخطأ المطلق هو

$$|f(2.1) - P_2(2.1)| = |0.7419 - 0.7420| = 10^{-4}$$

على أي حال $f''(x) = -1/x^2$ ، $f'(x) = 1/x$ ، و $f'''(x) = 2/x^3$ ، فإن صيغة خطأ لاجرانج (3.3) تعطي حد الخطأ

$$|f(2.1) - P_2(2.1)| = \left| \frac{f'''(\xi(2.1))}{3!} (x - x_0)(x - x_1)(x - x_2) \right|$$

$$= \left| \frac{1}{3(\xi(2.1))^3} (0.1)(-0.1)(-0.2) \right| \leq \frac{0.002}{3(2)^3} = 8.3 \times 10^{-5}$$

لاحظ أن الخطأ الحقيقي 10^{-4} يتعدى حد الخطأ 8.3×10^{-5} . وهذا التناقض ناتج من حسابات الأعداد المحددة. لقد استخدمنا تقريبات الأعداد الأربعة، وإن صيغة خطأ لاجرانج (3.3) تفترض حساب الأعداد اللانهائية. وهذا قد دفع أخطاءنا الحقيقية إلى تجاوز تقدير الخطأ النظري. تنشئ الخوارزمية (1.3) المدخلات في طريقة نييفيل على شكل صفوف.

نييفيل للاستكمال الداخلي المكرر Neville's Iterated Interpolation

لحساب كثيرة حدود الاستكمال الداخلي $P(x)$ على $n+1$ من الأعداد المختلفة x_0, \dots, x_n عند العدد x للدالة f ؛

المدخلات: أرقام x_0, x_1, \dots, x_n ، قيم $f(x_0), f(x_1), \dots, f(x_n)$ بمثابة العمود الأول $Q_{0,0}, Q_{1,0}, \dots, Q_{n,0}$ of Q

المخرجات: الجدول Q مع $P(x) = Q_{n,n}$

الخطوة	المضمون
1	$i = 1, 2, \dots, n$ $j = 1, 2, \dots, i$ $Q_{i,j} = \frac{(x - x_{i-j})Q_{i,j-1} - (x - x_i)Q_{i-1,j-1}}{x_i - x_{i-j}}$
2	المخرجات (Q) توقف.

يمكن تعديل الخوارزمية لتسمح بإضافة نقاط استكمال داخلي جديدة. فعلى سبيل المثال المتبينة

$$|Q_{i,i} - Q_{i-1,i-1}| < \epsilon$$



يمكن استخدامها بوصفها معيار توقف. حيث ε عبارة عن حد السماح المحدد للخطأ. فإذا كانت المتباينة صحيحة فإن Q_{ii} تكون تقريباً معقولاً لـ $f(x)$. أما إذا كانت غير صحيحة فتضاف نقطة استكمال داخلي جديدة x_{i+1} .

EXERCISE SET

مجموعة التمارين 1.3

1. ليكن $x_0 = 0, x_1 = 0.6, x_2 = 0.9$ لكل الدوال $f(x)$ أدناه. أنشئ كثيرات حدود استكمال داخلي من الرتبة واحد على الأكثر. واثنين على الأكثر لتقريب $f(0.45)$. أوجد الخطأ المطلق:

أ. $f(x) = \cos x$ ب. $f(x) = \sqrt{1+x}$

ج. $f(x) = \ln(x+1)$ د. $f(x) = \tan x$

2. ليكن $x_0 = 1, x_1 = 1.25, x_2 = 1.6$ لكل الدوال $f(x)$ أدناه، أنشئ كثيرات حدود استكمال داخلي من الرتبة واحد على الأكثر. واثنين على الأكثر. لتقريب $f(1.4)$. أوجد الخطأ المطلق:

أ. $f(x) = \sin \pi x$ ب. $f(x) = \sqrt{x-1}$

ج. $f(x) = \log_{10}(3x-1)$ د. $f(x) = e^{2x} - x$

3. استخدم المبرهنة (3.3) لإيجاد حد الخطأ للتقريبات في التمرين (1).

4. استخدم المبرهنة (3.3) لإيجاد حد الخطأ للتقريبات في التمرين (2).

5. استخدم كثيرات حدود لاجرانج للاستكمال الداخلي المناسبة لكل من الدرجات: واحدة، اثنتين وثلاثة لتقريب كل مما يأتي:

أ. $f(8.4)$ إذا كان $f(8.7) = 18.82091, f(8.6) = 18.50515, f(8.3) = 17.56492, f(8.1) = 16.94410$

ب. $f(-\frac{1}{3})$ إذا كان $f(-0.25) = 0.33493750, f(-0.5) = -0.02475000, f(-0.75) = -0.07181250, f(0) = 1.10100000$

ج. $f(0.25)$ إذا كان $f(0.3) = 0.00660095, f(0.2) = -0.28398668, f(0.1) = 0.62049958$

$f(0.4) = 0.24842440$

د. $f(0.9)$ إذا كان $f(0.8) = 0.22363362, f(0.7) = 0.01375227, f(0.6) = -0.17694460$

$f(1.0) = 0.65809197$

6. استخدم كثيرات حدود لاجرانج للاستكمال الداخلي المناسبة لكل من الدرجات: واحدة، اثنتين وثلاثة لتقريب كل مما يأتي:

أ. $f(0.43)$ إذا كان $f(0.75) = 4.48169, f(0.5) = 2.71828, f(0.25) = 1.64872, f(0) = 1$

ب. $f(0)$ إذا كان $f(0.5) = 0.687500, f(0.25) = 0.800781, f(-0.25) = 1.33203, f(-0.5) = 1.93750$

ج. $f(0.18)$ إذا كان $f(0.3) = -0.81401972, f(0.2) = -0.56079734, f(0.1) = -0.29004986$

$f(0.4) = -1.0526302$

د. $f(0.25)$ إذا كان $f(0.5) = 1.2943767, f(0) = 1.0986123, f(-0.5) = 0.95802009, f(-1) = 0.86199480$

7. استخدم طريقة نيفيل لإيجاد التقريبات في التمرين (5).

8. استخدم طريقة نيفيل لإيجاد التقريبات في التمرين (6).

9. أنتجت البيانات في التمرين (5) باستخدام الدوال الآتية. استخدم صيغة الخطأ لإيجاد حد للخطأ، وقارن الحد بالخطأ الحقيقي للحالات $n = 1$ و $n = 2$:

أ. $f(x) = x \ln x$ ب. $f(x) = x^3 + 4.001x^2 + 4.002x + 1.101$

ج. $f(x) = x \cos x - 2x^2 + 3x - 1$ د. $f(x) = \sin(e^x - 2)$

10. أنتجت البيانات في التمرين (6) باستخدام الدوال الآتية. استخدم صيغة الخطأ لإيجاد حد للخطأ، وقارن الحد بالخطأ الحقيقي للحالتين $n = 1$ و $n = 2$:

$$f(x) = e^{2x} \quad \text{أ.} \quad f(x) = x^4 - x^3 + x^2 - x + 1 \quad \text{ب.}$$

$$f(x) = x^2 \cos x - 3x \quad \text{ج.} \quad f(x) = \ln(e^x + 2) \quad \text{د.}$$

11. استخدم طريقة نييفيل لتقريب $\sqrt{3}$ مع الدوال والقيم الآتية:

$$\text{أ. } f(x) = 3^x \text{ والقيم } x_0 = -2, x_1 = -1, x_2 = 0, x_3 = 1, x_4 = 2$$

$$\text{ب. } f(x) = \sqrt{x} \text{ والقيم } x_0 = 0, x_1 = 1, x_2 = 2, x_3 = 4, x_4 = 5$$

ج. قارن بين دقة التقدير في الفقرتين (أ) و (ب).

12. لتكن $f(x) = \sqrt{x - x^2}$ و $P_2(x)$ كثيرة حدود الاستكمال الداخلي على $x_0 = 0, x_1, x_2 = 1$.

أوجد أكبر قيمة لـ x_1 ضمن $(0, 1)$ التي تدع $f(0.5) - P_2(0.5) = -0.25$.

13. لتكن $P_3(x)$ كثيرة حدود الاستكمال الداخلي للبيانات $(0, 0), (C.5, y_1), (1, 3), (2, 2)$. أوجد y

إذا كان معامل x^3 في $P_3(x)$ هو 6.

14. استخدم كثيرة حدود لاجرانج للاستكمال الداخلي من الرتبة ثلاثة أو أقل. وعتمد قطع الحساب عند

العدد الرباعي لتقريب $\cos 0.750$ مستخدماً القيم الآتية، وأوجد حد خطأ للتقريب:

$$\cos 0.698 = 0.7661 \quad \cos 0.733 = 0.7432 \quad \cos 0.768 = 0.7193 \quad \cos 0.803 = 0.6946$$

القيمة الحقيقية لـ $\cos 0.750$ هي 0.7317 (إلى أقرب أربع خانات عشرية). وضح التناقض ما بين الخطأ الحقيقي وحد الخطأ.

15. استخدم القيم الآتية والتقريب لأربع خانات لإنشاء تقريب كثيرة حدود لاجرانج الناتجة

لـ $f(1.09)$. الدالة قيد التقريب هي $f(x) = \log_{10}(\tan x)$. استخدم هذه المعلومة لإيجاد حد خطأ

في التقريب:

$$f(1.00) = 0.1924 \quad f(1.05) = 0.2414 \quad f(1.10) = 0.2933 \quad f(1.15) = 0.3492$$

16. كرر التمرين (15) مستخدماً Maple مع مجموعة الأعداد لـ 10.

17. تستخدم طريقة نييفيل لتقريب $f(0.5)$ معتمدة على الجدول الآتي. وحدد $P_2 = f(0.7)$:

$P_0 = 0$	$x_0 = 0$
$P_1 = 3.5$	$x_1 = 0.4$
$P_2 = 2.8$	$x_2 = 0.7$
$P_{0,1,2} = \frac{27}{7}$	

18. تستخدم طريقة نييفيل لتقريب $f(0.4)$ معتمدة على الجدول الآتي، وحدد $P_2 = f(0.5)$:

$P_0 = 1$	$x_0 = 0$
$P_1 = 2.6$	$x_1 = 0.25$
$P_2 = 2.4$	$x_2 = 0.5$
$P_3 = 8$	$x_3 = 0.75$
$P_{0,1,2} = 3.016$	$P_{1,2,3} = 2.96$

19. أنشئ كثيرات حدود لاجرانج للاستكمال الداخلي للدوال الآتية، وأوجد حدًا للخطأ المطلق في الفترة

$[x_0, x_n]$:

$$\text{أ. } f(x) = e^{2x} \cos 3x, \quad x_0 = 0, x_1 = 0.3, x_2 = 0.6, n = 2$$

$$\text{ب. } f(x) = \sin(\ln x), \quad x_0 = 2.0, x_1 = 2.4, x_2 = 2.6, n = 2$$

$$\text{ج. } f(x) = \ln x, \quad x_0 = 1, x_1 = 1.1, x_2 = 1.3, x_3 = 1.4, n = 3$$

$$\text{د. } f(x) = \cos x + \sin x, \quad x_0 = 0, x_1 = 0.25, x_2 = 0.5, x_3 = 1.0, n = 3$$

20. ليكن $f(x) = e^x$ لكل $0 \leq x \leq 2$

أ. قَرِّب $f(0.25)$ مستخدماً استكمالاً داخلياً خطياً مع $x_0 = 0$ و $x_1 = 0.5$.

- ب. قَرَب $f(0.75)$ مستخدماً استكمالاً داخلياً خطياً مع $x_0 = 0.5$ و $x_1 = 1$.
- ج. قَرَب $f(0.25)$ و $f(0.75)$ مستخدماً ثاني كثيرة حدود استكمال داخلي مع $x_0 = 0, x_1 = 1, x_2 = 2$.
- د. أي التقريبات أحسن؟ ولماذا؟

21. افترض أنك بحاجة إلى إنشاء جداول من أربع خانوات عشرية لدالة اللوغارتمية ذات الأساس 10 من $x = 1$ لـ $x = 10$ ، بحيث يكون الاستكمال الداخلي الخطي فيها دقيقاً لحد 10^{-6} . ضع حدًا لحجم الخطوة في هذا الجدول. ما خيارات حجم الخطوة لضمان وجود $x = 10$ في الجدول؟

22. افترض $x_j = j, j = 0, 1, 2, 3$. ومن المعلوم أن $P_{0,1}(x) = x + 1, P_{1,2}(x) = 3x - 1, P_{1,2,3}(1.5) = 4$ فأوجد $P_{0,1,2,3}(1.5)$.

23. افترض $x_j = j, j = 0, 1, 2, 3$ ومن المعلوم أن $P_{1,2,3}(2.5) = 3, P_{0,1}(x) = 2x + 1, P_{0,2}(x) = x + 1$ فأوجد $P_{0,1,2,3}(2.5)$.

24. تطبق خوارزمية نييفيل لتقريب $f(0)$ مستخدمة $f(2), f(1), f(-1), f(-2)$. افترض أن $f(-1)$ زِيدت بمقدار 2. وأن $f(1)$ أنقصت بمقدار 3. حدّد الخطأ في الحسابات الأصلية لكثيرة حدود استكمال داخلي لتقريب $f(0)$.

25. أنشئ متتالية لقيم استكمال داخلي y_n لـ $f(1 + \sqrt{10})$. حيث $5 \leq x \leq 5$ حيث $f(x) = (1 + x^2)^{-1}$ ووفق الآتي:

لكل $n = 1, 2, \dots, 10$ ، ليكن $h = 10/n$ و $y_n = P_n(1 + \sqrt{10})$ ، حيث إن $P_n(x)$ كثيرة حدود الاستكمال الداخلي لـ $f(x)$ عند النقاط $x_0^{(n)}, x_1^{(n)}, \dots, x_n^{(n)}$ وأن $x_j^{(n)} = -5 + jh, j = 0, 1, 2, \dots, n$ هل تبدو المتتالية $\{y_n\}$ متقاربة إلى $f(1 + \sqrt{10})$ ؟

معكوس استكمال داخلي Inverse Interpolation افترض $f' \neq 0$ on $[a, b]$ ، $f \in C^1[a, b]$ ، وأن لـ f صفراً واحداً p ضمن $[a, b]$. لتكن x_0, \dots, x_n عبارة عن أعداد مختلفة ضمن $[a, b]$ مع $f(x_k) = y_k$ لكل $k = 0, 1, \dots, n$. لتقريب p ، تنشأ كثيرة حدود استكمال داخلي من الرتبة n على النقاط y_0, \dots, y_n لـ f^{-1} . وحيث إن $y_k = f(x_k)$ و $0 = f(p)$ يكون لدينا $x_k = f^{-1}(y_k)$ و $f^{-1}(0) = p$. يسمى الاستكمال الداخلي المكوّن لتقريب $f^{-1}(0)$ (معكوس الاستكمال الداخلي المكوّن).

26. استخدم معكوس استكمال داخلي معاد لإيجاد التقريب لحل $x - e^{-x} = 0$ مع البيانات الآتية:

x	0.6	0.5	0.4	0.3
e^{-x}	0.548812	0.606531	0.670320	0.740818

27. أنشئ خوارزمية يمكن استخدامها في معكوس استكمال داخلي.
28. أ. تضمنت مقدمة هذا الباب جدول التعداد السكاني للولايات المتحدة للفترة من 1940 إلى 1990. استخدم كثيرة حدود لاجرانج للاستكمال الداخلي لتقريب حجم السكان في الأعوام 1930، 1965 و 2010.

ب. كان عدد السكان عام 1930 123,203,000 تقريباً. ما دقة نتيجتك في العامين 1965 و 2010 بحسب ما ترى؟

29. يعتقد أن الكميات العالية من حمض التنتلك في أوراق أشجار البلوط البالغة تعيق نمو يرقات عثة الشتاء (*Operophtera bromata L., Geometridae*) التي تؤذي هذه الأشجار كثيراً في سنوات معينة. ويبين الجدول الآتي معدل وزن عينتين من هذه اليرقات خلال الأيام 28 الأولى بعد ولادتها.

أخذت العينة الأولى من يرقات تربت على أوراق بلوطية (حديثة)، ب. حيث تربت العينة الثانية على أوراق بالغة (عتيقة) من نفس الشجرة. أ. استخدم استكمال لاجرانج الداخلي لتقريب منحني معدل الوزن لكل عينة. ب. أوجد أعلى معدل وزن مقرب لكل عينة من خلال تحديد كثيرة حدود الاستكمال الداخلي الأعلى.

اليوم	0	6	10	13	17	20	28
معدل وزن العينة (1) بالملجم	6.67	17.33	42.67	37.33	30.10	29.31	29.74
معدل وزن العينة (2) بالملجم	6.67	16.11	18.89	15.00	10.56	9.4	8.89

30. في التمرين (24) من الفصل (1.1) تطورت سلسلة ماكلورين لتقريب $\text{erf}(x)$ التي هي عبارة عن دالة خطأ التوزيع الطبيعي والمعرفة على النحو الآتي:

$$\text{erf}(x) = \frac{2}{\sqrt{\pi}} \int_0^x e^{-t^2} dt$$

أ. استخدم سلسلة ماكلورين لإنشاء جدول لـ $\text{erf}(x)$ يكون دقيقاً للغاية 10^{-4} بالنسبة إلى $\text{erf}(x)$ حيث إن $x_i = 0.2i, i = 0, 1, \dots, 5$.

ب. استخدم كلاً من الاستكمال الداخلي الخطي والتربيعي لإيجاد تقريب لـ $\text{erf}(\frac{1}{3})$. أي منهما يبدو أكثر جدوى؟

31. برهن صحة المبرهنة (14.1) باتباع أسلوب برهنة المبرهنة (3.3).

إرشاد: ليكن
$$g(t) = f(t) - P(t) - [f(x) - P(x)] \cdot \frac{(t - x_0)^{n+1}}{(x - x_0)^{n+1}}$$

حيث تمثل $P(x)$ كثيرة حدود تايلور النونية (n th)، استخدم المبرهنة (12.1).

32. برهن أن $\max_{x_j \leq x \leq x_{j+1}} |g(x)| = h^2/4$ حيث إن $g(x) = (x - jh)(x - (j + 1)h)$.

33. إن كثيرة حدود برنستاين من الدرجة n لـ $f \in C[0, 1]$ هي

$$B_n(x) = \sum_{k=0}^n \binom{n}{k} f\left(\frac{k}{n}\right) x^k (1-x)^{n-k}$$

حيث إن $\binom{n}{k}$ تمثل $n!/k!(n-k)!$. يمكن استخدام كثيرات الحدود هذه لتقديم برهان مبرهنة فيرستراس للتقريب (1.3) (انظر [Bart]). لكون $\lim_{n \rightarrow \infty} B_n(x) = f(x)$ لكل $x \in [0, 1]$ أ. أوجد $B_3(x)$ للدوال

$f(x) = 1.2$

$f(x) = x.1$

ب. أثبت أنه لكل $k \leq n$ فإن

$$\binom{n-1}{k-1} = \binom{k}{n} \binom{n}{k}$$

ج. استخدم الفقرة (ب) وحقيقة كون (من 2 الفقرة أ)

$$1 = \sum_{k=0}^n \binom{n}{k} x^k (1-x)^{n-k}$$

لإثبات أنه لـ $f(x) = x^2$ يكون

$$B_n(x) = \left(\frac{n-1}{n}\right)x^2 + \frac{1}{n}x$$

د. استخدم الفقرة (ج) لتقدير قيمة n الضرورية لصحة $|B_n(x) - x^2| \leq 10^{-6}$ لكل قيم x ضمن $[0, 1]$.

Divided Differences

2.3 الفروقات المنقسمة

استخدم الاستكمال الداخلي المكرر في الفصل السابق لتوليد تقريبات كثيرة حدود بنجاح ومن الرتبة عالية عند نقطة محددة. وتستخدم طرائق الفرق المنقسم المطروحة ضمن هذا الفصل وبنجاح لكثيرات توليد الحدود نفسها. وستكون معالجتنا لطرائق الفرق المنقسم مختصرة. لأن النتائج في هذا الفصل لن يكون لها استخدام واسع ضمن المادة اللاحقة. ومعظم المصادر القديمة في التحليل العددي فيها معالجات واسعة لطرائق الفرق المنقسم. وإذا ما تطلب الأمر توسعاً في المعالجة. فإن كتاب هلدبراند [Hild] يعدّ مصدرًا جيدًا حصريًا.

افتراض أن $P_n(x)$ كثيرة حدود لاجرانج النونية والمتوافقة مع الدالة f عند الأعداد المميزة x_0, x_1, \dots, x_n . إن تمثيلات جبرية بديلة تكون مفيدة في حالات معينة. على الرغم من وحدانية كثيرة الحدود هذه، تستخدم فروقات f المنقسمة بالنسبة إلى x_0, x_1, \dots, x_n للتعبير

$$P_n(x) = a_0 + a_1(x - x_0) + a_2(x - x_0)(x - x_1) + \dots + a_n(x - x_0)(x - x_1) \dots (x - x_{n-1}) \quad (5.3)$$

لثوابت مناسبة a_0, a_1, \dots, a_n .

ولتحديد أول هذه الثوابت a_0 ؛ لاحظ أنه إذا كتب $P_n(x)$ بصيغة (5.3) فإن حساب $P_n(x)$ عند a_0 يترك فقط الحد الثابت a_0 . أي أن

$$a_0 = P_n(x_0) = f(x_0)$$

وبالمثل، عند حساب $P(x)$ عند x_1 ، فالحدود اللاصفرية الوحيدة في حساب $P_n(x_1)$ هي حدود الثوابت والحدود الخطية

$$f(x_0) + a_1(x_1 - x_0) = P_n(x_1) = f(x_1)$$

وبذلك

$$a_1 = \frac{f(x_1) - f(x_0)}{x_1 - x_0} \quad (6.3)$$

ونقدم الآن تعبير الفرق المنقسم الذي يشبه تعبير أيتكن Δ^2 المستخدم في الفصل (5.2). ويُرمز إلى الفرق المنقسم الصفري zeroth divided difference للدالة f بالنسبة إلى x_i بالرمز $f[x_i]$ ، وهو عبارة عن قيمة f عند x_i .

$$f[x_i] = f(x_i) \quad (7.3)$$

وبقية الفروقات المنقسمة تُعرّف استقرائيًا. فالفرق المنقسم الأول f بالنسبة إلى x_i و x_{i+1} يُرمز إليه بـ $f[x_i, x_{i+1}]$ ويعرّف بالصيغة

$$f[x_i, x_{i+1}] = \frac{f[x_{i+1}] - f[x_i]}{x_{i+1} - x_i} \quad (8.3)$$

والفرق المنقسم الثاني $f[x_i, x_{i+1}, x_{i+2}]$ يعرّف بالصيغة

$$f[x_i, x_{i+1}, x_{i+2}] = \frac{f[x_{i+1}, x_{i+2}] - f[x_i, x_{i+1}]}{x_{i+2} - x_i}$$

وكما في مجالات عديدة كان إسحق نيوتن رائد في صيغ الفرق فقد طور صيغاً لاستكمال لداخلي في بدايات 1675 مستخدماً رمزه Δ في جداول الفروق. لقد اعتمد حلولاً عامة لصيغ الفرق بحيث إن أمثله الواضحة التي اعطاه ويضمونها صيغ لاجرانج. كانت أحياناً تعرف باسماء أخرى

وبنفس الطريقة. بعد أن تحدد أول $(k - 1)$ من الفروقات المنقسمة

$$f[x_{i+1}, x_{i+2}, \dots, x_{i+k-1}, x_{i+k}] \text{ و } f[x_i, x_{i+1}, x_{i+2}, \dots, x_{i+k-1}]$$

فإن الفرق المنقسم من الرتبة k نسبة إلى $x_i, x_{i+1}, x_{i+2}, \dots, x_{i+k}$ يُعطي بالصيغة

$$f[x_i, x_{i+1}, \dots, x_{i+k-1}, x_{i+k}] = \frac{f[x_{i+1}, x_{i+2}, \dots, x_{i+k}] - f[x_i, x_{i+1}, \dots, x_{i+k-1}]}{x_{i+k} - x_i} \tag{9.3}$$

وتنتهي العملية مع فرق منقسم واحد من الرتبة n وهو

$$f[x_0, x_1, \dots, x_n] = \frac{f[x_1, x_2, \dots, x_n] - f[x_0, x_1, \dots, x_{n-1}]}{x_n - x_0}$$

ومع هذه الصيغة. يمكن تكرار صياغة الصيغة (6.3) على الصورة $a_1 = f[x_0, x_1]$ وتوجد **مختيرة** حدود استكمال داخلي في الصيغة (5.3)

$$P_n(x) = f[x_0] + f[x_0, x_1](x - x_0) + a_2(x - x_0)(x - x_1) + \dots + a_n(x - x_0)(x - x_1) \dots (x - x_{n-1})$$

ووفق المتوقع من حساب a_0 و a_1 . فإن الثوابت المطلوبة هي

$$a_k = f[x_0, x_1, x_2, \dots, x_k]$$

جدول 7.3

الفروق المنقسمة الثالثة	الفروق المنقسمة الثانية	الفروق المنقسمة الأولى	$f(x)$ x
		$f[x_0, x_1] = \frac{f[x_1] - f[x_0]}{x_1 - x_0}$	$f[x_0]$ x_0
	$f[x_0, x_1, x_2] = \frac{f[x_1, x_2] - f[x_0, x_1]}{x_2 - x_0}$	$f[x_1, x_2] = \frac{f[x_2] - f[x_1]}{x_2 - x_1}$	$f[x_1]$ x_1
$f[x_0, x_1, x_2, x_3] = \frac{f[x_1, x_2, x_3] - f[x_0, x_1, x_2]}{x_3 - x_0}$	$f[x_1, x_2, x_3] = \frac{f[x_2, x_3] - f[x_1, x_2]}{x_3 - x_1}$	$f[x_2, x_3] = \frac{f[x_3] - f[x_2]}{x_3 - x_2}$	$f[x_2]$ x_2
$f[x_0, x_2, x_3, x_4] = \frac{f[x_2, x_3, x_4] - f[x_0, x_1, x_2]}{x_4 - x_1}$	$f[x_2, x_3, x_4] = \frac{f[x_3, x_4] - f[x_2, x_3]}{x_4 - x_2}$	$f[x_3, x_4] = \frac{f[x_4] - f[x_3]}{x_4 - x_3}$	$f[x_3]$ x_3
$f[x_0, x_3, x_4, x_5] = \frac{f[x_3, x_4, x_5] - f[x_2, x_3, x_4]}{x_5 - x_2}$	$f[x_3, x_4, x_5] = \frac{f[x_4, x_5] - f[x_3, x_4]}{x_5 - x_3}$	$f[x_4, x_5] = \frac{f[x_5] - f[x_4]}{x_5 - x_4}$	$f[x_4]$ x_4
			$f[x_5]$ x_5

لكل $k = 0, 1, \dots, n$ وبذلك يمكن إعادة كتابة $P_n(x)$ بالصيغة (انظر [Hild, pp. 43–47])

$$P_n(x) = f[x_0] + \sum_{k=1}^n f[x_0, x_1, \dots, x_k](x - x_0) \cdots (x - x_{k-1}) \quad (10.3)$$

وقيمة $f[x_0, x_1, \dots, x_k]$ مستقلة عن ترتيب الأعداد x_0, x_1, \dots, x_k ، وتتضح في التمرين (21) أيضًا.

إن توليد الفروقات المنقسمة مبين في جدول (7.3). ويمكن تحديد اثنين من الفروقات المنقسمة الرابعة، وفرق منقسم خامس من هذه البيانات أيضًا. إن صيغة المخرجات في الخوارزمية (2.3) يمكن تحويلها لإنتاج الفروقات المنقسمة كلها، وقد نفذ ذلك في المثال (1) أيضًا.

الفرق المنقسم لنيوتن Newton's Divided-Difference

لإيجاد معامل الفرق المنقسم لكثيرة حدود استكمال داخلي $P(x)$ على $(n + 1)$ من الأعداد المختلفة x_0, x_1, \dots, x_n للدالة f ؛

المدخلات: أرقام x_0, x_1, \dots, x_n ، قيم $f(x_0), f(x_1), \dots, f(x_n)$ مثل $F_{0,0}, F_{1,0}, \dots, F_{n,0}$ حيث المخرجات: الأعداد $F_{0,0}, F_{1,1}, \dots, F_{n,n}$

$$P(x) = \sum_{i=0}^n F_{i,i} \prod_{j=0}^{i-1} (x - x_j)$$

المضمون	الخطوة
$i = 1, 2, \dots, n$ $j = 1, 2, \dots, i$ $F_{i,j} = \frac{F_{i,j-1} - F_{i-1,j-1}}{x_i - x_{i-j}}$	عند وعند ضع 1
المخرجات $(F_{0,0}, F_{1,1}, \dots, F_{n,n})$; $(F_{i,i} \text{ is } f[x_0, x_1, \dots, x_i])$	2 توقف

استخدمت كثيرات حدود استكمال داخلي متنوعة لتقريب $f(1.5)$ في المثال (3) من الفصل (1.3)، باستخدام البيانات في الأعمدة الثلاثة الأولى من جدول (8.3). وتتضمن البيانات المتبقية الأخرى من جدول (8.3) فروقات منقسمة حسب استخدام الخوارزمية (2.3).

مثال 1

جدول 8.3

$f[x_{i-4}, \dots, x_i]$	$f[x_{i-3}, \dots, x_i]$	$f[x_{i-2}, x_{i-1}, x_i]$	$f[x_{i-1}, x_i]$	$f[x_i]$	x_i	i
				0.7651977	1.0	0
		-0.1087339	-0.4837057			
	0.0658784		-0.5489460	0.6200860	1.3	1
0.0018251		-0.0494433		0.4554022	1.6	2
	0.0680685		-0.5786120			
		0.0118183		0.2818186	1.9	3
			-0.5715210			
				0.1103623	2.2	4



إن معامل كثيرة حدود استكمال داخلي ضمن القطر في الجدول. وكثيرة الحدود هي

$$P_4(x) = 0.7651977 - 0.4837057(x - 1.0) - 0.1087339(x - 1.0)(x - 1.3) \\ + 0.0658784(x - 1.0)(x - 1.3)(x - 1.6) \\ + 0.0018251(x - 1.0)(x - 1.3)(x - 1.6)(x - 1.9)$$

لاحظ أن القيمة $P_4(1.5) = 0.5118200$ تتفق والنتيجة في الفصل (1.3) من مثال (3). ويجب أن يكون لهما كثيرة الحدود نفسها أيضاً.

إن مبرهنة القيمة الوسطى تطبق في الصيغة (8.3) عندما $i = 0$

$$f[x_0, x_1] = \frac{f(x_1) - f(x_0)}{x_1 - x_0}$$

لتشير إلى أنه عند وجود f' ، فإن $f[x_0, x_1] = f'(\xi)$ لعدد ما ξ ما بين x_0 و x_1 . تعمل المبرهنة الآتية على تعميم هذه النتيجة.

لتكن $f \in C^n[a, b]$ ، ولتكن أعداداً مختلفة تنتمي للفترة $[a, b]$. عندئذٍ نجد عدد $\xi \in (a, b)$ (عادة غير معلوم) بحيث يكون

$$f[x_0, x_1, \dots, x_n] = \frac{f^{(n)}(\xi)}{n!}$$

البرهان ليكن $g(x) = f(x) - P_n(x)$

وحيث إن $f(x_i) = P_n(x_i)$ لكل $i = 0, 1, \dots, n$ ، فإن الدالة g لها $n+1$ أصفار مختلفة في $[a, b]$ وتشير مبرهنة رول المعممة Generalized Rolle's Theorem إلى وجود عدد ξ في (a, b) مع $g^{(n)}(\xi) = 0$ ومن ثمَّ

$$P_n^{(n)}(\xi) = f^{(n)}(\xi) \text{ و } 0 = f^{(n)}(\xi) - P_n^{(n)}(\xi)$$

ولكون $P_n(x)$ كثيرة حدود من الرتبة n ، ومعاملها الأمامي $f[x_0, x_1, \dots, x_n]$ ، فإن

$$P_n^{(n)}(x) = n! f[x_0, x_1, \dots, x_n]$$

لكل قيم x . ونتيجة لذلك

$$f[x_0, x_1, \dots, x_n] = \frac{f^{(n)}(\xi)}{n!}$$

يمكن وضع صيغة نيوتن للفرق المنقسم بصيغة مبسطة عندما تكون x_0, x_1, \dots, x_n مرتبة على التوالي بمسافات متساوية. في هذه الحالة تقدم الصيغة $h = x_{i+1} - x_i$ لكل $i = 0, 1, \dots, n-1$ ونضع $x = x_0 + sh$. لذا يمكن كتابة الفرق $x - x_i$ بصيغة $x - x_i = (s - i)h$ وأخيراً فالصيغة (10.3) تصبح

$$P_n(x) = \sum_{k=0}^n \binom{n}{k} f[x_0, x_1, \dots, x_k] (x - x_0)^k \\ = f[x_0] + \sum_{k=1}^n s(s-1)\cdots(s-k+1)h^k f[x_0, x_1, \dots, x_k]$$

مبرهنة 6.3

وباستخدام صيغة ذات الحدين

$$\binom{s}{k} = \frac{s(s-1)\cdots(s-k+1)}{k!}$$

نستطيع كتابة الصيغة عن $P_n(x)$ على نحو مدمج وعلى الصورة الآتية:

$$P_n(x) = P_n(x_0 + sh) = f[x_0] + \sum_{k=1}^n \binom{s}{k} k! h^k f[x_0, x_1, \dots, x_k] \quad (11.3)$$

إن صيغة نيوتن للفرق الأمامي Newton forward-difference formula تنشأ باعتماد تعبير الفرق الأمامي Δ الذي تناولناه في طريقة أيتكن Δ^2 . ومع هذه الصيغة

$$f[x_0, x_1] = \frac{f(x_1) - f(x_0)}{x_1 - x_0} = \frac{1}{h} \Delta f(x_0)$$

$$f[x_0, x_1, x_2] = \frac{1}{2h} \left[\frac{\Delta f(x_1) - \Delta f(x_0)}{h} \right] = \frac{1}{2h^2} \Delta^2 f(x_0)$$

وعموماً

$$f[x_0, x_1, \dots, x_k] = \frac{1}{k! h^k} \Delta^k f(x_0)$$

وحيث إن $f[x_0] = f(x_0)$ ، فالصيغة (11.3) لها الصيغة الآتية:

صيغة نيوتن للفرق الأمامي Newton Forward-Difference Formula

$$P_n(x) = f(x_0) + \sum_{k=1}^n \binom{s}{k} \Delta^k f(x_0) \quad (12.3)$$

فإذا أُعيد ترتيب نقاط الاستكمال الداخلي من الأخير إلى الأول بالشكل x_n, x_{n-1}, \dots, x_0 فإنه يمكننا كتابة صيغة الاستكمال الداخلي على النحو الآتي:

$$P_n(x) = f[x_n] + f[x_n, x_{n-1}](x - x_n) + f[x_n, x_{n-1}, x_{n-2}](x - x_n)(x - x_{n-1}) + \dots + f[x_n, \dots, x_0](x - x_n)(x - x_{n-1}) \cdots (x - x_1)$$

وبالإضافة إلى ذلك، إذا كانت النقاط متساوية البعد فيما بينها مع $x = x_n + sh$ فإن $x = x_i + (s+n-i)h$ و

$$\begin{aligned} P_n(x) &= P_n(x_n + sh) \\ &= f[x_n] + sh f[x_n, x_{n-1}] + s(s+1)h^2 f[x_n, x_{n-1}, x_{n-2}] + \dots \\ &\quad + s(s+1)\cdots(s+n-1)h^n f[x_n, \dots, x_0]. \end{aligned}$$

وهذا يستخدم لاشتقاق صيغة تطبيقية أكثر شيوعاً ومعروفة بـ (صيغة نيوتن للفرق المتراجع) "Newton backward-difference formula". ولشرح هذه الصيغة، نحتاج إلى التعريف الآتي:

تعريف 7.3

إذا كان لدينا المتتالية $\{p_n\}_{n=0}^{\infty}$ فنرمز للفرق المتراجع بالرمز ∇p_n (يقرأ $nabla p_n$)، حيث

$$\nabla p_n = p_n - p_{n-1} \quad \text{لكل } n \geq 1$$

وتعرف القوى العليا إرجاعياً كالآتي:

$$k \geq 2 \quad \nabla^k p_n = \nabla(\nabla^{k-1} p_n)$$

يؤدي تعريف (7.3) إلى

$$f[x_n, x_{n-1}] = \frac{1}{h} \nabla f(x_n), \quad f[x_n, x_{n-1}, x_{n-2}] = \frac{1}{2h^2} \nabla^2 f(x_n)$$

وعموماً

$$f[x_n, x_{n-1}, \dots, x_{n-k}] = \frac{1}{k!h^k} \nabla^k f(x_n)$$

وأخيراً

$$P_n(x) = f[x_n] + s \nabla f(x_n) + \frac{s(s+1)}{2} \nabla^2 f(x_n) + \dots + \frac{s(s+1) \dots (s+n-1)}{n!} \nabla^n f(x_n)$$

وإذا وسعنا صيغة ذات الحدين لتشمل قيم s الحقيقية جميعها يجعل

$$\binom{-s}{k} = \frac{-s(-s-1) \dots (-s-k+1)}{k!} = (-1)^k \frac{s(s+1) \dots (s+k-1)}{k!}$$

فإن

$$P_n(x) = f[x_n] + (-1)^1 \binom{-s}{1} \nabla f(x_n) + (-1)^2 \binom{-s}{2} \nabla^2 f(x_n) + \dots + (-1)^n \binom{-s}{n} \nabla^n f(x_n)$$

تعطي النتيجة الآتية:

Newton Backward-Difference Formula صيغة نيوتن للفرق المتراجع

$$P_n(x) = f[x_n] + \sum_{k=1}^n (-1)^k \binom{-s}{k} \nabla^k f(x_n) \tag{13.3}$$

يقابل جدول (9.3) للفرق المنقسم البيانات في مثال (1):

مثال 2

جدول 9.3

الفرق المنقسم للرابعة	الفرق المنقسم للثالثة	الفرق المنقسم الثانية	الفرق المنقسم الأولى		
				0.7651977	1.0
			-0.4837057		
		-0.1087339		0.6200860	1.3
	0.0658784		-0.5489460		
0.0018251		-0.0494433		0.4554022	1.6
	0.0680685		-0.5786120		
		0.0118183		0.2818186	1.9
			-0.5715210		
				0.1103623	2.2

تستخدم كثيرة حدود استكمال داخلي واحد فقط من الرتبة 4 في أكثر نقاط البيانات الخمس هذه. لكننا سننظم نقاط البيانات لإيجاد أفضل تقريبات استكمال داخلي برتب 1 و 2 و 3. وهذا سوف يعطينا تقريباً دقيقاً من الرتبة الرابعة لقيمة x المعلومة.

فإذا تطلب الأمر تقريباً إلى $f(1.1)$ فإن الاختيار المعقول للنقاط هو

$$x_0 = 1.0, x_1 = 1.3, x_2 = 1.6, x_3 = 1.9, x_4 = 2.2$$

لأن هذا الاختيار يعمل في اتجاه الاستخدام المبكر لنقاط البيانات الأقرب إلى $x = 1.1$. ويعمل في اتجاه استخدام الفرق المنقسم الرابع أيضاً. وهذا يؤدي إلى أن $h = 0.3$ و $s = \frac{1}{3}$ ، ومن ثم فإن صيغة نيوتن للفرق المنقسم المتراجع تستخدم مع الفروقات المنقسمة التي لها سيطرة قوية في جدول (9.3).

$$\begin{aligned} P_4(1.1) &= P_4(1.0 + \frac{1}{3}(0.3)) = 0.7651977 + \frac{1}{3}(0.3)(-0.4837057) \\ &+ \frac{1}{3}(-\frac{2}{3})(0.3)^2(-0.1087339) \\ &+ \frac{1}{3}(-\frac{2}{3})(-\frac{5}{3})(0.3)^3(0.0658784) \\ &+ \frac{1}{3}(-\frac{2}{3})(-\frac{5}{3})(-\frac{8}{3})(0.3)^4(0.0018251) = 0.7196460 \end{aligned}$$

ولتقريب قيمة عندما تكون x قريبة من نهاية القيمة الجدولية، $x = 2.0$ على سبيل المثال، فإننا نرغب مرة أخرى في الاستخدام المبكر لنقاط البيانات الأقرب إلى x . ويتطلب هذا استخدام صيغة نيوتن للفرق المنقسم المتراجع مع $s = -\frac{2}{3}$ ، وتكون الفروقات المنقسمة في جدول (9.3) الموضوع تحتها خط هي

$$\begin{aligned} P_4(2.0) &= P_4(2.2 - \frac{2}{3}(0.3)) = 0.1103623 - \frac{2}{3}(0.3)(-0.5715210) \\ &- \frac{2}{3}(\frac{1}{3})(0.3)^2(0.0118183) - \frac{2}{3}(\frac{1}{3})(\frac{4}{3})(0.3)^3(0.0680685) \\ &- \frac{2}{3}(\frac{1}{3})(\frac{4}{3})(\frac{7}{3})(0.3)^4(0.0018251) = 0.2238754 \end{aligned}$$

ليست صيغ التقدم والتراجع مناسبة لتقريب $f(x)$ عندما تكون x قرب مركز الجدول؛ لأن استخدام أي من طريقتي التقدم أو التراجع في حالة وجود الفرق بأعلى مرتبة سوف يحول دون اقتراب x_0 من x . وهذه أعداد من صيغ الفرق المنقسم متوافرة لهذه الحالة، وكل واحدة منها لها ظروف يكون استخدامها أكثر إيجابية، وتعرف هذه الطرائق بـ "صيغ الفرق المركزي" "centered-difference formula". سنستعرض هنا صيغة فرق مركزي واحدة هي "طريقة ستيرلنك" "Stirling's method"، ونوجه القارئ مرة أخرى إلى [Hild] إذا أراد تغطية المادة تماماً.

نستخدم x_0 بالقرب من النقطة المراد تقريبها بالنسبة إلى صيغ الفرق المركزي. ونعنون النقاط مباشرة أقل من x_0 لتكون x_1, x_2, \dots ، وتلك التي تكون مباشرة أكبر من x_0 لتكون x_{-1}, x_{-2}, \dots . ووفقاً لهذا الأسلوب، فإن صيغة ستيرلنك تكون

$$\begin{aligned} P_n(x) &= P_{2m+1}(x) = f[x_0] + \frac{sh}{2}(f[x_{-1}, x_0] + f[x_0, x_1]) + s^2 h^2 f[x_{-1}, x_0, x_1] \quad (14.3) \\ &+ \frac{s(s^2 - 1)h^3}{2} f[x_{-2}, x_{-1}, x_0, x_1] + f[x_{-1}, x_0, x_1, x_2] + \dots \\ &+ s^2(s^2 - 1)(s^2 - 4) \dots (s^2 - (m-1)^2) h^{2m} f[x_{-m}, \dots, x_m] \\ &+ \frac{s(s^2 - 1) \dots (s^2 - m^2) h^{2m+1}}{2} (f[x_{-m-1}, \dots, x_m] + f[x_{-m}, \dots, x_{m+1}]) \end{aligned}$$

نشر جيمس ستيرلنك

James Stirling (1770- 1820)

هذا إلى جانب صيغ عديدة أخرى في

Methodus Differentialis عام

1730

وتضمن عمله هذا تقنيات لتسريع

تقارب سلاسل مختلفة

نستخدم الصيغة نفسها إذا كان $n = 2m + 1$ عددًا فرديًا، وإذا كان $n = 2m$ عددًا زوجيًا ولكننا نحذف السطر الأخير. والمدخلات المستخدمة لهذه الصيغة مخطوط تحتها في جدول (10.3).

الفروق المنقسمة الرابعة	الفروق المنقسمة الثالثة	الفروق المنقسمة الثانية	الفروق المنقسمة الأولى	$f(x)$	x
				$f[x_{-2}]$	x_{-2}
			$f[x_{-2}, x_{-1}]$	$f[x_{-1}]$	x_{-1}
	$f[x_{-2}, x_{-1}, x_0, x_1]$	$f[x_{-2}, x_{-1}, x_0]$	$f[x_{-1}, x_0]$	$f[x_0]$	x_0
$f[x_{-2}, x_{-1}, x_0, x_1, x_2]$	$f[x_{-1}, x_0, x_1]$	$f[x_{-1}, x_0, x_1]$	$f[x_0, x_1]$	$f[x_1]$	x_1
	$f[x_{-1}, x_0, x_1, x_2]$	$f[x_0, x_1, x_2]$	$f[x_1, x_2]$	$f[x_2]$	x_2

جدول 10.3

افترض وجود جدول للبيانات المعطاة في الأمثلة السابقة. لاستخدام صيغة ستيرنك لتقريب $f(1.5)$ مع $x_0 = 1.6$ ؛ نستخدم المدخلات المخطوط تحتها في جدول الفرون (11.3).

مثال 3

الفروق المنقسمة الرابعة	الفروق المنقسمة الثالثة	الفروق المنقسمة الثانية	الفروق المنقسمة الأولى	$f(x)$	x
				0.7651977	1.0
			-0.4837057	0.6200860	1.3
	0.0658784	-0.1087339	-0.5489460	0.4554022	1.6
0.0018251	0.0680685	-0.0494433	-0.5786120	0.2818186	1.9
		0.0118183	-0.5715210	0.1103623	2.2

جدول 11.3

والصيغة باستخدام $h = 0.3$ ، $x_0 = 1.6$ ، $s = -\frac{1}{3}$ تصبح

$$\begin{aligned}
 f(1.5) &\approx P_4\left(1.6 + \left(-\frac{1}{3}\right)(0.3)\right) \\
 &= 0.4554022 + \left(-\frac{1}{3}\right)\left(\frac{0.3}{2}\right)\left((-0.5489460) + (-0.5786120)\right) \\
 &\quad + \left(-\frac{1}{3}\right)^2(0.3)^2(-0.0494433) \\
 &\quad + \frac{1}{2}\left(-\frac{1}{3}\right)\left(\left(-\frac{1}{3}\right)^2 - 1\right)(0.3)^3(0.0658784 + 0.0680685) \\
 &\quad + \left(-\frac{1}{3}\right)^2\left(\left(-\frac{1}{3}\right)^2 - 1\right)(0.3)^4(0.0018251) = 0.5118200
 \end{aligned}$$

EXERCISE SET

مجموعة التمارين 2.3

1. استخدم الصيغة (10.3) أو الخوارزمية (2.3) لإنشاء كثيرات حدود استكمال داخلي من الرتبة 3
1 ، 2 للبيانات الآتية، أجر تقريب القيم المحددة مستخدماً كل واحدة من كثيرات الحدود:

$$أ. f(8.4) = 18.82091 \text{ إذا كان } f(8.7) = 18.50515, f(8.6) = 17.56492, f(8.3) = 16.94410, f(8.1) = 16.94410.$$

ب. $f(0.9) = 0.65809197$ إذا كان $f(1.0) = 0.22363362, f(0.8) = 0.01375227, f(0.7) = -0.17694460, f(0.6) = -0.65809197$.

2. استخدم الصيغة (17.3) أو الخوارزمية (2.3) لإنشاء كثيرات حدود استكمال داخلي من الرتبة 3
1 ، 2 للبيانات الآتية، أجر تقريب القيم المحددة مستخدماً كل واحدة من كثيرات الحدود:

$$أ. f(0.43) = 4.48169 \text{ إذا كان } f(0.75) = 2.71828, f(0.5) = 1.64872, f(0.25) = 1, f(0) = 1.$$

ب. $f(0) = 0.687500$ إذا كان $f(0.5) = 0.800781, f(-0.25) = 1.33203, f(-0.5) = 1.93750, f(-0.75) = 1.93750$.

3. استخدم صيغة نيوتن للفرق الأمامي لإنشاء كثيرات حدود استكمال داخلي من الرتبة 3 ، 2 ، 1
للبيانات الآتية، أجر تقريب القيم المحددة مستخدماً كل واحدة من كثيرات الحدود:

$$أ. f(-\frac{1}{3}) = 1.10100000 \text{ إذا كان } f(0) = 0.33493750, f(-0.25) = -0.0247500, f(-0.5) = -0.07181250, f(-0.75) = -0.07181250.$$

ب. $f(0.25) = 0.24842440$ إذا كان $f(0.4) = 0.00660095, f(0.3) = -0.28398668, f(0.2) = -0.62049958, f(0.1) = -0.62049958$.

4. استخدم صيغة نيوتن للفرق الأمامي لإنشاء كثيرات حدود استكمال داخلي من الرتبة 3 ، 2 ، 1
للبيانات الآتية، أجر تقريب القيم المحددة مستخدماً كل واحدة من كثيرات الحدود:

$$أ. f(0.43) = 4.48169 \text{ إذا كان } f(0.75) = 2.71828, f(0.5) = 1.64872, f(0.25) = 1, f(0) = 1.$$

$$ب. f(0.18) = -0.81401972 \text{ إذا كان } f(0.3) = -0.56079734, f(0.2) = -0.29004986, f(0.1) = -0.29004986, f(0.4) = -1.0526302.$$

5. استخدم صيغة نيوتن للفرق الأمامي لإنشاء كثيرات حدود استكمال داخلي من الرتبة 3 ، 2 ، 1
للبيانات الآتية، أجر تقريب القيم المحددة مستخدماً كل واحدة من كثيرات الحدود:

$$أ. f(-\frac{1}{3}) = 0.33493750 \text{ إذا كان } f(-0.25) = -0.02475000, f(-0.5) = -0.07181250, f(-0.75) = -0.07181250, f(0) = 1.10100000.$$

$$ب. f(0.25) = 0.24842440 \text{ إذا كان } f(0.3) = 0.00660095, f(0.2) = -0.28398668, f(0.1) = -0.62049958, f(0.4) = 0.24842440.$$

6. استخدم صيغة نيوتن للفرق المتراجع لإنشاء كثيرات حدود استكمال داخلي من الرتبة 3 ، 2 ، 1
للبيانات الآتية، أجر تقريب القيم المحددة مستخدماً كل واحدة من كثيرات الحدود:

$$أ. f(0.43) = 4.48169 \text{ إذا كان } f(0.75) = 2.71828, f(0.5) = 1.64872, f(0.25) = 1, f(0) = 1.$$

$$ب. f(0.25) = 1.0986123 \text{ إذا كان } f(0) = 0.95802009, f(-0.5) = 0.86199480, f(-1) = 0.86199480, f(0.5) = 1.2943767.$$

7. أ. استخدم الخوارزمية (2.3) لإنشاء كثيرات حدود استكمال داخلي من الرتبة 3 للنقاط غير

$f(x)$	x
5.30000	-0.1
2.00000	0.0
3.19000	0.2
1.00000	0.3

ب. أضف $f(0.35) = 0.97260$ إلى الجدول، وأنشئ كثيرة حدود استكمال داخلي من الرتبة 4.

8. أ. استخدم الخوارزمية (2.3) لإنشاء كثيرات حدود استكمال داخلي من الرتبة 4 للنقطة غير المتساوية التباعد والمعطاة في الجدول الآتي:

$f(x)$	x
-6.00000	0.0
-5.89483	0.1
-5.65014	0.3
-5.17788	0.6
-4.28172	1.0

ب. أصف $f(1.1) = -3.99583$ إلى الجدول، وأنشئ كثيرة حدود استكمال داخلي من الرتبة 5.

9. أ. قرب $f(0.05)$ مستخدماً البيانات الآتية وصيغة نيوتن للفرق المنقسم الأمامي.

x	0.0	0.2	0.4	0.6	0.8
$f(x)$	1.00000	1.22140	1.49182	1.82212	2.22554

ب. استخدم صيغة نيوتن للفرق المنقسم المتراجع لتقريب $f(0.65)$.

ج. استخدم صيغة ستيرنك لتقريب $f(0.43)$.

10. أثبت أن كثيرة الحدود التي تستكمل داخلياً هذه البيانات تكون من الرتبة 3.

x	-2	-1	0	1	2	3
$f(x)$	1	4	11	16	13	-4

11. أ. أثبت أن كثيرتي الحدود التكعيبتين

$$P(x) = 3 - 2(x+1) + 0(x+1)(x) + (x+1)(x)(x-1)$$

$$Q(x) = -1 + 4(x+2) - 3(x+2)(x+1) + (x+2)(x+1)(x)$$

كليهما تستكمل داخلياً البيانات الآتية:

x	-2	-1	0	1	2
$f(x)$	-1	3	1	-1	3

ب. لماذا لا تكون الفقرة (أ) مخالفة لخاصية وحدانية كثيرات حدود الاستكمال الداخلي؟

12. تحقق كثيرة الحدود $P(x)$ من الرتبة الرابعة ما يأتي: $\Delta^2 P(0) = 0$, $\Delta^3 P(0) = 6$, $\Delta^4 P(0) = 24$.

حيث $\Delta P(x) = P(x+1) - P(x)$. احسب $\Delta^2 P(10)$.

13. البيانات الآتية معطاة لكثيرة حدود $P(x)$ مجهولة الرتبة

x	0	1	2
$P(x)$	2	-1	4

14. حدّد معامل x^2 في $P(x)$ إذا كانت الفروقات الأمامية جميعها من الرتبة لثالثة تساوي 1.

البيانات الآتية معطاة لكثيرة حدود $P(x)$ مجهولة الرتبة

x	0	2	1	3
$P(x)$	4	15	9	18

حدّد معامل x^3 في $P(x)$ إذا كانت الفروقات الأمامية جميعها من الرتبة الثالثة تساوي 1.

15. صيغة نيوتن للفرق الأمامي مستخدمة لتقريب $f(0.3)$ مع البيانات الآتية:

0.6	0.4	0.2	0.0	x
51.0	30.0	21.0	15.0	$f(x)$

لنفترض أننا اكتشفنا إنقاص $f(0.4)$ بمقدار 10 وزيادة $f(0.6)$ بمقدار 5. بأي مقدار سيتغير تقريب $f(0.3)$ ؟

16. تعطي صيغة نيوتن للفرق المنقسم كثيرة حدود استكمال داخلي بالنسبة إلى الدالة f

$$P_3(x) = 1 + 4x + 4x(x - 0.25) + \frac{16}{3}x(x - 0.25)(x - 0.5)$$

على النقاط $x_0 = 0, x_1 = 0.25, x_2 = 0.5, x_3 = 0.75$. أوجد $f(0.75)$.

17. الفروقات المنقسمة الارتجاعية بالنسبة إلى الدالة f معطاة أدناه.

	$f[x_0]$	$x_0 = 0.0$
	$f[x_0, x_1]$	
$f[x_0, x_1, x_2] = \frac{50}{7}$	$f[x_1]$	$x_1 = 0.4$
	$f[x_1, x_2] = 10$	
	$f[x_2] = 6$	$x_2 = 0.7$

حدّد المدخلات المفقودة في الجدول.

18. أ. تضمنت مقدمة هذا الباب جدولاً يضمّ عدد سكان الولايات المتحدة للأعوام 1940 حتى

1990. استخدم فروقات منقسمة مناسبة لتقريب عدد السكان في السنوات 1930 و 1965 و 2010.

ب. كان عدد السكان عام 1930 كالتالي 123,203,000 تقريباً. فما دقة أرقام السنوات 1965 و 2010 في رأيك؟

19. ليكن

$$P_n(x) = f[x_0] + f[x_0, x_1](x - x_0) + a_2(x - x_0)(x - x_1) + a_3(x - x_0)(x - x_1)(x - x_2) + \dots + a_n(x - x_0)(x - x_1) \dots (x - x_{n-1})$$

استخدم $P_n(x_2)$ لإثبات أن $a_2 = f[x_0, x_1, x_2]$.

20. أثبت أن $f[x_0, x_1, \dots, x_n, x] = \frac{f^{(n+1)}(\xi(x))}{(n+1)!}$ لبعض $\xi(x)$.

إرشاد: من الصيغة (3.3)

$$f(x) = P_n(x) + \frac{f^{(n+1)}(\xi(x))}{(n+1)!}(x - x_0) \dots (x - x_n)$$

مفترضين كثيرة حدود استكمال داخلي من الرتبة $n+1$ على x, x_0, x_1, \dots, x_n ، يكون لدينا

$$f(x) = P_{n+1}(x) = P_n(x) + f[x_0, x_1, \dots, x_n, x](x - x_0) \dots (x - x_n).$$

21. ليكن i_0, i_1, \dots, i_n إعادة ترتيب للأعداد الصحيحة $0, 1, \dots, n$. أثبت أن

$$f[x_{i_0}, x_{i_1}, \dots, x_{i_n}] = f[x_0, x_1, \dots, x_n]$$

إرشاد: افترض أن المعاملات الأمامية لكثيرة حدود لاجرانج من الرتبة n على البيانات

$$\{x_0, x_1, \dots, x_n\} = \{x_{i_0}, x_{i_1}, \dots, x_{i_n}\}$$

Hermite Interpolation

3.3 استكمال هرمايث الداخلي

كثيرات حدود التذبذب Osculating polynomials تعمم كثيرات حدود تايلور وكثيرات حدود لاجرانج كلها. لنفترض أن لدينا $n + 1$ من الأعداد المختلفة x_0, x_1, \dots, x_n في $[a, b]$ مع أعداد صحيحة غير سالبة m_0, m_1, \dots, m_n و $m_i = \max\{m_0, m_1, \dots, m_n\}$. كثيرة حدود التذبذب التي تقرب الدالة $f \in C^m[a, b]$ عند x_i ولكل $i = 0, \dots, n$ هي كثيرة حدود بأقل رتبة مع خاصية كونها تتفق مع الدالة f واشتقاقاتها كلها من الرتبة تساوي أو أقل من m_i عند x_i ورتبة كثيرة حدود التذبذب هذه تكون على الأكثر

$$M = \sum_{i=0}^n m_i + n$$

وإن عدد الشروط المطلوب تحققها هو $\sum_{i=0}^n m_i + (n + 1)$. وكثيرة حدود من الرتبة M لها $M + 1$ من المعاملات التي يمكن استخدامها لتحقيق هذه الشروط.

لتكن x_0, x_1, \dots, x_n أعداداً مختلفة عددها $n + 1$ تنتمي إلى الفترة $[a, b]$. ون m_i عدد صحيح غير سالب يقابل x_i , $i = 0, 1, \dots, n$ و n . افترض أن $f \in C^m[a, b]$. بحيث $m = \max_{0 \leq i \leq n} m_i$. إن كثيرة حدود التذبذب التي تقرب f هي كثيرة حدود $P(x)$ بأقل رتبة مع كون

$$\frac{d^k P(x_i)}{dx^k} = \frac{d^k f(x_i)}{dx^k} \quad \text{ولكل } k = 0, 1, \dots, m_i \text{ و } i = 0, 1, \dots, n$$

لاحظ أنه عندما $n = 0$. فإن كثيرة حدود التذبذب التي تقرب f هي كثيرة حدود تايلور من الرتبة m_0 لـ f عند x_0 . وحينما $m_i = 0$ لكل i . فإن كثيرة حدود التذبذب هي كثيرة حدود لاجرانج من الرتبة n التي تستكمل f داخلياً على x_0, x_1, \dots, x_n . وتعطي الحالة عندما $m_i = 1$ لكل $i = 0, 1, \dots, n$ كثيرات حدود هرمايث. وتتفق كثيرات الحدود هذه مع الدالة f عند x_0, x_1, \dots, x_n ولدالة محددة f . بالإضافة إلى ذلك، بما أن مشتقاتها الأولى تتفق ومثيلاتها في الدالة f . فإن لهما شكل الدالة نفسه $(x_i, f(x_i))$ في واقع توافق خطوط التماس لكثيرة الحدود ولدالة. ستقتصر دراستنا لكثيرات حدود التماس على هذه الحالة. ونفترض أولاً أن مبرهنة ما توضح صيغة كثيرات حدود هرمايث بالتحديد.

إذا كانت $f \in C^1[a, b]$ و $x_0, \dots, x_n \in [a, b]$ فإن كثيرة الحدود الوحيدة وبأقل رتبة المنفصلة مع f و f' عند x_0, \dots, x_n هي كثيرة حدود هرمايث من الرتبة $2n + 1$ على الأكثر

$$H_{2n+1}(x) = \sum_{j=0}^n f(x_j) H_{n,j}(x) + \sum_{j=0}^n f'(x_j) \hat{H}_{n,j}(x)$$

حيث إن $\hat{H}_{n,j}(x) = (x - x_j) L_{n,j}^2(x)$ و $H_{n,j}(x) = [1 - 2(x - x_j) L'_{n,j}(x_j)] L_{n,j}^2(x)$

الكلمة اللاتينية Osculum

تعني "الثغر الصغير" أو "قبلة" عند تطبيقها على منحنى. وتشير إلى تماسات فقط ولها نفس الشكل استيفاء هرمايث الداخلي له هذه الخاصية. لأن مطابقة منحنى معلوم ومشتقته تدفع بمنحنى الاستيفاء الداخلي لتقريب المنحنى المعلوم.

تعريف 8.3

كان شارلس هرمايث

Charles Hermite (1822-1901) قد عمل اكتشافات في جوانب عديدة وخصوصاً التحليل المركب ونظرية الأعداد وكان معروفاً ببرهانه عام 1873 أن e عبارة عن عدد غير معرف وفي عام 1882 استخدم لندمان Lin demann برهاناً مماثلاً لإثبات كون π هي عدد غير معرف أيضاً والذي أوضح أن "تربيع الدائرة" غير ممكن مع أدوات إقليدس القياسية

مبرهنة 9.3

قد أعطى هرمايث Hermite توضيحاً لكثيرة حدود التذبذب ضمن رسالة إلى كارل بورشاردت

Carl W. Borchardt عام 1878

حيث اعتاد إرسال نتائجهم إليه. وكان توضيحه هذا ذا قيمة تطبيقية لاستخدام تقنيات التكامل المركب لحل مسألة القيمة الحقيقية. انظر الصفحة

{#303} من {#Golds}

وتمثل $L_{n,j}(x)$ كثيرة حدود من الرتبة n لمعامل لاجرانج من الرتبة j والمعرفة في الصيغة (2.3). بالإضافة إلى ذلك. إذا كان $f \in C^{2n+2}[a, b]$ فإن

$$f(x) = H_{2n+1}(x) + \frac{(x-x_0)^2 \dots (x-x_n)^2}{(2n+2)!} f^{(2n+2)}(\xi(x))$$

لبعض $\xi(x)$ (مجهولة عموماً) في الفترة (a, b) .

البرهان تذكر أولاً أن

$$\left. \begin{array}{l} 0 \text{ إذا كان } i \neq j \\ 1 \text{ إذا كان } i = j \end{array} \right\} = L_{n,j}(x_i)$$

ولذلك عندما $j \neq i$ فإن

$$\hat{H}_{n,j}(x_i) = 0 \quad \text{و} \quad H_{n,j}(x_i) = 0$$

حيث

$$\hat{H}_{n,i}(x_i) = (x_i - x_i) \cdot 12 = 0 \quad \text{و} \quad H_{n,i}(x_i) = [1 - 2(x_i - x_i)L'_{n,i}(x_i)] \cdot 1 = 1$$

نتيجة لذلك

$$H_{2n+1}(x_i) = \sum_{\substack{j=0 \\ j \neq i}}^n f(x_j) \cdot 0 + f(x_i) \cdot 1 + \sum_{j=0}^n f'(x_j) \cdot 0 = f(x_i)$$

لذا H_{2n+1} يتفق مع f عند x_0, x_1, \dots, x_n

ولإثبات توافق H_{2n+1} مع f' عند الرؤوس، لاحظ أولاً أن $L_{n,j}(x)$ هو عامل $H'_{n,j}(x)$. لذا $H'_{n,j}(x_i) = 0$ عندما $j \neq i$. بالإضافة إلى ذلك. عندما $i = j$ و $L_{n,i}(x_i) = 1$ يكون لدينا

$$\begin{aligned} H'_{n,i}(x_i) &= -2L'_{n,i}(x_i) \cdot L_{n,i}^2(x_i) + [1 - 2(x_i - x_i)L'_{n,i}(x_i)]2L_{n,i}(x_i)L'_{n,i}(x_i) \\ &= -2L'_{n,i}(x_i) + 2L'_{n,i}(x_i) = 0 \end{aligned}$$

عندئذ $H'_{n,j}(x_i) = 0$ لكل i و j .

وأخيراً

$$\begin{aligned} \hat{H}'_{n,j}(x_i) &= L_{n,j}^2(x_i) + (x_i - x_j)2L_{n,j}(x_i)L'_{n,j}(x_i) \\ &= L_{n,j}(x_i)[L_{n,j}(x_i) + 2(x_i - x_j)L'_{n,j}(x_i)] \end{aligned}$$

لذا $\hat{H}'_{n,i}(x_i) = 1$ و $\hat{H}'_{n,j}(x_i) = 0$ إذا كان $j \neq i$ وبتجميع هذه الحقائق يكون لدينا

$$H'_{2n+1}(x_i) = \sum_{j=0}^n f(x_j) \cdot 0 + \sum_{\substack{j=0 \\ j \neq i}}^n f'(x_j) \cdot 0 + f'(x_i) \cdot 1 = f'(x_i)$$

وأخيراً يتوافق H_{2n+1} مع f و H'_{2n+1} مع f' عند x_0, x_1, \dots, x_n . لقد طلب برهنة وحدانية كثيرة

الحدود هذه وصيغة الخطأ في التمرين (11).

استخدمت كثيرة حدود هرمايت المتوافقة مع البيانات الموجودة في جدول (12.2) لإيجاد تقريب

إلى $f(1.5)$.

مثال 1

جدول 12.3

$f'(x_k)$	$f(x_k)$	x_k	k
-0.5220232	0.6200860	1.3	0
-0.5698959	0.4554022	1.6	1
-0.5811571	0.2818186	1.9	2

نحسب أولاً كثيرات حدود لاجرانج ومشتقاتها. وهذا يعطي

$$L_{2,0}(x) = \frac{(x-x_1)(x-x_2)}{(x_0-x_1)(x_0-x_2)} = \frac{50}{9}x^2 - \frac{175}{9}x + \frac{152}{9}, \quad L'_{2,0}(x) = \frac{100}{9}x - \frac{175}{9}$$

$$L_{2,1}(x) = \frac{(x-x_0)(x-x_2)}{(x_1-x_0)(x_1-x_2)} = \frac{-100}{9}x^2 + \frac{320}{9}x - \frac{247}{9}, \quad L'_{2,1}(x) = \frac{-200}{9}x + \frac{320}{9}$$

و

$$L_{2,2}(x) = \frac{(x-x_0)(x-x_1)}{(x_2-x_0)(x_2-x_1)} = \frac{50}{9}x^2 - \frac{145}{9}x + \frac{104}{9}, \quad L'_{2,2}(x) = \frac{100}{9}x - \frac{145}{9}$$

إن كثيرات حدود $H_{2,j}(x)$ و $\hat{H}_{2,j}(x)$ هي

$$H_{2,0}(x) = [1 - 2(x-1.3)(-5)] \left(\frac{50}{9}x^2 - \frac{175}{9}x + \frac{152}{9} \right)^2$$

$$= (10x - 12) \left(\frac{50}{9}x^2 - \frac{175}{9}x + \frac{152}{9} \right)^2$$

$$H_{2,1}(x) = 1 \cdot \left(\frac{-100}{9}x^2 + \frac{320}{9}x - \frac{247}{9} \right)^2$$

$$H_{2,2}(x) = 10(2-x) \left(\frac{50}{9}x^2 - \frac{145}{9}x + \frac{104}{9} \right)^2$$

$$\hat{H}_{2,0}(x) = (x-1.3) \left(\frac{50}{9}x^2 - \frac{175}{9}x + \frac{152}{9} \right)^2$$

$$\hat{H}_{2,1}(x) = (x-1.6) \left(\frac{-100}{9}x^2 + \frac{320}{9}x - \frac{247}{9} \right)^2$$

$$\hat{H}_{2,2}(x) = (x-1.9) \left(\frac{50}{9}x^2 - \frac{145}{9}x + \frac{104}{9} \right)^2$$

وأخيراً

$$H_5(x) = 0.6200860H_{2,0}(x) + 0.4554022H_{2,1}(x) + 0.2818186H_{2,2}(x) \\ - 0.5220232\hat{H}_{2,0}(x) - 0.5698959\hat{H}_{2,1}(x) - 0.5811571\hat{H}_{2,2}(x)$$

$$\begin{aligned}
H_5(1.5) &= 0.6200860 \left(\frac{4}{27} \right) + 0.4554022 \left(\frac{64}{81} \right) + 0.2818186 \left(\frac{5}{81} \right) \\
&\quad - 0.5220232 \left(\frac{4}{405} \right) - 0.5698959 \left(\frac{-32}{405} \right) - 0.5811571 \left(\frac{-2}{405} \right) \\
&= 0.5118277
\end{aligned}$$

نتيجة دقيقة لكل مدى.

ومع أن المبرهنة (9.3) تهيئ توضيحاً كاملاً لكثيرات حدود هرمائت. فمن الواضح في المثال (1) أن الحاجة إلى تحديد كثيرات حدود لاجرانج وحسابها واشتقاقاتها تجعل العملية مملة حتى مع قيم n الصغيرة. إن الطريقة البديلة لتوليد تقريبات هرمائت تنشأ على صيغة نيوتن للفرق المنقسم للاستكمال الداخلي عدد (10.3) لكثيرة حدود لاجرانج عند x_0, x_1, \dots, x_n هي

$$P_n(x) = f[x_0] + \sum_{k=1}^n f[x_0, x_1, \dots, x_k](x - x_0) \cdots (x - x_{k-1})$$

والربط ما بين الفرق المنقسم من الرتبة n واشتقاق f هو كما في المبرهنة (6.3) من الفصل (2.3).

افترض أن الأعداد المختلفة x_0, x_1, \dots, x_n معطاة مع قيم f و f' عند هذه الأعداد معاً. عرّف متتالية جديدة $z_0, z_1, \dots, z_{2n+1}$ بالصيغة $z_{2i} = z_{2i+1} = x_i$ لكل $i = 0, 1, \dots, n$ وأنشئ جدول الفرق المنقسم بصيغة جدول (7.3). حيث يستخدم $z_0, z_1, \dots, z_{2n+1}$.

وحيث إن $z_{2i} = z_{2i+1} = x_i$ لكل i ، فإننا لا نستطيع تعريف $f[z_{2i}, z_{2i+1}]$ بصيغة الفرق المنقسم. فلو افترضنا بالاستناد إلى المبرهنة (6.3) أن التعويض المقبول في هذه الحالة هو

$$f[z_{2i}, z_{2i+1}] = f'(z_{2i}) = f'(x_i)$$

$$f'(x_0), f'(x_1), \dots, f'(x_n)$$

بدلاً من الفروقات المنقسمة الأولى غير المعرفة

$$f[z_0, z_1], f[z_2, z_3], \dots, f[z_{2n}, z_{2n+1}]$$

تنتج بقية الفروقات المنقسمة كالمعتاد. وتوظف الفروقات المنقسمة المناسبة في صيغة نيوتن للفرق المنقسم لاستكمال داخلي. ويبين جدول (13.3) المدخلات المستخدمة في أول ثلاثة أعمدة للفرق المنقسم عند تحديد كثيرة حدود هرمائت $H_5(x)$ لـ x_0, x_1, x_2 . تنتج المدخلات الباقية بنفس الأسلوب وعلى نحو جدول (7.3). وكثيرة حدود هرمائت هي

$$H_{2n+1}(x) = f[z_0] + \sum_{k=1}^{2n+1} f[z_0, \dots, z_k](x - z_0)(x - z_1) \cdots (x - z_{k-1})$$

ويمكن إيجاد برهان ذلك في [Po, p. 56].

جدول 13.3

الفروق المنقسمة الثانية	الفروق المنقسمة الأولى	$f(z)$	z
		$f[z_0] = f(x_0)$	$z_0 = x_0$
	$f[z_0, z_1] = f'(x_0)$	$f[z_1] = f(x_0)$	$z_1 = x_0$
$f[z_0, z_1, z_2] = \frac{f[z_1, z_2] - f[z_0, z_1]}{z_2 - z_0}$	$f[z_1, z_2] = \frac{f[z_2] - f[z_1]}{z_2 - z_1}$	$f[z_2] = f(x_1)$	$z_2 = x_1$
$f[z_1, z_2, z_3] = \frac{f[z_2, z_3] - f[z_1, z_2]}{z_3 - z_1}$	$f[z_2, z_3] = f'(x_1)$	$f[z_3] = f(x_1)$	$z_3 = x_1$
$f[z_2, z_3, z_4] = \frac{f[z_3, z_4] - f[z_2, z_3]}{z_4 - z_2}$	$f[z_3, z_4] = \frac{f[z_4] - f[z_3]}{z_4 - z_3}$	$f[z_4] = f(x_2)$	$z_4 = x_2$
$f[z_3, z_4, z_5] = \frac{f[z_4, z_5] - f[z_3, z_4]}{z_5 - z_3}$	$f[z_4, z_5] = f'(x_2)$	$f[z_5] = f(x_2)$	$z_5 = x_2$

تستخدم مدخلات جدول (14.3) بيانات المثال (1). وإن المدخلات التي تحتها خط هي البيانات المعطاة، وقد نتج الباقي باستخدام صيغة الفرق المنقسم المعيارية (9.3):

مثال 2

$$\begin{aligned}
 H_5(1.5) &= 1.6200860 + (1.5 - 1.3)(-0.5220232) + (1.5 - 1.3)^2(-0.0897427) \\
 &\quad + (1.5 - 1.3)^2(1.5 - 1.6)(0.0663657) \\
 &\quad + (1.5 - 1.3)^2(1.5 - 1.6)^2(0.0026663) \\
 &\quad + (1.5 - 1.3)^2(1.5 - 1.6)^2(1.5 - 1.9)(-0.0027738) \\
 &= 0.5118277.
 \end{aligned}$$

جدول 14.3

			<u>0.6200860</u>	<u>1.3</u>
			<u>-0.5220232</u>	
		-0.0897427	<u>0.6200860</u>	<u>1.3</u>
	0.0663657		<u>-0.5489460</u>	
	<u>0.0026663</u>	-0.0698330	<u>0.4554022</u>	<u>1.6</u>
<u>-0.0027738</u>		-0.0290537	<u>-0.5698959</u>	
	0.0679655		<u>0.4554022</u>	<u>1.6</u>
	0.0685667	-0.0084837	<u>-0.5786120</u>	
			<u>0.2818186</u>	<u>1.9</u>
			<u>-0.5811571</u>	
			<u>0.2818186</u>	<u>1.9</u>

ويمكن توسيع الأسلوب المستخدم في الخوارزمية (3.3) ليستخدم في تحديد كثيرات حدود تماس أخرى. ونجد مناقشة مختصرة حول تلك العملية في [Po, pp. 53-57].

استكمال هرميات الداخلي Hermite Interpolation

لإيجاد معامل كثيرة حدود هرميات للاستكمال الداخلي $H(x)$ على $(n+1)$ من الأعداد المختلفة x_0, \dots, x_n للدالة f :

المدخلات: أرقام x_0, x_1, \dots, x_n ، قيم $f(x_0), \dots, f(x_n)$ و $f'(x_0), \dots, f'(x_n)$

المخرجات: الأعداد $Q_{0,0}, Q_{1,1}, \dots, Q_{2n+1,2n+1}$ حيث

$$H(x) = Q_{0,0} + Q_{1,1}(x - x_0) + Q_{2,2}(x - x_0)^2 + Q_{3,3}(x - x_0)^2(x - x_1) \\ + Q_{4,4}(x - x_0)^2(x - x_1)^2 + \dots \\ + Q_{2n+1,2n+1}(x - x_0)^2(x - x_1)^2 \dots (x - x_{n-1})^2(x - x_n)$$

الخطوة	المصون
1	عند $i = 0, 1, \dots, n$ نفذ الخطوتين 2 و 3.
2	ضع $z_{2i} = x_i$ $z_{2i+1} = x_i$ $Q_{2i,0} = f(x_i)$ $Q_{2i+1,0} = f(x_i)$ $Q_{2i+1,1} = f'(x_i)$
3	إذا كان $i \neq 0$ فضع $Q_{2i,1} = \frac{Q_{2i,0} - Q_{2i-1,0}}{z_{2i} - z_{2i-1}}$
4	لقيم $i = 2, 3, \dots, 2n+1$ ولقيم $j = 2, 3, \dots, i$ فضع $Q_{i,j} = \frac{Q_{i,j-1} - Q_{i-1,j-1}}{z_i - z_{i-j}}$
5	المخرجات $(Q_{0,0}, Q_{1,1}, \dots, Q_{2n+1,2n+1})$ توقف.

ALGORITHM

الخوارزمية

3.3

EXERCISE SET

مجموعة التمارين 3.3

1. استخدم مبرهنة (9.3) أو الخوارزمية (3.3) لإنشاء كثيرة حدود التقريب للبيانات الآتية:

$f'(x)$	$f(x)$	x
2.1691753	0.22363362	0.8
2.0466965	0.65809197	1.0

$f'(x)$	$f(x)$	x
3.116256	17.56492	8.3
3.151762	18.50515	8.6

$f'(x)$	$f(x)$	x
3.58502082	-0.62049958	0.1
3.14033271	-0.28398668	0.2
2.66668043	0.00660095	0.3
2.16529366	0.24842440	0.4

$f'(x)$	$f(x)$	x
0.7510000	-0.0247500	-0.5
2.1890000	0.3349375	-0.25
4.0020000	1.1010000	0

2. استخدم مبرهنة (9.3) أو الخوارزمية (3.3) لإنشاء كثيرة حدود التقريب للبيانات الآتية:

$f'(x)$	$f(x)$	x
0.437500	1.33203	-0.25
-0.625000	0.800781	0.25

$f'(x)$	$f(x)$	x
2.00000	1.00000	0
5.43656	2.71828	0.5

$f'(x)$	$f(x)$	x
0.15536240	0.86194480	-1
0.22249654	0.95802009	-0.5
0.33333333	1.098623	0
0.4516776	1.2943267	0.5

$f'(x)$	$f(x)$	x
-2.8019975	-0.29004996	0.1
-2.6159201	-0.56079734	0.2
-2.4533949	-0.81401972	0.3

3. البيانات في التمرين (1) باستخدام الدوال الآتية. استخدم كثيرة الحدود المنشأة في المثال

(1) لقيمة x المعطاة لتقريب $f(x)$. واحسب الخطأ المطلق:

أ. $f(x) = x \ln x$ وتقريب $f(8.4)$

ب. $f(x) = \sin(e^x - 2)$ وتقريب $f(0.9)$

ج. $f(x) = x^3 + 4.001x^2 + 4.002x + 1.101$ وتقريب $f(-\frac{1}{3})$

د. $f(x) = x \cos x - 2x^2 + 3x - 1$ وتقريب $f(0.25)$

4. أنتجت البيانات في التمرين (2) باستخدام الدوال الآتية. استخدم كثيرة الحدود المنشأة في المثال (1) لقيمة x المعطاة لتقريب $f(x)$. واحسب الخطأ المطلق:

أ. $f(x) = e^{2x}$ وتقريب $f(0.43)$

ب. $f(x) = x^4 - x^3 + x^2 - x + 1$ وتقريب $f(0)$

ج. $f(x) = x^2 \cos x - 3x$ وتقريب $f(0.18)$

د. $f(x) = \ln(e^x + 2)$ وتقريب $f(0.25)$

5. أ. استخدم القيم الآتية وتدويرًا حسابيًا لأربع خانات من أجل إنشاء كثيرة حدود هرمائيت للاستكمال الداخلي لتقريب $\sin 0.34$.

$D_1 \sin x = \cos x$	$\sin x$	x
0.95534	0.29582	0.30
0.94924	0.31457	0.32
0.93937	0.34290	0.35

ب. حدّد حدًا لخطأ التقريب في (أ)، وقارنه بالخطأ الحقيقي.

ج. أضف $\sin 0.33 = 0.32404$ و $\cos 0.33 = 0.94604$ إلى البيانات، وكرّر الحسابات.

6. ليكن $f(x) = 3xe^x - e^{2x}$

أ. استخدم كثيرة حدود هرمائيت للاستكمال الداخلي من رتبة لا تزيد على 3 لتقريب $f(1.03)$ مستخدمًا $x_0 = 1$ و $x_1 = 1.05$. قارن الخطأ الحقيقي بحدّ الخطأ.

ب. استخدم كثيرة حدود هرمائيت للاستكمال الداخلي من رتبة لا تزيد على 5 لتقريب $f(1.03)$ مستخدمًا $x_0 = 1$ ، $x_1 = 1.05$ و $x_2 = 1.07$. قارن الخطأ الحقيقي بحدّ الخطأ.

7. استخدم صيغة الخطأ و Maple لإيجاد حد للأخطاء عند تقريبات $f(x)$ في الرأسين (أ) و(ج) من التمرين (3).

8. استخدم صيغة الخطأ و Maple لإيجاد حد للأخطاء عند تقريبات $f(x)$ في الفقرتين (ب) و(ج) من التمرين (4).

9. يتضمن الجدول الآتي بيانات للدالة $f(x) = e^{0.1x^2}$. اعمل التقريب $f(1.25)$ باستخدام $H_3(1.25)$ و $H_5(1.25)$ حيث يستخدم H_5 النقاط $x_0 = 1$ ، $x_1 = 2$ ، $x_2 = 3$ ويستخدم H_3 النقاطين $x_0 = 1$ و $x_1 = 1.5$. أوجد حدود خطأ هذه التقريبات.

$f'(x) = 0.2xe^{0.1x^2}$	$f(x) = e^{0.1x^2}$	x
0.2210341836	1.105170918	$x_0 = \bar{x}_0 = 1$
0.3756968148	1.252322716	$\bar{x}_1 = 1.5$
0.5967298792	1.491824698	$x_1 = 2$
1.475761867	2.459603111	$x_2 = 3$

10. تتحرك سيارة على طريقٍ مستقيم، وتسجل بياناتها عند نقاط كثيرة. وتظهر هذه البيانات في الجدول الآتي. حيث يمثل الزمن (Time) بالثانية. والمسافة (Distance) بالقدم. والسرعة (Speed) بالقدم لكل ثانية.

الوقت	0	3	5	8	13
المسافة	0	225	383	623	993
السرعة	75	77	80	74	72

أ. استخدم كثيرة حدود هرايمت لتخمين موقع السيارة وسرعتها عند الثانية العاشرة $t = 10$ s.
 ب. استخدم مشتقة كثيرة حدود هرايمت لتحديد ما إذا كان من الممكن للسيارة أن تتجاوز سرعة 55 mi/h على الطريق. وإذا كان ذلك فما هي المرة الأولى التي تتجاوز فيها السيارة هذه السرعة؟

ج. ما السرعة القصوى المتوقعة لهذه السيارة؟

11. أ. أثبت أن كثيرة الحدود الوحيدة بأقل رتبة تتوافق مع f و f' عند x_0, \dots, x_n .
 إرشاد: افترض $P(x)$ كثيرة حدود أخرى. وافترض $D = H_{2n+1} - P$ و D' عند x_0, x_1, \dots, x_n .
 ب. اشتق حد الخطأ في المبرهنة (9.3). [إرشاد: استخدم طريقة لاجرانج نفسها لاشتقاق الخطأ].
 وتعرف المبرهنة (3.3)

$$g(t) = f(t) - H_{2n+1}(t) - \frac{(t - x_0)^2 \dots (t - x_n)^2}{(x - x_0)^2 \dots (x - x_n)^2} [f(x) - H_{2n+1}(x)]$$

مع استخدام حقيقة كون $g'(t)$ لها $(2n + 2)$ من الأصفار المختلفة ضمن $[a, b]$.

12. ليكن $z_0 = x_0, z_1 = x_0, z_2 = x_1, z_3 = x_1$ ومن جدول الفرق المنقسم الآتي

		$f[z_0] = f(x_0)$	$z_0 = x_0$
	$f[z_0, z_1] = f'(x_0)$	$f[z_1] = f(x_0)$	$z_1 = x_0$
$f[z_0, z_1, z_2]$	$f[z_1, z_2]$	$f[z_2] = f(x_1)$	$z_2 = x_1$
$f[z_1, z_2, z_3]$	$f[z_2, z_3] = f'(x_1)$	$f[z_3] = f(x_1)$	$z_3 = x_1$

أثبت أن كثيرة حدود هرايمت التكعيبية $H_3(x)$ يمكن كتابتها على النحو الآتي:

$$f[z_0] + f[z_0, z_1](x - x_0) + f[z_0, z_1, z_2](x - x_0)^2 + f[z_0, z_1, z_2, z_3](x - x_0)^2(x - x_1)$$

4.3 استكمال الشريحة التكعيبية Cubic Spline Interpolation

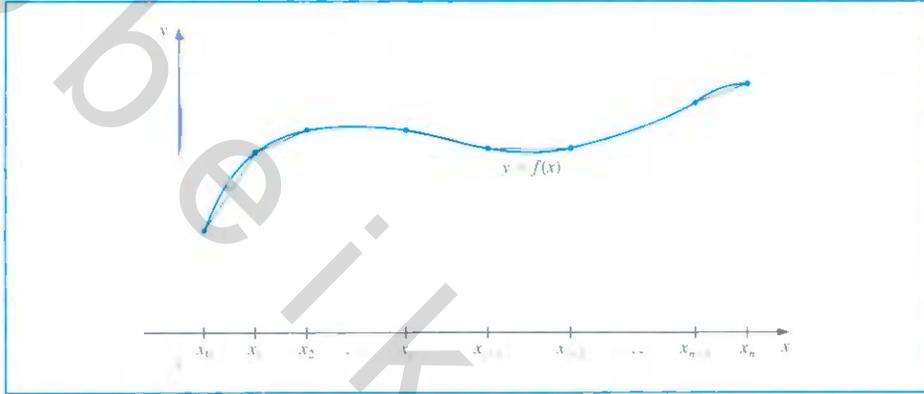
ركّزت البنود السابقة على تقريب دوال عشوائية ضمن فترات مغلقة مستخدمة كثيرات الحدود. ولأن طبيعة كثيرات الحدود ذات الرتبة العليا متذبذبة. ولأن هذا التذبذب ضمن جزء من الفترة يمكنه تحفيز تذبذبات كبيرة ضمن كامل المدى، فذلك يحد من استخدامها. وسوف نرى مثلاً جيداً لذلك في شكل (13.3) في نهاية هذا الفصل. ويعمل المنهج البديل على تقسيم الفترة إلى فترات جزئية. وإنشاء كثيرة حدود مختلفة عند كل فترة جزئية (عموماً). ويسمى التقريب بدوال من هذا النوع (التقريب بكثيرة حدود متقطعة)

(1) إن براهين المبرهنات في هذا الفصل تعتمد النتائج في الباب 6

piecewise-polynomial approximation. وأبسط تقريب بكثيرة حدود متقطعة هو استكمال داخلي خطي متقطع، الذي يتضمن ربط مجموعة من نقاط البيانات

$$\{(x_0, f(x_0)), (x_1, f(x_1)), \dots, (x_n, f(x_n))\}$$

من خلال سلسلة من الخطوط المستقيمة كما في شكل (7.3).



شكل 7.3

يمكن الجانب السلبي للتقريب بدالة خطية في عدم وجود التفاضل على الأُجح عند أطراف الفترات الجزئية الذي يعني أن دالة الاستكمال الداخلي ليست ملاء (نخمة) في النجوم الهندسي. وهذه النعومة مطلوبة وفقاً للشروط الفيزيائية، وأخيراً فإنه يجب في دالة التقريب أن تكون قابلة للتفاضل على نحو متصل. والإجراء البديل هو استخدام كثيرة حدود متقطعة من نوع هرمائيت. على سبيل المثال. إذا كانت قيم f و f' معروفة لكل من النقاط $x_0 < x_1 < \dots < x_n$ فإن كثيرة حدود هرمائيت التكعيبية يمكن استخدامها على كل واحدة من المجموعات الجزئية $[x_0, x_1], [x_1, x_2], \dots, [x_{n-1}, x_n]$ لإيجاد دالة ذات مشتقة متصلة على الفترة $[x_0, x_n]$. ولتحديد كثيرة حدود هرمائيت تكعيبية مناسبة على فترة معلومة؛ فإنها مجرد عملية حساب $H_3(x)$ لكل الفترة ببساطة. ولأن كثيرات حدود لأجراج الاستكمال الداخلي التي نحتاج إليها لغرض تحديد H_3 هي من الرتبة الأولى، فإن من السهل تحقيق ذلك. على أي حال لكي نستخدم كثيرات حدود هرمائيت المتقطعة للاستكمال الداخلي العام؛ نحتاج إلى معرفة مشتقة الدالة التي نعمل على تقريبها، وغير متوفر غالباً.

يتناول بقية هذا الفصل التقريب مستخدماً كثيرات حدود متقطعة لا تحتاج إلى معلومات اشتقاقية. إلا ربما عند أطراف الفترة التي تُقرب إليها.

وأبسط أنواع الدالة لكثيرة حدود متقطعة وقابلة للتفاضل على كامل الفترة $[x_0, x_n]$ هي الدالة الناتجة عن توفيق كثيرة حدود تكعيبية واحدة ما بين كل زوج متتال من الرؤوس. وهذا ينفذ من خلال إنشاء تكعيبية واحد على $[x_0, x_1]$ متوافق مع الدالة عند x_0 و x_1 . وتكعيبية آخر على $[x_1, x_2]$ متوافق مع الدالة عند x_0 و x_1 وهكذا. وحيث إن لكثيرة الحدود التكعيبية العامة ثلاثة ثوابت عشوائية (الحد الثابت، معامل x ، ومعامل x^2)، وهناك حاجة إلى شرطين فقط لتوفيق البيانات على نقطتي

لفد طوز إسحق يعقوب شونبرغ

(1903-1990)

Isaac Jacob Schoenberg

عمله حول الأخاديد خلال الحرب العالمية الثانية في أثناء مغادرته جامعة بنسلفانيا للعمل في مختبر البحوث بالستية العسكري في أبردن/ميريلاند وتضمن عمله الأساسي عمليات عديدة لحل المعادلات للتفاضلية إن التطبيق الأوسع للأخاديد في مجالات موامة البيانات والتصميم الهندسي عن طريق الحاسوب قد أصبح واضحاً مع الانتشار الواسع للحاسبات خلال الفترة (1960s).

الطرفين لكل فترة جزئية، فثمة مرونة تسمح باختيار التكعيبية على أن يكون للاستكمال الداخلي مشتقة متصلة على $[x_0, x_n]$.

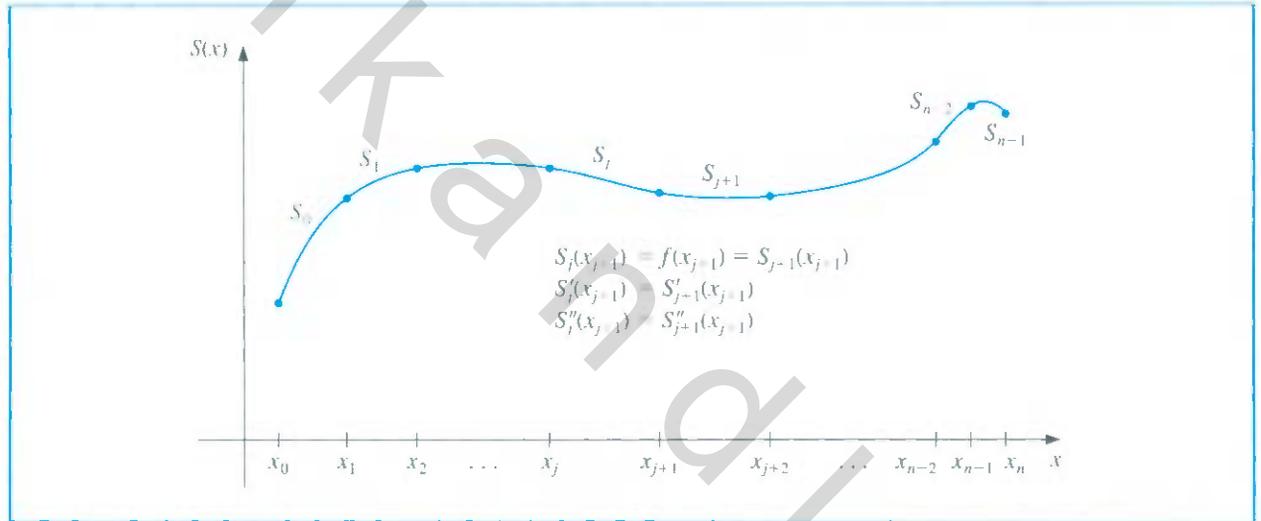
وثمة صعوبة تبرز عند الحاجة إلى توصيف شروط حول مشتقة الاستكمال الداخلي على نقطتي الطرفين x_0 و x_n .

ولا يوجد عدد مناسب من الثوابت لضمان كون الشروط ستتتحقق. (انظر تمرين 26).

يستخدم التقريب الشائع لكثيرة الحدود المتقطعة كثيرات حدود تكعيبية ما بين كل زوج متتال من النقاط ويُسمى "استكمال الشريحة التكعيبية Cubic Spline Interpolation". وتتضمن كثيرة الحدود التكعيبية العامة 4 ثوابت، ومن ثم توجد مرونة كافية في عملية الشريحة التكعيبية؛ لضمان كون الاستكمال الداخلي ليس قابلاً للاشتقاق على نحو متصل على الفترة فقط، وإنما له مشتقة متصلة ثانية أيضاً. إن عملية إنشاء الشريحة التكعيبية لا تفترض توافقاً ما بين مشتقة الاستكمال الداخلي وتلك المعدّة للدالة قيد التقريب، حتى عند الرؤوس. (انظر شكل 8.3).

إن أصل كلمة أهدود spline هو نفسه splint كان في الأصل عبارة عن شريط حسيبي يمكن استخدامه لربط لوحين وبعد ذلك استخدمت الكلمة للإشارة إلى شريط من وطويلا من المعدن على نحو عام. ويمكن استخدامه لرسم منحنيات متملم ومنظمة عن طريق جعل الشريط يمر عبر نقاط محددة واقعة على سطح المنحنى.

شكل 8.3



تعريف 10.3 لتكن الدالة f معرفة على $[a, b]$ ، وعند النقاط $a = x_0 < x_1 < \dots < x_n = b$. عندئذ يكون

الاستكمال الداخلي للشريحة التكعيبية S للدالة f هو دالة تتحقق الشروط الآتية:

أ. $S(x)$ كثيرة حدود تكعيبية، ويكتب $S_j(x)$ على الفترة $[x_j, x_{j+1}]$ لكل $j = 0, 1, \dots, n-1$

ب. $S_j(x_j) = f(x_j)$ و $S_j(x_{j+1}) = f(x_{j+1})$ لكل $j = 0, 1, \dots, n-1$

ج. $S_{j+1}(x_{j+1}) = S_j(x_{j+1})$ لكل $j = 0, 1, \dots, n-2$

د. $S'_{j+1}(x_{j+1}) = S'_j(x_{j+1})$ لكل $j = 0, 1, \dots, n-2$

هـ. $S''_{j+1}(x_{j+1}) = S''_j(x_{j+1})$ لكل $j = 0, 1, \dots, n-2$

و. تتحقق إحدى المجموعات الآتية من شروط الحدود:

$$1. S''(x_0) = S''(x_n) = 0 \text{ (حدود طبيعية أو حرّة).}$$

$$2. S'(x_0) = f'(x_0) \text{ و } S'(x_n) = f'(x_n) \text{ (حدود متشابهة).}$$

وعلى الرغم من أن الشرائح التكميلية معرفة بشروط حدودية أخرى، فإن الشروط المبينة في (و) أعلاه تعدّ كافية لتحقيق أغراضنا. وعندما تظهر الشروط الحدودية الحرة تُدعى الشريحة بالشريحة الطبيعية الطبيعية natural spline، وإن رسمه البياني يقارب شكل قضيب طويل ومرن يدفع عبر نقاط البيانات $\{(x_0, f(x_0)), (x_1, f(x_1)), \dots, (x_n, f(x_n))\}$ وعموماً تؤدي شروط الحدود المتشابكة إلى تقريب أدق؛ لأنها تتضمن معلومات أكثر حول الدالة. ولكي يتحقق مثل هذا النوع من الشرط الحدودي، فمن الضروري معرفة إما قيمة الاشتقاق عند الأطراف، وإما تقريب دقيق لكثيرات الحدود التكميلية

$$S_j(x) = a_j + b_j(x - x_j) + c_j(x - x_j)^2 + d_j(x - x_j)^3$$

لكل $j = 0, 1, \dots, n-1$

ولكون $S_j(x_j) = a_j = f(x_j)$ ؛ فإن الشرط (ج) يمكن تطبيقه للحصول على

$$a_{j+1} = S_{j+1}(x_{j+1}) = S_j(x_{j+1}) = a_j + b_j(x_{j+1} - x_j) + c_j(x_{j+1} - x_j)^2 + d_j(x_{j+1} - x_j)^3$$

لكل $j = 0, 1, \dots, n-2$

ونظراً لاستخدام الحدود $x_{j+1} - x_j$ استخداماً متكرراً في هذا التطوير، يكون من المناسب تقديم تعبير أبسط

$$h_j = x_{j+1} - x_j$$

لكل $j = 0, 1, \dots, n-1$. وإذا ما عرفنا $f(x_n) = a_n$ أيضاً فإن الصيغة

$$a_{j+1} = a_j + b_j h_j + c_j h_j^2 + d_j h_j^3 \quad (15.3)$$

تتحقق لكل $j = 0, 1, \dots, n-1$.

وبالأسلوب نفسه عرف $b_n = S'(x_n)$ ولاحظ أن

$$S'_j(x) = b_j + 2c_j(x - x_j) + 3d_j(x - x_j)^2$$

تعطي $S'_j(x_j) = b_j$ لكل $j = 0, 1, \dots, n-1$. وتطبيق الشرط (د) نحصل على

$$b_{j+1} = b_j + 2c_j h_j + 3d_j h_j^2 \quad (16.3)$$

لكل $j = 0, 1, \dots, n-1$

نحصل على علاقة أخرى ما بين معامل S_j من خلال تعريف $c_n = S''(x_n)/2$ وتطبيق الشرط

(ج). وأخيراً لكل $j = 0, 1, \dots, n-1$ نجد أن

$$c_{j+1} = c_j + 3d_j h_j \quad (17.3)$$

وعند حل d_j في الصيغة (17.3) وتعويض هذه القيمة في المعادلتين (15.3) و(16.3) نحصل على

الصيغة الجديدة الآتية لكل $j = 0, 1, \dots, n-1$

$$a_{j+1} = a_j + b_j h_j + \frac{h_j^2}{3}(2c_j + c_{j+1}) \quad (18.3)$$

و

$$b_{j+1} = b_j + h_j(c_j + c_{j+1}) \quad (19.3)$$

الشريحة الحرة ليست لها شروط مفروضة بشأن الاتجاه عند أطرافها. من ثم يأخذ المنحنى شكل الخط المستقيم بعد مروره عبر نقاط الاستكمال الداخلي وبالقرب من أطرافها. الشرائح الحرة هي الشكل الطبيعي المفترض من قبل الشريط المرن إذا مرّ عبر نقاط استكمال داخلي محددة ودون قيود إضافية

تشابك الشريحة يشير إلى تثبيت نهائي الشريط المرن لجعله يأخذ اتجاهها محددًا عند كل طرف هذا ضروري ومثال على ذلك حالة وجوب تطابق دالتي شريحتين عند أطرافهما. حيث يحدث ذلك رياضياً من خلال تحديد قيم المشتقة للمنحنى عند أطراف الشريحة

تتضمن العلاقة الأخيرة إيجاد المعامل من خلال حل الصيغة المناسبة بصيغة الصيغة (18.3).

$$b_j = \frac{1}{h_j}(a_{j+1} - a_j) - \frac{h_j}{3}(2c_j + c_{j+1}) \quad (20.3)$$

ولـ b_j أولاً، ويكون حل b_{j-1} بتخفيض الدليل بعد ذلك. وهذا يعطي

$$b_{j-1} = \frac{1}{h_{j-1}}(a_j - a_{j-1}) - \frac{h_{j-1}}{3}(2c_{j-1} + c_j)$$

وبتعويض هذه القيم في الصيغة (19.3) مع حصول تخفيض واحد للدليل، نحصل على نظام خطي من الصيغ

$$h_{j-1}c_{j-1} + 2(h_{j-1} + h_j)c_j + h_jc_{j+1} = \frac{3}{h_j}(a_{j+1} - a_j) - \frac{3}{h_{j-1}}(a_j - a_{j-1}) \quad (21.3)$$

لكل $j = 1, 2, \dots, n-1$. يتضمن هذا النظام القيم المجهولة $\{c_j\}_{j=0}^n$ فقط. لأن قيم $\{h_j\}_{j=0}^{n-1}$ و $\{a_j\}_{j=0}^n$ معلومة من خلال المبادعة ما بين النقاط $\{x_j\}_{j=0}^n$ وقيم f عند النقاط على التوالي.

لاحظ أنه حالما تحدد قيم $\{c_j\}_{j=0}^n$ ، يصبح من السهل إيجاد ما تبقى من الثوابت $\{b_j\}_{j=0}^{n-1}$ من الصيغة (20.3) و $\{d_j\}_{j=0}^{n-1}$ من الصيغة (17.3)، ومن ثم إنشاء كثيرات حدود تكعيبية $\{S_j(x)\}_{j=0}^{n-1}$.

والسؤال الرئيس الذي يبرز عند الربط بهذا الإنشاء هو: هل يمكن إيجاد قيم $\{c_j\}_{j=0}^n$ باستخدام نظام الصيغ المبينة في (21.3)؟ وإذا كان كذلك فهل تكون هذه القيم وحيدة؟ تشير النظريات الآتية إلى أن الحالة هي نفسها عندما نفترض أيًا من شروط الحدود المبينة في (و) من التعريف.

وتتطلب براهين هذه النظريات مواد من الجبر الخطي سنناقشها في الفصل 6.

إذا كانت f معرفة عند $a = x_0 < x_1 < \dots < x_n = b$ فإن لها استكمالاً داخلياً لشريحة طبيعية وحيدة S عند النقاط x_0, x_1, \dots, x_n . بمعنى أن استكمالاً داخلياً للشريحة يحقق الشروط الحدودية $S''(a) = 0$ و $S''(b) = 0$.

مبرهنة 11.3

البرهان تشير الشروط الحدودية في هذه الحالة إلى أن $c_n = S''(x_n)/2 = 0$ وأن

$$0 = S''(x_0) = 2c_0 + 6d_0(x_0 - x_0)$$

وبذلك فإن $c_0 = 0$. المكررتان $c_0 = 0$ و $c_n = 0$ مع الصيغ في (21.3) تعطي معاً نظاماً خطياً يتضح من خلال $Ax = b$ ، حيث إن A هي المصفوفة $(n+1) \times (n+1)$

$$A = \begin{bmatrix} 1 & 0 & 0 & \dots & 0 & 0 \\ h_0 & 2(h_0 + h_1) & h_1 & & & \\ 0 & h_1 & 2(h_1 + h_2) & h_2 & & \\ \vdots & \vdots & \vdots & \vdots & \ddots & \vdots \\ 0 & & & h_{n-2} & 2(h_{n-2} + h_{n-1}) & h_{n-1} \\ \vdots & \vdots & \vdots & \vdots & \vdots & \vdots \\ 0 & 0 & 0 & 0 & 0 & 1 \end{bmatrix}$$

وكل من b و x عبارة عن المتجهات

$$b = \begin{bmatrix} 0 \\ \frac{3}{h_1}(a_2 - a_1) - \frac{3}{h_0}(a_1 - a_0) \\ \vdots \\ \frac{3}{h_{n-1}}(a_n - a_{n-1}) - \frac{3}{h_{n-2}}(a_{n-1} - a_{n-2}) \\ 0 \end{bmatrix} \quad \text{و} \quad x = \begin{bmatrix} c_0 \\ c_1 \\ \vdots \\ c_n \end{bmatrix}$$

يغلب على المصفوفة A سمة القطرية، لذلك فإنها تفي بفرضيات المبرهنة (9.6) من الفصل (6). وعندئذ فإن للنظام الخطي حلاً وحيداً لـ c_0, c_1, \dots, c_n . ويمكن إيجاد حل مسألة الشريحة التكميلية مع الشروط الحدودية $S''(x_0) = S''(x_n) = 0$ من خلال تطبيق الخوارزمية (4.3).

الشريحة التكميلية الطبيعية Natural Cubic Spline

لإنشاء الاستكمال الداخلي للشريحة التكميلية S الخاص بالدالة f ، معرفاً عند الأعداد $x_0 < x_1 < \dots < x_n$ ولتحقق $S''(x_0) = S''(x_n) = 0$ المدخلات: $a_0 = f(x_0), a_1 = f(x_1), \dots, a_n = f(x_n)$; المخرجات: a_j, b_j, c_j, d_j لكل $j = 0, 1, \dots, n-1$ إرشاد:

$$S(x) = S_j(x) = a_j + b_j(x - x_j) + c_j(x - x_j)^2 + d_j(x - x_j)^3 \quad \text{لكل } x_j \leq x \leq x_{j+1}$$

الخطوة	المضمون
1	عند $i = 0, 1, \dots, n-1$ ضع $h_i = x_{i+1} - x_i$
2	عند $i = 1, 2, \dots, n-1$ ضع $a_i = \frac{3}{h_i}(a_{i+1} - a_i) - \frac{3}{h_{i-1}}(a_i - a_{i-1})$
3	ضع $l_0 = 1$ (تنفذ الخطوات 3، 4، 5 وجزء من الخطوة 6 نظاماً خطياً ثلاثي القطر باستخدام طريقة موضحة في الخوارزمية (7.6).) $\mu_0 = 0$ $z_0 = 0$
4	عند $i = 1, 2, \dots, n-1$ ضع $l_i = 2(x_{i+1} - x_{i-1}) - h_{i-1}\mu_{i-1}$ $\mu_i = h_i/l_i$ $z_i = (a_i - h_{i-1}z_{i-1})/l_i$



ضع	$l_n = 1$ $\bar{z}_n = 0$ $c_n = 0$	5
عند	$j = n - 1, n - 2, \dots, 0$	
ضع	$c_j = z_j - \mu_j c_{j+1}$ $b_j = (a_{j+1} - a_j) / h_j - h_j(c_{j+1} + 2c_j) / 3$ $d_j = (c_{j+1} - c_j) / (3h_j)$	6
المخرجات	($j = 0, 1, \dots, n - 1$ إلى a_j, b_j, c_j, d_j) توقف.	7



مثال 1 أعطينا في بداية الباب الثالث بعض كثيرات حدود تايلور لتقريب الدالة الأسية $f(x) = e^x$ وهنا

سنستخدم شريحة طبيعية ونقاط البيانات $(0, 1), (1, e), (2, e^2), (3, e^3)$ لغرض

أ. تكوين دالة تقريب $S(x)$

ب. مقارنة تكاملات f و S على الفترة $[0, 3]$.

(أ) لدينا $n = 3, h_0 = h_1 = h_2 = 1, a_0 = 0, a_1 = e, a_2 = e^2, a_3 = e^3$ لذا فالمصفوفة

والمتجهات \mathbf{x} و \mathbf{b} مبينة أدناه في المبرهنة (11.3).

$$\mathbf{x} = \begin{bmatrix} c_0 \\ c_1 \\ c_2 \\ c_3 \end{bmatrix} \quad \text{و} \quad A = \begin{bmatrix} 1 & 0 & 0 & 0 \\ 1 & 4 & 1 & 0 \\ 0 & 1 & 4 & 1 \\ 0 & 0 & 0 & 1 \end{bmatrix}, \quad \mathbf{b} = \begin{bmatrix} 0 \\ 3(e^2 - 2e + 1) \\ 3(e^3 - 2e^2 + e) \\ 0 \end{bmatrix}$$

وصيغة مصفوفة المتجه $\mathbf{Ax} = \mathbf{b}$ مكافئة لنظام الصيغ

$$c_0 = 0$$

$$c_0 + 4c_1 + c_2 = 3(e^2 - 2e + 1)$$

$$c_1 + 4c_2 + c_3 = 3(e^3 - 2e^2 + e)$$

$$c_3 = 0$$

ذات الحل $c_0 = c_3 = 0$

$$c_1 = \frac{1}{5}(-e^3 + 6e^2 - 9e + 4) = 0.756852643 \quad \text{و} \quad c_2 = \frac{1}{5}(4e^3 - 9e^2 + 6e - 1) = 5.83006675$$

وحل بقية الثوابت يعطينا

$$b_0 = \frac{1}{h_0}(a_1 - a_0) - \frac{h_0}{3}(c_1 + 2c_0) = (e - 1) - \frac{1}{15}(-e^3 + 6e^2 - 9e + 4) = 1.465997614$$

$$b_1 = \frac{1}{h_1}(a_2 - a_1) - \frac{h_1}{3}(c_2 + 2c_1)$$

$$= (e^2 - e) - \frac{1}{15}(2e^3 + 3e^2 - 12e + 7) = 2.222850257$$

$$h_2 = \frac{1}{h_2}(a_3 - a_2) - \frac{h_2}{3}(c_3 + 2c_2)$$

$$= (e^3 - e^2) - \frac{1}{15}(8e^3 - 18e^2 + 12e - 2) = 8.809769651$$

$$d_0 = \frac{1}{3h_0}(c_1 - c_0) = \frac{1}{15}(-e^3 + 6e^2 - 9e + 4) = 0.252284214$$

$$d_1 = \frac{1}{3h_1}(c_2 - c_1) = \frac{1}{3}(e^3 - 3e^2 + 3e - 1) = 1.691071368$$

$$d_2 = \frac{1}{3h_2}(c_3 - c_1) = \frac{1}{15}(-4e^3 + 9e^2 - 6e + 1) = -1.943355583$$

المبينة في جدول (15.3).

d_j	c_j	b_j	a_j	x_j	j
0.252284214	0	1.465997614	1	0	0
1.691071368	0.756852643	2.222850257	2.718281828	1	1
-1.943355583	5.83006675	8.809769651	7.389056099	2	2
			20.08553692	3	3

جدول 15.3

ويعطي استخدام قيم تقريبية للتوابت الشريحة التكميلية الطبيعية من خلال الصيغة

$$\left. \begin{aligned} 0 \leq x < 1 \text{ إن كان } & 1 + 1.46600x + 0.25228x^3 \\ 1 \leq x < 2 \text{ إن كان } & 2.71828 + 2.22285(x-1) + 0.75685(x-1)^2 + 1.69107(x-1)^3 \\ 2 \leq x \leq 3 \text{ إن كان } & 7.38906 + 8.80977(x-2) + 5.83007(x-2)^2 - 1.94336(x-2)^3 \end{aligned} \right\} = S(x)$$

مجزأة الشريحة وتوافقها مع $f(x) = e^x$ المبين في شكل (9.3).

(ب) لتقريب تكامل f على $[0, 3]$ ذي القيمة

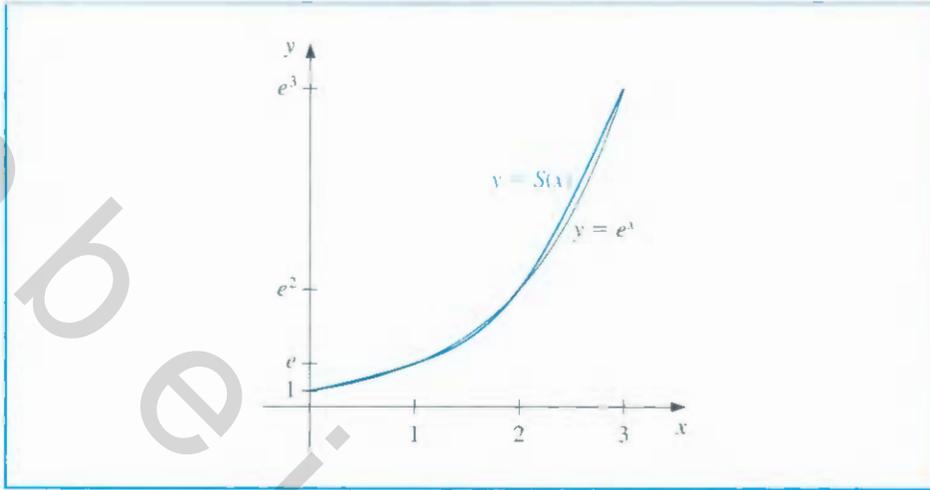
$$\int_0^3 e^x dx = e^3 - 1 = 20.08553692 - 1 = 19.08553692$$

نجمع الشريحة تجزيئياً لتعطي

$$\int_0^3 S(x) dx = \int_0^1 (1 + 1.46600x + 0.25228x^3) dx$$

$$+ \int_1^2 (2.71828 + 2.22285(x-1) + 0.75685(x-1)^2 + 1.69107(x-1)^3) dx$$

$$+ \int_2^3 (7.38906 + 8.80977(x-2) + 5.83007(x-2)^2 - 1.94336(x-2)^3) dx$$



شكل 9.3

وبتكامل القيم ذات القوى المتشابهة وتجميعها نحصل على

$$\begin{aligned} \int_0^3 S(x) dx &= x + 1.46600 \frac{x^2}{2} + 0.25228 \frac{x^3}{3} \Big|_0^1 \\ &+ 2.71828(x-1) + 2.22285 \frac{(x-1)^2}{2} + 0.75685 \frac{(x-1)^3}{3} + 1.69107 \frac{(x-1)^4}{4} \Big|_1^2 \\ &+ 7.38906(x-2) + 8.80977 \frac{(x-2)^2}{2} + 5.83007 \frac{(x-2)^3}{3} - 1.94336 \frac{(x-2)^4}{4} \Big|_2^3 \\ &= (1 + 2.71828 + 7.38906) + \frac{1}{2} (1.46600 + 2.22285 + 8.80977) \\ &+ \frac{1}{3} (0.75685 + 5.83007) + \frac{1}{4} (0.25228 + 1.69107 - 1.94336) \\ &= 19.55228750 \end{aligned}$$

وبسبب التباعد المتساوي ما بين النقاط في هذا المثال. فالتقريب التكاملي هو

$$\int_0^3 S(x) dx = (a_0 + a_1 + a_2) + \frac{1}{2}(b_0 + b_1 + b_2) + \frac{1}{3}(c_0 + c_1 + c_2) + \frac{1}{4}(d_0 + d_1 + d_2)$$

وفي حالة الشروط الحدودية المتشابهة لدينا نتيجة مشابهة لمبرهنة الشروط الحدودية الطبيعية الموضحة في المبرهنة (11.3).

مبرهنة 12.3 إذا كانت f معرفة عند $a = x_0 < x_1 < \dots < x_n = b$ وقابلة للاشتقاق عند a و b فإن

لـ f استكمالاً داخلياً متشابكاً وحيداً للشريحة S عند النقاط x_0, x_1, \dots, x_n ، بمعنى أن استكمالاً

داخلياً للشريحة يحقق الشروط الحدودية $f'(a) = S'(a)$ و $f'(b) = S'(b)$.

البرهان بما أن $f'(a) = S'(a) = S'(x_0) = b_0$ مع $j = 0$

$$f'(a) = \frac{1}{h_0}(a_1 - a_0) - \frac{h_0}{3}(2c_0 + c_1)$$

وبناءً على ذلك

$$2h_0c_0 + h_0c_1 = \frac{3}{h_0}(a_1 - a_0) - 3f'(a)$$

وبالمثل

$$f'(b) = b_n = b_{n-1} + h_{n-1}(c_{n-1} + c_n)$$

لذا فالصيغة (20.3) مع $j = n - 1$ تعطي

$$\begin{aligned} f'(a) &= \frac{a_n - a_{n-1}}{h_{n-1}} - \frac{h_{n-1}}{3}(2c_{n-1} + c_n) + h_{n-1}(c_{n-1} + c_n) \\ &= \frac{a_n - a_{n-1}}{h_{n-1}} + \frac{h_{n-1}}{3}(c_{n-1} + 2c_n) \end{aligned}$$

و

$$h_{n-1}c_{n-1} + 2h_{n-1}c_n = 3f'(b) - \frac{3}{h_{n-1}}(a_n - a_{n-1})$$

تحدد الصيغة (21.3) والصيغ معاً

$$2h_0c_0 + h_0c_1 = \frac{3}{h_0}(a_1 - a_0) - 3f'(a)$$

و

$$h_{n-1}c_{n-1} + 2h_{n-1}c_n = 3f'(b) - \frac{3}{h_{n-1}}(a_n - a_{n-1})$$

النظام الخطي $Ax = b$ ، حيث

$$A = \begin{bmatrix} 2h_0 & h_0 & 0 & \dots & 0 \\ h_0 & 2(h_0 + h_1) & h_1 & \dots & 0 \\ 0 & h_1 & 2(h_1 + h_2) & \dots & 0 \\ \vdots & \vdots & \vdots & \ddots & \vdots \\ 0 & \dots & \dots & h_{n-2} & 2(h_{n-2} + h_{n-1}) \\ 0 & \dots & \dots & \dots & h_{n-1} & 2h_{n-1} \end{bmatrix}$$

$$b = \begin{bmatrix} \frac{3}{h_0}(a_1 - a_0) - 3f'(a) \\ \frac{3}{h_1}(a_2 - a_1) - \frac{3}{h_0}(a_1 - a_0) \\ \vdots \\ \frac{3}{h_{n-1}}(a_n - a_{n-1}) - \frac{3}{h_{n-2}}(a_{n-1} - a_{n-2}) \\ 3f'(b) - \frac{3}{h_{n-1}}(a_n - a_{n-1}) \end{bmatrix}$$

و $x = \begin{bmatrix} c_0 \\ c_1 \\ \vdots \\ c_n \end{bmatrix}$

يغلب على المصفوفة A سمة القطرية. ولذلك فإنها تفي بفرضيات المبرهنة (19.6). من ثم فإن للنظام الخطي حلاً واحداً لـ c_0, c_1, \dots, c_n .

يمكن إيجاد حل مسألة الشريحة التكعيبية مع الشروط الحدودية $S'(x_0) = f'(x_0)$ و $S'(x_n) = f'(x_n)$ من خلال تطبيق الخوارزمية (5.3).

الشريحة التكعيبية المتشابكة Clamped Cubic Spline

لإنشاء الاستكمال الداخلي للشريحة التكعيبية S الخاص بالدالة f . معرفاً عند الأعداد $x_0 < x_1 < \dots < x_n$

$$\text{ولتحقق } S'(x_n) = f'(x_n) \text{ و } S'(x_0) = f'(x_0)$$

$$\text{المدخلات: } n; x_0, x_1, \dots, x_n; a_0 = f(x_0), a_1 = f(x_1), \dots, a_n = f(x_n)$$

المخرجات: a_j, b_j, c_j, d_j لكل $j = 0, 1, \dots, n-1$

إرشاد:

$$S(x) = S_j(x) = a_j + b_j(x - x_j) + c_j(x - x_j)^2 + d_j(x - x_j)^3 \text{ لكل } x_j \leq x \leq x_{j+1}$$

الخطوة	المضمون
1	عند $i = 0, 1, \dots, n-1$ ضع $h_i = x_{i+1} - x_i$
2	ضع $\alpha_0 = 3(a_1 - a_0)/h_0 - 3FPO$ $\alpha_n = 3FPN - 3(a_n - a_{n-1})/h_{n-1}$
3	عند $i = 1, 2, \dots, n-1$ ضع $\alpha_i = \frac{3}{h_i}(a_{i+1} - a_i) - \frac{3}{h_{i-1}}(a_i - a_{i-1})$
4	ضع $l_0 = 2h_0$ (تنفذ الخطوات 4.5, 6.5 وجزء من الخطوة 7 نظاماً خطياً ثلاثي القطر باستخدام طريقة موضحة في الخوارزمية (7.6).) $\mu_0 = 0.5$ $z_0 = \alpha_0/l_0$
5	عند $i = 1, 2, \dots, n-1$ ضع $l_i = 2(x_{i+1} - x_{i-1}) - h_{i-1}\mu_{i-1}$ $\mu_i = h_i/l_i$ $z_i = (\alpha_i - h_{i-1}z_{i-1})/l_i$
6	ضع $l_n = h_{n-1}(2 - \mu_{n-1})$ $z_n = (\alpha_n - h_{n-1}z_{n-1})/l_n$ $c_n = z_n$
7	عند $j = n-1, n-2, \dots, 0$ ضع $c_j = z_j - \mu_j c_{j+1}$ $b_j = (a_{j+1} - a_j)/h_j - h_j(c_{j+1} + 2c_j)/3$ $d_j = (c_{j+1} - c_j)/(3h_j)$
8	المخرجات (a_j, b_j, c_j, d_j) لـ $j = 0, 1, \dots, n-1$ توقف.

ALGORITHM

الخوارزمية

5.3

مثال 2 استخدمنا في المثال (1) شريحة طبيعية ونقاط البيانات $(0, 1), (1, e), (2, e^2), (3, e^3)$ تكوين دالة تقريب $S(x)$ إلى $f(x) = e^x$ ، ومن ثم استخدمناه لتقريب $\int_0^3 e^x dx$. سيف نقارن في هذا المثال بين أ. الشريحة المتشابهة لهذه الدالة على $[0, 3]$ وب. تقريب التكامل المعطى من خلال تكامل الشريحة المتشابهة.

أ. مرة أخرى لدينا $n = 3, h_0 = h_1 = h_2 = 1, a_0 = 0, a_1 = e, a_2 = e^2, a_3 = e^3$ ولدينا $f'(x) = e^x$ ، وأخيراً $f'(0) = 1$ و $f'(3) = e^3$. وعندئذ فإن المصفوفة A والمتجه b و x مبينة أدناه في البرهنة (12.3):

$$x = \begin{bmatrix} 0 \\ 1 \\ 2 \\ 3 \end{bmatrix} \quad \text{و} \quad A = \begin{bmatrix} 2 & 1 & 0 & 0 \\ 1 & 4 & 1 & 0 \\ 0 & 1 & 4 & 1 \\ 0 & 0 & 1 & 2 \end{bmatrix}, \quad b = \begin{bmatrix} 3(e-2) \\ 3(e^2-2e+1) \\ 3(e^3-2e^2+e) \\ 3e^2 \end{bmatrix}$$

وصيغة مصفوفة المتجه $Ax = b$ مكافئة لنظام الصيغ

$$2c_0 + c_1 = 3(e-2)$$

$$c_0 + 4c_1 + c_2 = 3(e^2 - 2e + 1)$$

$$c_1 + 4c_2 + c_3 = 3(e^3 - 2e^2 + e)$$

$$c_2 + 2c_3 = 3e^2$$

ويحل هذا النظام لـ c_0, c_1, c_2, c_3 آتياً نحصل على

$$c_0 = \frac{1}{15}(2e^3 - 12e^2 + 42e - 59)$$

$$c_1 = \frac{1}{15}(-4e^3 + 24e^2 - 65e + 28)$$

$$c_2 = \frac{1}{15}(14e^3 - 39e^2 + 24e - 8)$$

$$c_3 = \frac{1}{15}(-7e^3 + 42e^2 - 12e + 4)$$

ويحل بقية الثوابت بالأسلوب نفسه في المثال (1) نحصل على

$$b_0 = 1.00000000, \quad b_1 = 2.70446053, \quad b_2 = 0.34932619,$$

$$d_0 = 0.26789687, \quad d_1 = 0.71223817, \quad d_2 = 1.95636455.$$

ونشاهد النتائج الكاملة في جدول (16.3).

c_j	c_j	b_j	a_j	x_j	j
0.26789687	0.45038496	1	1	0	0
0.71223817	1.25407557	2.70446053	2.718281828	1	1
1.95636455	3.39079008	7.34932619	7.389056099	2	2
			20.08553692	3	3

جدول 16.3

وباستخدام قيم تقريبية للثوابت نحصل على الشريحة التكعيبية المتشابهة الموصحة من خلال الصيغة المجزأة

$$\left. \begin{aligned} 0 \leq x < 1 & \quad 1 + x + 0.45038x^2 + 0.26790x^3 \\ 1 \leq x < 2 & \quad 2.71828 + 2.70446(x-1) + 1.25408(x-1)^2 + 0.71224(x-1)^3 \\ 2 \leq x \leq 3 & \quad 7.38906 + 7.34933(x-2) + 3.39079(x-2)^2 + 1.95636(x-2)^3 \end{aligned} \right\} = S(x)$$

وإن الرسم البياني للشريحة المتشابكة و $f(x) = e^x$ متشابهان تماماً إلى رتبة عدم وجود أي فرق.

ب. لتقريب تكامل f على $[0, 3]$ الذي قيمته

$$\int_0^3 e^x dx = e^3 - 1 \approx 20.08553692 - 1 = 19.08553692$$

نجرى تكامل الشريحة المتشابكة. وعلى صورة المثال السابق. يمكننا استخدام حقيقة كون النقاط متساوية التباعد لنستنتج أن

$$\int_0^3 S(x) dx = (a_0 + a_1 + a_2) + \frac{1}{2}(b_0 + b_1 + b_2) \\ + \frac{1}{3}(c_0 + c_1 + c_2) + \frac{1}{4}(d_0 + d_1 + d_2)$$

لذا فإن تقريب التكامل هو

$$\int_0^3 S(x) dx = (1 + 2.71828 + 7.38906) + \frac{1}{2}(1 + 2.70446 + 7.34933) \\ + \frac{1}{3}(0.45038 + 1.25408 + 3.39079) \\ + \frac{1}{4}(0.26790 + 0.71224 + 1.95636) \\ = 19.06677.$$

الخطأ المطلق في تقريب التكامل باستخدام الشريحتين المتشابكتين (Clamped) والطبيعي (Natural)

هو

$$\text{Natural: } |19.08554 - 19.55229| = 0.46675$$

$$\text{Clamped: } |19.08554 - 19.06677| = 0.01877$$

عندئذ ولأغراض التكامل. فإن الشريحة المتشابكة أحسن بكثير. وعلينا ألا نفاجأ بذلك، لأن الشروط الحدودية للشريحة المتشابكة تكون على نحو محكم. أما في الشريحة الطبيعية فإننا نفترض، ولكون $f''(x) = e^x$ أن

$$0 = S''(x) \approx f''(0) = e^0 = 1$$

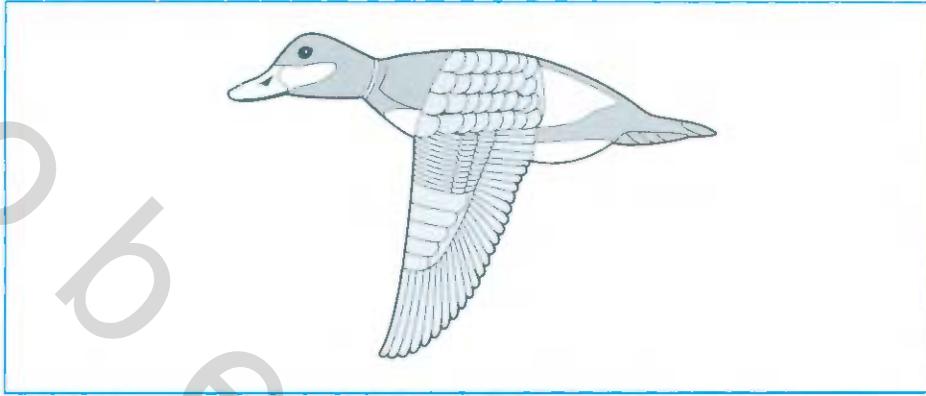
و

$$0 = S''(3) \approx f''(3) = e^3 \approx 20$$

ويستخدم المثال الآتي الشريحة لتقريب منحنى ليس له تمثيل دالي.

مثال 3

يبين الشكل (10.3) البطة الحمراء في حالة طيران. لتقريب المخطط العلوي للبطة، اخترنا نقاطاً على امتداد المنحنى عبر المواضع التي نرغب في أن يمر بها المنحنى المقرب. ويبيّن جدول (17.3) إحداثيات 21 نقطة مقارنة بنظام الإحداثيات المبين في شكل (11.3). لاحظ استخدام نقاط إضافية عندما يتغير المنحنى بسرعة أكبر مما لو تغير ببطء.

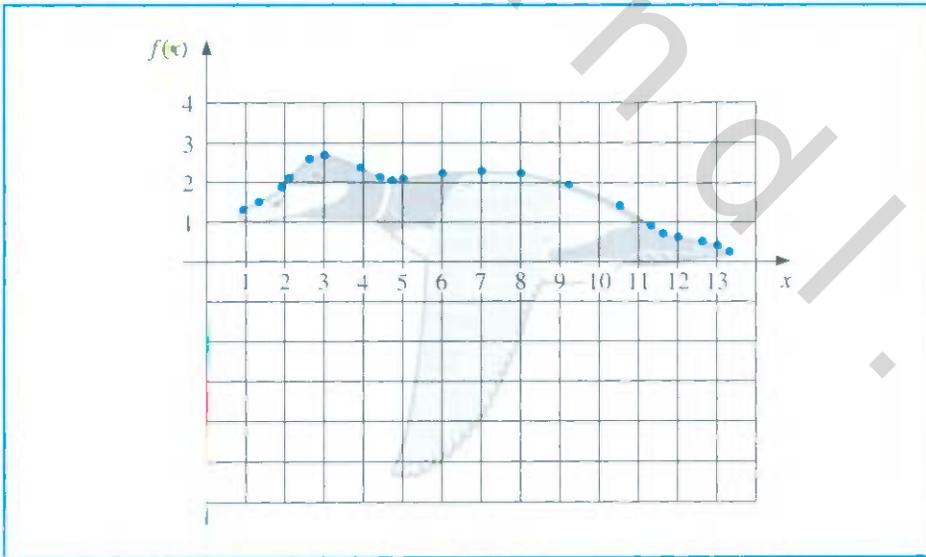


شكل 10.3

جدول 17.3

13.3	13.0	12.6	12.0	11.6	11.3	10.5	9.2	8.0	7.0	6.0	5.0	4.7	4.4	3.9	3.0	2.6	2.1	1.9	1.3	0.9	x
0.25	0.4	0.5	0.6	0.7	0.9	1.4	1.95	2.25	2.3	2.25	2.1	2.05	2.15	2.4	2.7	2.6	2.1	1.85	1.5	1.3	$f(x)$

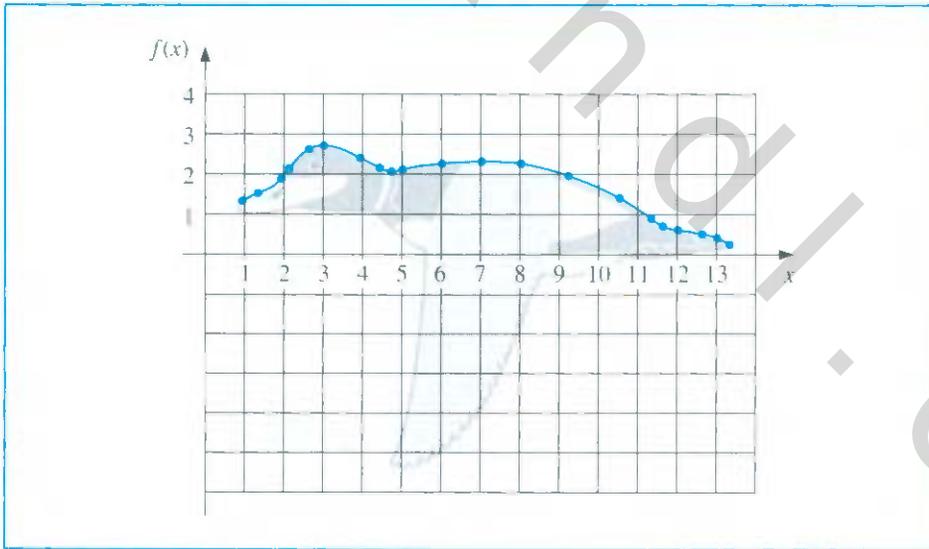
باستخدام الخوارزمية (4.3) لتوليد الشريحة التكميلية الحرة لهذه البيانات نحصل على المعطيات المبينة في الجدول (18.3). ومنحنى الشريحة هذا مشابه تقريبا للمخطط الموضح في شكل (12.3).



شكل 11.3

جدول 183

d_j	c_j	b_j	a_j	x_j	j
-0.25	0.00	5.44	1.3	0.9	0
0.95	-0.30	0.42	1.5	1.3	1
-2.96	1.41	1.09	1.85	1.9	2
-0.45	-0.37	1.29	2.1	2.1	3
0.45	-1.04	0.59	2.6	2.6	4
0.17	-0.50	-0.02	2.7	3.0	5
0.08	-0.03	-0.50	2.4	3.9	6
1.31	0.08	-0.48	2.15	4.4	7
-1.58	1.27	-0.07	2.05	4.7	8
0.04	-0.16	0.26	2.1	5.0	9
0.00	-0.03	0.08	2.25	6.0	10
-0.02	-0.04	0.01	2.3	7.0	11
0.02	-0.11	-0.14	2.25	8.0	12
-0.01	-0.05	-0.34	1.95	9.2	13
-0.02	-0.10	-0.53	1.4	10.5	14
1.21	-0.15	-0.73	0.9	11.3	15
-0.84	0.94	-0.49	0.7	11.6	16
0.04	-0.06	-0.14	0.6	12.0	17
-0.45	0.00	-0.18	0.5	12.6	18
0.60	-0.54	-0.39	0.4	13.0	19
			0.25	13.3	20



شكل 3.12

يعطي شكل (13.3) توضيحاً للمنحنى الذي وُلد مستخدماً كثيرة حدود جرانج للاستكمال الداخلي لتوفيق البيانات في جدول (17.3). وتتكوّن كثيرة حدود الاستكمال الداخلي في هذه الحالة من الرتبة 20. وتتغير بحدّة منتجة توضيحاً غريباً جدّاً لظهر لبطة سواءً عند طرّانها أو غير ذلك.



شكل 13.3

ولاستخدام الشريحة المتشابكة لتقريب هذا المنحنى، سنحتاج إلى تقريبات اشتقاقية للنهايات. وحتى لو توافرت هذه التقريبات، يمكننا توقّع تحسن طفيف؛ بسبب التوافق الكبير ما بين الشريحة التكميلية الحرّة ومنحنى أعلى المخطط.

■ إن إنشاء أهدود متشابك لتقريب أسفل المخطط للبطة الحمراء سيكون أصعب؛ لأن منحنى هذا الجزء لا يمكن صياغته على شكل دالة لـ x . وعند نقاط معينة لا يظهر المنحنى على نحو متّسق. ويمكن حل المشاكل باستخدام شرائح منفصلة لتمثيل نقاط مختلفة للمنحنى، ولكن الحل الأكثر فاعلية لمنحنيات من هذا النوع سنتناوله في الفصل الآتي.

شروط الحدود المتشابكة عموماً هي المفضلة عندما تُقَرَّب الدوال من خلال الشرائح التكميلية، لذا يجب تقدير مشتقة الدالة عند نهايات الفترة، وعند تساوي التباعد ما بين النقاط بالقرب من النهايتين. ويمكن إيجاد تقريبات باستخدام الصيغة (7.4) أو أيّ من الصيغ الأخرى المناسبة المذكورة في الفصلين (1.4 و 2.4). وعند عدم تساوي التباعد ما بين النقاط، فإن المسألة تعدّ أصعب.

وكي نختم هذا الفصل، فإننا ندرج صيغة حد الخطأ للشريحة التكميلية مع الشروط الحدودية المتشابكة. ويمكن إيجاد برهان هذه النتيجة في [Schul, pp. 57–58].

مبرهنة 13.3 ليكن $f \in C^4[a, b]$ وليكن $\max_{a \leq x \leq b} |f^{(4)}(x)| = M$. إذا كان S استكمالاً داخلياً للشريحة التكعيبية المتشابكة الوحيدة لـ f بالنسبة إلى النقاط $a = x_0 < x_1 < \dots < x_n = b$ ، فإنه لكل

$$|f(x) - S(x)| \leq \frac{5M}{384} \max_{0 \leq j \leq n-1} (x_{j+1} - x_j)^4$$

في $[a, b]$ يكون لدينا وينتج أيضاً حد خطأ من الرتبة الرابعة، وينتج أيضاً في حالة الشروط الحدودية الحرة، ولكن من الصعوبة صياغتها. (انظر [BD, pp. 827–835].)

ستعطي الشروط الحدودية الحرة نتائج أقل دقة مقارنةً بالشروط المتشابكة قرب طرفي الفترة $[x_0, x_n]$ ما لم تكن الدالة f مقتربة من تحقيق $f''(x_0) = f''(x_n) = 0$ ثمة بديل للشرط الحدودي الحر - ولا يتطلب معلومات عن مشتقة f - هو شرط اللاعقدة *not-a-knot* انظر ([Deb2, pp. 55–56]). وهذا الشرط يتطلب كون $S'''(x)$ متصلة عند x_1 وعند x_{n-1} .

EXERCISE SET

مجموعة التمارين 4.3

- حدّد الشريحة التكعيبية الحرة S التي تستكمل داخلياً البيانات $f(0) = 0, f(1) = 1, f(2) = 2$.
- حدّد الشريحة التكعيبية المتشابكة S التي تستكمل داخلياً البيانات $f(0) = 0, f(1) = 1, f(2) = 2$ وتحقق $s'(0) = s'(2) = 1$.

3. أنشئ الشريحة التكعيبية الحرة للبيانات الآتية:

x	$f(x)$	ب.	x	$f(x)$	أ.
0.8	0.22363362		8.3	17.56492	
1.0	0.65809197		8.6	18.50515	
x	$f(x)$	د.	x	$f(x)$	ج.
0.1	-0.62049958		-0.5	-0.0247500	
0.2	-0.28398668		-0.25	0.3349375	
0.3	0.00660095		0	1.1010000	
0.4	0.24842440				

4. أنشئ الشريحة التكعيبية الحرة للبيانات الآتية:

x	$f(x)$	ب.	x	$f(x)$	أ.
-0.25	1.33203		0	1.00000	
0.25	0.800781		0.5	2.71828	
x	$f(x)$	د.	x	$f(x)$	ج.
-1	0.86199480		0.1	-0.29004996	
-0.5	0.95802009		0.2	-0.56079734	
0	1.0986123		0.3	-0.81401972	
0.5	1.2943767				

- نتجت البيانات في التمرين (3) باستخدام الدوال الآتية، استخدم الشرائح التكعيبية التي أنشئت في التمرين (3) لقيم x المبينة لتقريب $f(x)$ و $f'(x)$ ، واحسب الخطأ الحقيقي:

أ. $f(x) = x \ln x$ والتقريب إلى $f(8.4)$ و $f'(8.4)$

ب. $f(x) = \sin(e^x - 2)$ والتقريب إلى $f(0.9)$ و $f'(0.9)$

ج. $f(x) = x^3 + 4.001x^2 + 4.002x + 1.101$ والتقريب إلى $f(-\frac{1}{3})$ و $f'(-\frac{1}{3})$

د. $f(x) = x \cos x - 2x^2 + 3x - 1$ والتقريب إلى $f(0.25)$ و $f'(0.25)$

6. نتجت البيانات في التمرين (3) باستخدام الدوال الآتية. استخدم الشرائح التكميلية التي

أنشئت في التمرين (3) لقيم x المبينة لتقريب $f(x)$ و $f'(x)$ ، واحسب الخطأ لحقيقي:

أ. $f(x) = e^{2x}$ والتقريب إلى $f(0.43)$ و $f'(0.43)$

ب. $f(x) = x^4 - x^3 + x^2 - x + 1$ والتقريب إلى $f(0)$ و $f'(0)$

ج. $f(x) = x^2 \cos x - 3x$ والتقريب إلى $f(0.18)$ و $f'(0.18)$

د. $f(x) = \ln(e^x + 2)$ والتقريب إلى $f(0.25)$ و $f'(0.25)$

7. أنشئ الشريحة التكميلية المتشابهة مستخدماً بيانات التمرين (4) وحقيقة كون:

أ. $f'(8.6) = 1.151762$ و $f'(8.3) = 1.116256$

ب. $f'(1.0) = 2.0466965$ و $f'(0.8) = 2.1691753$

ج. $f'(0) = 4.0020000$ و $f'(-0.5) = 0.7510000$

د. $f'(0.4) = 2.16529366$ و $f'(0.1) = 3.58502082$

8. أنشئ الشريحة التكميلية المتشابهة مستخدماً بيانات التمرين (4) وحقيقة كون:

أ. $f'(0.5) = 5.43656$ و $f'(0) = 2$

ب. $f'(0.25) = -0.625000$ و $f'(-0.25) = 0.437500$

ج. $f'(0.3) = -2.4533949$ و $f'(0.1) = -2.8004996$

د. $f'(0.5) = 0.45186276$ و $f'(-1) = 0.15536240$

9. كرر التمرين (5) مستخدماً الشرائح التكميلية المتشابهة التي أنشئت في التمرين (7).

10. كرر التمرين (6) مستخدماً الشرائح التكميلية المتشابهة التي أنشئت في التمرين (8).

11. تعرّف شريحة تكميلية طبيعية S على $[0, 2]$ من خلال

$$\left. \begin{array}{l} 0 \leq x < 1 \text{ إذا كان } S_0(x) = 1 + 2x - x^3 \\ 1 \leq x \leq 2 \text{ إذا كان } S_1(x) = 2 + b(x-1) + c(x-1)^2 + d(x-1)^3 \end{array} \right\} = S(x)$$

جد b, c, d .

12. تعرّف شريحة تكميلية متشابهة S للدالة f على $[1, 3]$ من خلال

$$\left. \begin{array}{l} 1 \leq x < 2 \text{ إذا كان } s_0(x) = 3(x-1) + 2(x-1)^2 - (x-1)^3 \\ 2 \leq x \leq 3 \text{ إذا كان } s_1(x) = a + b(x-2) + c(x-2)^2 + d(x-2)^3 \end{array} \right\} = s(x)$$

فإذا كان $f'(1) = f'(3)$ فجد a, b, c, d .

13. تعرّف شريحة تكميلية طبيعية S من خلال

$$\left. \begin{array}{l} 1 \leq x < 2 \text{ إذا كان } S_0(x) = 1 + B(x-1) - D(x-1)^3 \\ 2 \leq x \leq 3 \text{ إذا كان } S_1(x) = 1 + b(x-2) - \frac{3}{4}(x-2)^2 + d(x-2)^3 \end{array} \right\} = S(x)$$

فإذا كان S يستكمل البيانات داخلياً $(1, 1), (2, 1), (3, 0)$ فأوجد B, D, b, d .

14. تعرّف شريحة تكعيبية متشابكة S الخاص بالدالة f من خلال

$$\left. \begin{aligned} 0 \leq x < 1 \text{ إذا كان } s_0(x) &= 1 + Bx + 2x^2 - 2x^3 \\ 1 \leq x \leq 2 \text{ إذا كان } s_1(x) &= 1 + b(x-1) - 4(x-1)^2 + 7(x-1)^3 \end{aligned} \right\} = s(x)$$

أوجد $f'(0)$ و $f'(2)$.

15. أنشئ شريحة تكعيبية حرّة لتقريب $f(x) = \cos \pi x$ مستخدماً القيم المعطاة من خلال $f(x)$ عند $x = 0, 0.25, 0.5, 0.75, 1.0$.

أ. أنشئ تكاملاً للشريحة على امتداد $[0, 1]$. وقرّن النتيجة بـ $\int_0^1 \cos \pi x dx = 0$.

ب. استخدم مشتقات الشريحة لتقريب $f'(0.5)$ و $f''(0.5)$ ، وقرّن هذه التقريبات بالقيم الحقيقية.

16. أنشئ شريحة تكعيبية حرّة لتقريب $f(x) = e^{-x}$ باستخدام القيم المعطاة من خلال $f(x)$ عند $x = 0, 0.25, 0.5, 0.75, 1.0$.

أ. أنشئ تكاملاً للشريحة على امتداد $[0, 1]$. وقرّن النتيجة بـ $\int_0^1 e^{-x} dx = 1 - 1/e$.

ب. استخدم مشتقات الشريحة لتقريب $f'(0.5)$ و $f'''(0.5)$ ، وقرّن هذه التقريبات بالقيم الحقيقية.

17. كرّر التمرين (15) بإنشاء شريحة تكعيبية متشابكة بدلاً من حرّة مستخدماً $f'(0) = f'(1) = 0$.

18. كرّر التمرين (16) بإنشاء شريحة تكعيبية متشابكة بدلاً من حرّة مستخدماً $f'(0) = -1$ ، $f'(1) = -e^{-1}$.

19. افترض أن $f(x)$ كثيرة حدود من الرتبة 3. أثبت أن $f(x)$ هي شريحتها التكعيبية المتشابكة نفسها. لكن لا يمكن أن تكون شريحتها التكعيبية الحرّة.

20. افترض أن البيانات $\{(x_i, f(x_i))\}_{i=0}^n$ تقع على خط مستقيم. ما الذي يمكن قوله حول الشريحتين التكعيبيتين الحرّة والمتشابكة للدالة f ؟ إرشاد: خذ تلميحاتاً عن نتائج التمرينين (1 و 2).

21. مفترضين التقسيمات $x_0 = 0, x_1 = 0.05, x_2 = 0.1$ أوجد دالة استكمال داخلي خطي مجزأً F إلى $f(x) = e^{2x}$. قرّب $\int_0^{0.1} e^{2x} dx$ بـ $\int_0^{0.1} F(x) dx$ ، وقرّن النتائج بالقيمة الحقيقية.

22. ليكن $f \in C^2[a, b]$ ولتكن النقاط $a = x_0 < x_1 < \dots < x_n = b$ معلومة. اشتقّ تقديراً للخطأ مشابهاً لما في المبرهنة (13.3)، لدالة استكمال داخلي خطي مجزأً f . استخدم هذا التقدير لاشتقاق حدود خطأ من التمرين (21).

23. أنشئ توسيعاً للخوارزميات (4.3) و (5.3) لتشمل -ضمن المخرجات- المشتقتين الأولى والثانية للشريحة عند النقاط.

24. أنشئ توسيعاً للخوارزميتين (4.3) و (5.3) لتشمل -ضمن المخرجات- تكامل الشريحة على امتداد الفترة $[x_0, x_n]$.

25. مفترضين التقسيمات $x_0 = 0, x_1 = 0.05, x_2 = 0.1$ و $f(x) = e^{2x}$:

أ. أوجد الشريحة التكعيبية S مع الشروط الحدودية المتشابكة التي تستكمل داخلياً f .

ب. أوجد تقريباً إلى $\int_0^{0.1} e^{2x} dx$ من خلال حساب $\int_0^{0.1} s(x) dx$.

ج. استخدم المبرهنة (13.3) لتقدير $\max_{0 \leq x \leq 0.1} |f(x) - s(x)|$ و $\left| \int_0^{0.1} f(x) dx - \int_0^{0.1} s(x) dx \right|$.

د. حدّد الشريحة التكعيبية S مع شروط حدودية حرّة، وقارن $S(0.02)$ ، $e^{0.04} = 1.04081077$ ، وقارن $S(0.02)$ ، $e^{0.04} = 1.04081077$ ، ولتكن الدالة f معرفة على $[a, b]$ ، ولتكن النقاط $a = x_0 < x_1 < x_2 = b$ معلومة. أثبت أن

دالة شريحة الاستكمال الداخلي التربيعية S تتشكل من كثيرة حدود تربيعية

$$S_0(x) = a_0 + b_0(x - x_0) + c_0(x - x_0)^2 \quad \text{في } [x_0, x_1]$$

$$S_1(x) = a_1 + b_1(x - x_1) + c_1(x - x_1)^2 \quad \text{في } [x_1, x_2]$$

بحيث

$$S(x_0) = f(x_0), S(x_1) = f(x_1) \quad \text{و} \quad S(x_2) = f(x_2) \quad \text{(i)}$$

$$S \in C^1[x_0, x_2] \quad \text{(ii)}$$

أثبت أن الشرطين (i) و (ii) يؤديان إلى خمس صيغ في ستة مجاهيل $a_0, b_0, c_0, a_1, b_1, c_1$

تكمّن المشكلة في تقرير الشرط الإضافي الذي نفترضه لجعل الحل وحيثاً. فهل الشرط

$S \in C^2[x_0, x_2]$ يؤدي إلى حل ذي معنى؟

27. استخدم التمرين (26) لتحديد شريحة تكعيبية S تستكمل داخلياً البيانات $f(1) = 1, f(0) = 0$

$$f(2) = 2 \quad \text{و} \quad f'(0) = 2$$

28. أ. تضمّنّت مقدمة هذا الباب جدولاً يضم عدد السكان للولايات المتحدة للأعوام 1940 إلى

1990. استخدم استكمالاً داخلياً للشريحة التكعيبية لتقريب عدد السكان في السنوات 1930

و 1965 و 2010.

ب. عدد السكان عام 1930 كان تقريباً 123,203,000. فما دقة أرقام السنتين 1965 و 2010؟

29. تتحرك سيارة على طريق مستقيم. وتسجل بياناتها عند نقاط كثيرة. وتظهر هذه البيانات

في الجدول الآتي، حيث يظهر الزمن (Time) بالثانية، المسافة (Distance) بالقدم، والسرعة

الوقت	0	3	5	8	13
المسافة	0	225	383	623	993
السرعة	75	77	80	74	72

أ. استخدم شريحة تكعيبية متشابكة لتخمين موقع السيارة وسرعتها عند الثانية العشرة

$$t = 10 \text{ s}$$

ب. استخدم مشتقة الشريحة لتحديد ما إذا كان يمكن للسيارة أن تتجاوز سرعة 55-mi/h على

الطريق. وإذا كان ذلك فما المرة الأولى التي تتجاوز فيها السيارة هذه السرعة؟

ج. ما السرعة القصوى المتوقعة لهذه السيارة؟

30. فاز حصان يدعى Smart Jones في سباق الخيول (Kentucky Derby) لعام 2004 في وقت

2:04.06 (دقيقتين و 4.06) في سباق 1.25 ميل. والزمن عند نقطة (علامة) ربع الميل، نصف الميل،

والميل، كانت 0:22.99 و 0:46.73 و 1:37.35 على التوالي.

أ. استخدم هذه القيم معاً عند وقت الانطلاق لإنشاء شريحة تكعيبية حرّة سباق Smart Jones.

ب. استخدم الشريحة لتخمين الزمن عند نقطة ثلاثة أرباع الميل، وقارن ذلك بالزمن الحقيقي

$$1:11.80$$

ج. استخدم الشريحة لتقريب سرعة انطلاق Smart Jones وسرعته عند خط النهاية.

31. من المعتقد أن الكميات العالية من حمض التنتلك في أوراق أشجار البُوط البالغة تعيق سو

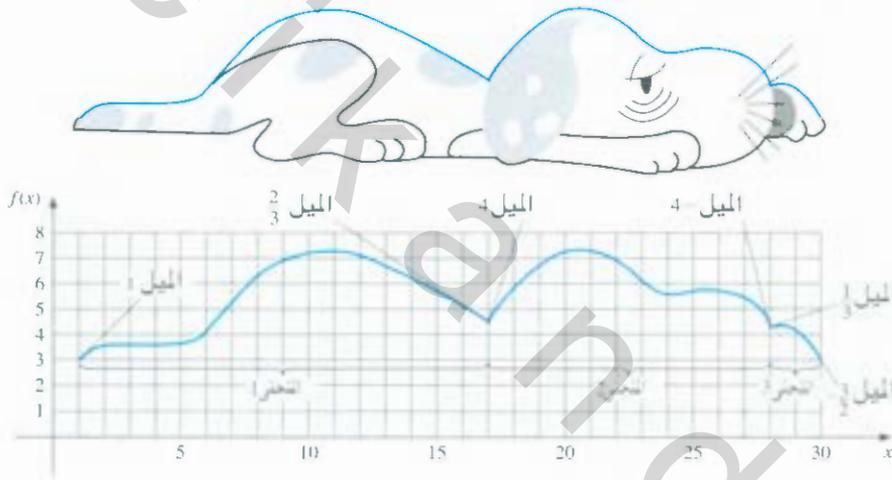
يرقات عثة الشتاء (*Operophtera bromata* L., *Geometridae*) التي تؤذي هذه الأشجار كثيراً في

سنوات معينة. يبين الجدول الآتي معدل وزن عينتين من هذه اليرقات خلال الأيام 28 الأولى

بعد ولادتها. أخذت العينة الأولى من يرقات تربت على أوراق بلوط طرية (حديثة)، حيث تربت العينة الثانية على أوراق بالغة (عتيقة) من نفس الشجرة.
 أ. استخدم شريحة تكعيبية حرّة لتقريب منحنى معدل الوزن لكل عينة.
 ب. أوجد أعلى معدل وزن تقريبي لكل عينة من خلال إيجاد القيمة القصوى للشريحة.

اليوم	0	6	10	13	17	20	28
معدل وزن العينة (2) باللجم	6.67	17.33	42.67	37.33	30.10	29.31	28.74
معدل وزن العينة (1) باللجم	6.67	16.11	18.89	15.00	10.56	9.44	8.89

32. طلب تقدير الجزء العلوي من هذا الوحش الأرسقراطي باستخدام استكمالات داخلية لشريحة تكعيبية متشابكة. وقد رسم المنحنى على مخطط شبكي، وبني الجدول منه. استخدم الخوارزمية (5.3) لإنشاء الشرائح التكعيبية المتشابكة الثلاثة.



المنحنى 3				المنحنى 2				المنحنى 1			
$f(x_i)$	$f(x_{i+1})$	x_i	i	$f(x_i)$	$f(x_{i+1})$	x_i	i	$f'(x_i)$	$f(x_i)$	x_i	i
0.33	4.1	27.7	0	3.0	4.5	17	0	1.0	3.0	1	0
	4.3	28	1		7.0	20	1		3.7	2	1
	4	29	2		6.1	23	2		3.9	5	2
					5.6	24	3		4.2	6	3
-1.5	3.0	30	3		5.8	25	4		5.7	7	4
					5.2	27	5		6.6	8	5
				-4.0	4.1	27.7	6		7.1	10	6
									6.7	13	7
									-0.67	4.5	17
											8

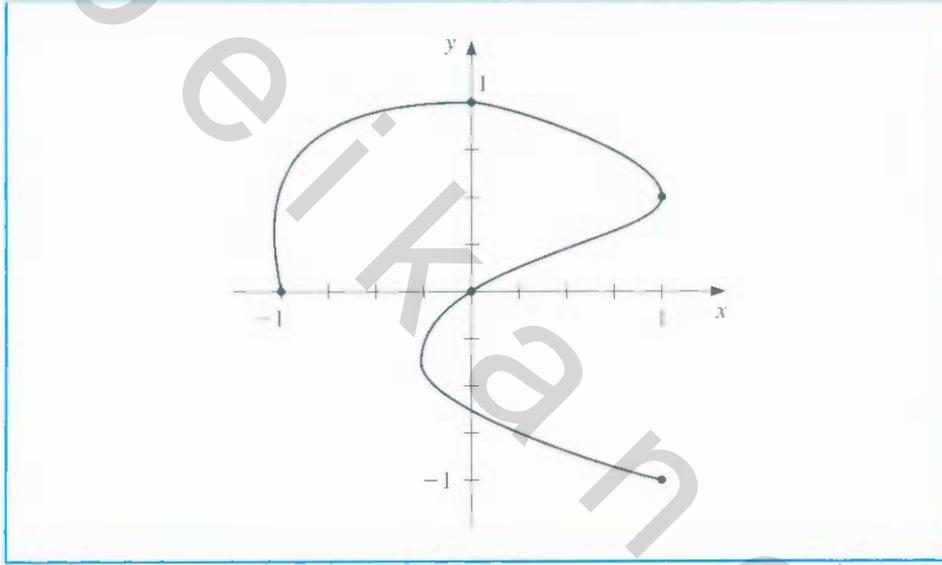
33. كرّر التمرين (32)، ولكن بإنشاء ثلاث شرائح طبيعية مستخدماً الخوارزمية (4.3).

Parametric Curves

5.3 المنحنيات الوسيطة

ليس ممكناً استخدام أي من الأساليب التي تطوّرت في هذا الفصل لتوليد منحنيات بالصيغة التي نراها في شكل (14.3)؛ لأن هذا المنحنى لا يمكن الصيغة عنه بوصفه دالة لأحد الوسيطات التنسيقية بدلالة الآخر. سوف نرى في هذا الفصل كيف تمثل منحنيات عامة باستخدام وسيط

للتعبير عن كل من متغيري إحداثيات x - و y . ويمكن توسيع هذا الأسلوب ليمثل منحنيات عامة وأسطحاً في فضاء. ويكون أسلوب الوسيط المباشر لتحديد كثيرة حدود أو كثيرة حدود مجزأة لربط النقاط $(x_0, y_0), (x_1, y_1), \dots, (x_n, y_n)$ وفق ترتيب محدد مستخدماً وسيطاً على فترة $[t_0, t_n]$ مع $t_0 < t_1 < \dots < t_n$ ثم إنشاء دوال تقريب مع $x_i = x(t_i)$ و $y_i = y(t_i)$ لكل $i = 0, 1, \dots, n$. يعرض المثال الآتي ذلك الأسلوب في حالة كون كل من دالتي التقريب كثيرة حدود لاجرانج للاستكمال الداخلي.



شكل 14.3

أنشئ زوجاً من كثيرات حدود لاجرانج لتقريب المنحنى على صورة الشكل (14.3) مستخدماً نقاط البيانات الظاهرة على المنحنى. هناك مرونة في اختيار المتغير. وسوف نختار النقاط $\{t_i\}_{i=0}^{\infty}$ المتساوية التباعد في $[0, 1]$. اعني تعطي البيانات في جدول (19.3).

مثال 1

i	0	1	2	3	4
t_i	0	0.25	0.5	0.75	1
x_i	-1	0	1	0	1
y_i	0	1	0	0	-1

جدول 19.3

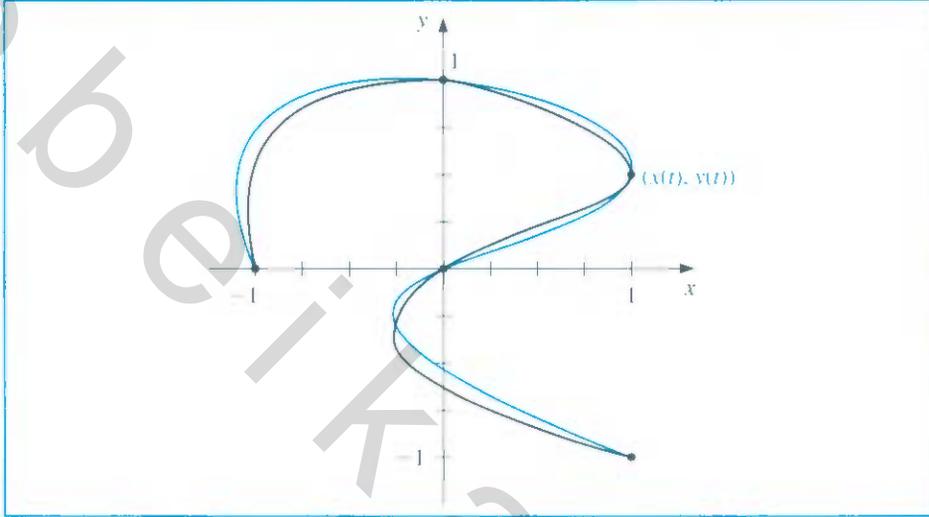
وهذا ينتج كثيرات حدود استكمال داخلي متداخلة

$$x(t) = \left(\left(\left(\left(64t - \frac{352}{3} \right) t + 60 \right) t - \frac{14}{3} \right) t - 1 \right)$$

و

$$y(t) = \left(\left(\left(\left(-\frac{64}{3}t + 48 \right) t - \frac{116}{3} \right) t + 11 \right) t \right)$$

وعند رسم هذا النظام الوسيط نحصل على الشكل البياني الموضح بالأزرق في شكل (15.3). ومع أنه يمر عبر النقاط المطلوبة، وله الشكل الرئيس نفسه، فإنه لا يتعدى التقريب الخام (الابتدائي) للمنحنى الأصلي. سيتطلب التقريب الأدق نقاطاً إضافية، مع زيادة مرافقة بالحسابات.



شكل 15 3

ويمكن توليد منحنيات هرمايت والشريحة بالأسلوب نفسه، ولكنها تتطلب جهوداً حسابية واسعة أيضاً. تتطلب التطبيقات في الرسوم الحاسوبية توليداً سريعاً لمنحنيات ملساء يمكن تعديلها بسهولة وسرعة. ولغرض حسابي وجمالي، فإن تغيير جزء واحد من هذه المنحنيات يجب ألا يكون له أثر ولو قليلاً في بقية أجزائها. يلغي هذا استخدام كثيرات حدود استكمال داخلي أو الشرائح؛ لأن تغيير أحد الأجزاء يؤثر في المنحنى كله. إن اختيار منحنى الاستخدام في الرسم الحاسوبي يكون غالباً عبارة عن صيغة لكثيرة حدود هرمايت التكعيبية المجزأة. ويحدد كل جزء من كثيرة حدود هرمايت التكعيبية كلياً من خلال وصف أطرافها والمشتقات عند الأطراف هذه. ويمكن لجزء واحد من المنحنى أن يتغير نتيجة لذلك، حيث يترك غالبية المنحنى على حاله. وتحتاج الأجزاء المتجاورة إلى التعديل. لضمان الملوسة عند الأطراف فقط. ويمكن تنفيذ الحسابات سريعاً، ويمكن تعديل المنحنى جزءاً بعد آخر. تحتاج مشكلة استكمال هرمايت الداخلي إلى وصف المشتقات عند الأطراف لكل جزء من المنحنى. لنفترض أن المنحنى له $n + 1$ من نقاط البيانات $(x(t_0), y(t_0)), \dots, (x(t_n), y(t_n))$. ونرغب في تحديد معالم المكعب لاستيعاب سمات معقدة. ويجب وصف $x'(t_i)$ و $y'(t_i)$ لكل $i = 0, 1, \dots, n$ بعد ذلك.

هذا ليس صعباً على الصورة التي تبدو لنا، لأن كل جزء ينتج مستقلاً. وعلينا ضمان أن المشتقات عند الأطراف لكل جزء تماثل تلك التي في الجزء المجاور فقط. وأخيراً نستطيع تبسيط العملية لتكون عبارة عن تحديد زوج من كثيرات حدود هرمايت التكعيبية في الوسيط t في الأساس، حيث إن $t_0 = 0$ و $t_1 = 1$ علماً أن بيانات الأطراف $(x(0), y(0))$ و $(x(1), y(1))$ والمشتقات dy/dx (at $t = 0$) و dy/dx (at $t = 1$).

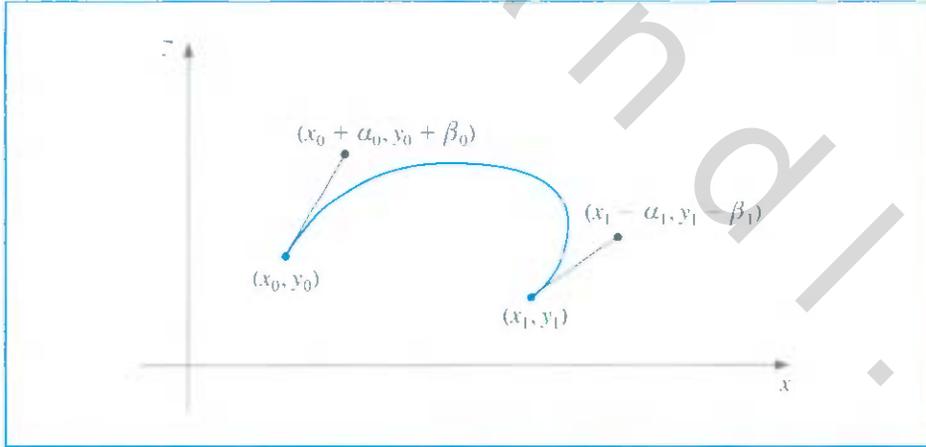
إن نظامنا نجحاً لرسم الحاسوب يحتاج لأن يكون مبنياً على أساس مبرهنة رياضية منتظمة بحيث تكون النتائج متوقعة. ولكن هذه البرهنة يجب تطبيقها ضمن خلفية بحيث يتكّن الرسام من تأسيس لتصميم وفقاً لافتراض.

لاحظ أننا نعرّف ستة شروط فقط، وأن كثيرات الحدود التكعيبية في $x(t)$ و $y(t)$ لكل منها أربعة وسيطات. ليصبح المجموع ثمانية. وهذا يوفر مرونة في اختيار زوج من كثيرات حدود هرايمت التكعيبية لتحقيق الشروط. كون الصيغة الطبيعية لتحديد $x(t)$ و $y(t)$ تتطلب منا وصف $x'(0), x'(1), y'(0), y'(1)$. يتطلب منحنى هرايمت الواضح في x و y وصف امحصلات

$$\frac{dy}{dx}(t=1) = \frac{y'(1)}{x'(1)} \text{ و } \frac{dy}{dx}(t=0) = \frac{y'(0)}{x'(0)}$$
 فقط.

وعند ضرب $x'(0)$ و $y'(0)$ في عامل قياس مشترك، فإن خط المماس للمنحنى عند $(x(0), y(0))$ يبقى نفسه، لكن يتغير شكل المنحنى. وكلما كان عامل القياس أكبر، يكون المنحنى أقرب في تقريب خط المماس من $(x(0), y(0))$. وتظهر حالة مشابهة عند نقطة النهاية الأخرى $(x(1), y(1))$. ولزيادة حول تبسيط العملية في الرسوم الحاسوبية المتداخلة، فإن المشتقة عند نقطة نهاية تبسط مستخدمة نقطة ثانية (وتدعى نقطة الدلالة *guidepoint*) على خط التماس المطلوب. وكلما كانت نقطة الدلالة بعيدة عن النقطة، أصبح بإمكان المنحنى تقريب خط المماس أكثر من النقاط. تظهر النقاط عند (x_0, y_0) و (x_1, y_1) في شكل (16.3). ونقطة الدلالة لـ (x_0, y_0) هي $(x_0 + \alpha_0, y_0 + \beta_0)$ ونقطة الدلالة لـ (x_1, y_1) هي $(x_1 - \alpha_1, y_1 - \beta_1)$. إن كثيرة حدود هرايمت التكعيبية $x(t)$ على $[0, 1]$ تحقق

$$x(0) = x_0, \quad x(1) = x_1, \quad x'(0) = \alpha_0, \quad x'(1) = \alpha_1$$



شكل 16.3

وكثيرة الحدود الوحيدة التي تحقق هذه الشروط هي

$$x(t) = [2(x_0 - x_1) + (\alpha_0 + \alpha_1)]t^3 + [3(x_1 - x_0) - (\alpha_1 + 2\alpha_0)]t^2 + \alpha_0 t + x_0 \quad (22.3)$$

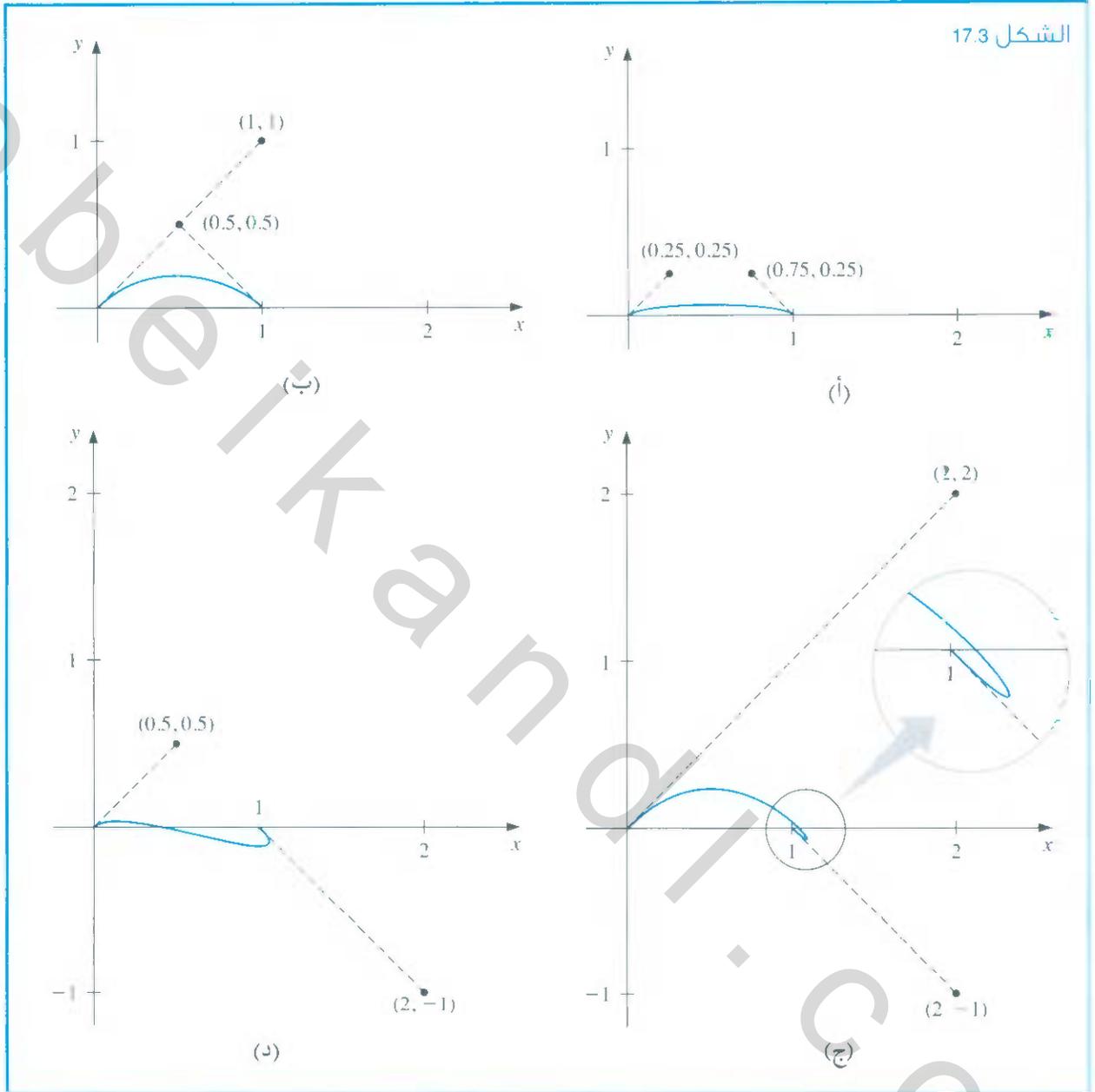
وبالأسلوب نفسه، فإن كثيرة الحدود التكعيبية الوحيدة التي تحقق

$$y(0) = y_0, \quad y(1) = y_1, \quad y'(0) = \beta_0, \quad y'(1) = \beta_1$$

تكون

$$y(t) = [2(y_0 - y_1) + (\beta_0 + \beta_1)]t^3 + [3(y_1 - y_0) - (\beta_1 + 2\beta_0)]t^2 + \beta_0 t + y_0 \quad (23.3)$$

الشكل 17.3



مثال 2 تبين الرسوم البيانية في الشكل 17.3 بعض الإمكانيات لمنحنيات أنتجت من خلال الصيغ (22.3)

و (23.3) عندما تكون النقاط هي $(1, 0)$ و $(0, 0)$ ومقدار الميل عند هذه النقاط 1 و -1 على التوالي.

إن تبيان الميل عند الأطراف يتطلب كون $\alpha_0 = \beta_0$ و $\alpha_1 = \beta_1$ فقط؛ لأن النسب α_0/β_0 و α_1/β_1

تعطي على التوالي الميل عند يسار الأطراف وبيمينها.

والأسلوب المعياري لتحديد منحنيات في حالة رسوم بيانية متداخلة هو استخدام الفأة أولاً أو كرة المسار trackball لتحديد النقاط ونقاط الدلالة لتوليد التقريب الأول للمنحنى. ويمكن تحديد هذه يدوياً، ولكن معظم أنظمة الرسوم البيانية تسمح لك باستخدام جهاز الإدخال لرسم المنحنى على الشاشة تلقائياً، وسوف تختار النقاط ونقاط الدلالة المناسبة لهذا المنحنى التلقائي.

ويمكن المناورة بالنقاط ونقاط الدلالة فيما بعد لمواقع تستطيع إنتاج منحنى ذي شكل مقبول. ولكن الحسابات بعدها الأدنى. فإن المنحنى يمكن تحديده سريعاً، حيث يمكن فضلاً عن ذلك ملاحظة التغيير الناتج حالاً. والأكثر من ذلك، فإن جميع البيانات المطلوبة لحساب المنحنيات بتوقع وجيدها في الإحداثيات ونقاط الدلالة. ولا يتطلب الأمر معرفة تحليلية لمستخدم النظام أحياناً.

وتستخدم برامج الرسوم البيانية المشهورة هذا النوع من الأنظمة لتمثيل رسمها البياني التلقائي بصيغة صيغة إلى حد ما. وتكعيبات هرايت موضحة على أنها كثيرات حدود بيزير E-z er التي تدخل عامل قياس 3 عند حساب الاشتقاق عند نقاط النهاية. وهذا يختزل الصيغ الوسيطة إلى

$$x(t) = [z(x_0 - x_1) + 3(\alpha_0 + \alpha_1)]t^3 + [3(x_1 - x_0) - 3(\alpha_1 + 2\alpha_0)]t^2 + 3\alpha_0 t + x_0 \tag{24.3}$$

و

$$y(t) = [z(y_0 - y_1) + 3(\beta_0 + \beta_1)]t^3 + [3(y_1 - y_0) - 3(\beta_1 + 2\beta_0)]t^2 + 3\beta_0 t + y_0 \tag{25.3}$$

إلى $0 \leq t \leq 1$ لكن هذا التغيير يكون واضحاً لمستخدم النظام.

تنشئ الخوارزمية (6.3) مجموعة منحنيات بيزير معتمدة على الصيغ الوسيطة في المعادلتين (24.3) و (25.3).

منحنى بيزير Bezier Curve

لإنشاء منحنيات بيزير التكعيبية C_0, \dots, C_{n-1} بصيغة متغيرة، بحيث C_i ممثلة كآتي:

$$(x_i(t), y_i(t)) = (a_0^{(i)} + a_1^{(i)}t + a_2^{(i)}t^2 + a_3^{(i)}t^3, b_0^{(i)} + b_1^{(i)}t + b_2^{(i)}t^2 + b_3^{(i)}t^3)$$

لـ $0 \leq t \leq 1$ حيث إنها محددة بنقطة الطرف الأيسر (x_i, y_i) ، نقطة الدلالة اليسرى (x_i^-, y_i^-) ونقطة الطرف الأيمن (x_{i+1}, y_{i+1}) ، ونقطة الدلالة اليمنى (x_{i+1}^+, y_{i+1}^+) لكل $i = 0, 1, \dots, n-1$

المدخلات: $(x_0, y_0), \dots, (x_n, y_n); (x_0^+, y_0^+), \dots, (x_{n-1}^+, y_{n-1}^+); (x_1^-, y_1^-), \dots, (x_n^-, y_n^-)$ المخرجات: المعاملات $\{a_0^{(i)}, a_1^{(i)}, a_2^{(i)}, a_3^{(i)}, b_0^{(i)}, b_1^{(i)}, b_2^{(i)}, b_3^{(i)}\}$ لكل $0 \leq i \leq n-1$

الخطوة	المضمون
1	لكل $i = 0, 1, \dots, n-1$ ، انشئ الخطوتين 2 و 3.
2	ضع $a_0^{(i)} = x_i$ $b_0^{(i)} = y_i$ $a_1^{(i)} = 3(x_i^+ - x_i)$

كان بيير آيتن بيزير (1910-1999) PierreEtienne Bezier رئيساً للتصميم والإنتاج في شركة رينو للسيارات معظم حياته المهنية بدأ بحثه في التصميم المدعم بالحاسوب والتصنيع عام 1960. مطوراً أدوات فاعلة في تصميم المنحنى والسطح وأسس طريقة توليد حاسوبية في ثلاثة اتجاهات (3D) لنماذج السيارات

من إيجابيات منحنيات بيزير Bezier التي تحمل اسمه. أنها تستند إلى مبرهنة رياضية دقيقة، ولا تحتاج لأن تكون ماثلة كلياً أمام النقطة بالتطبيق الذي يريد عمل منحنى أو سطح تتحقق فيه الافتراضات. هذه المنحنيات هي القاعدة لنظام هوامشر Adobe Postscript القوي، حيث تنتج المنحنيات آلياً، وتظهر في العديد من برمجيات التصميم الحاسوبية.



$b_1^{(i)} = 3(y_i^+ - y_i)$ $a_2^{(i)} = 3(x_i + x_{i+1}^- - 2x_i^+)$ $b_2^{(i)} = 3(y_i + y_{i+1}^- - 2y_i^+)$ $a_3^{(i)} = x_{i+1} - x_i + 3x_i^+ - 3x_{i+1}^-$ $b_3^{(i)} = y_{i+1} - y_i + 3y_i^+ - 3y_{i+1}^-$	2
المخرجات $(a_0^{(i)}, a_1^{(i)}, a_2^{(i)}, a_3^{(i)}, b_0^{(i)}, b_1^{(i)}, b_2^{(i)}, b_3^{(i)})$	3
توقف.	4



تتكون المنحنيات الثلاثية الأبعاد بطريقة مماثلة بواسطة تعيين مركبات إضافية لـ \bar{z}_0 و \bar{z}_1 للعقد. و $\bar{z}_0 + \gamma_0$ و $\bar{z}_1 - \gamma_1$ للنقاط الدالة. وتعتبر المسألة الصعبة المتضمنة تمثيل المنحنيات ثلاثية الأبعاد في فقدان البعد الثالث عند رسم المنحنى على شاشة الحاسوب ثنائية الأبعاد. تستخدم تقنيات متعددة ومختلفة، ولكن هذا الموضوع يقع ضمن واقع الرسوم البيانية الحاسوبية. وللحصول على مقدمة لهذا الموضوع وطرق إمكانية تعديل هذه التقنيات عند تمثيلها على السطوح المستوية. يرجى الرجوع إلى الكتب المتعددة حول أساليب رسومات الحاسوب البيانية مثل [Hill, F] أو [FVFH].

EXERCISE SET

مجموعة التمارين 5.3

- لتكن $(x_0, y_0) = (0, 0)$ و $(x_1, y_1) = (5, 2)$ نقاط نهاية منحنى. استخدم نقاط الدلالة أدناه لإنشاء تقريبات هرميات التكعيبية الوسيطة $(x(t), y(t))$ للمنحنى، وارسم التقريبات:
 - أ. $(1, 1)$ و $(6, 1)$ ب. $(5.5, 1.5)$ و $(0.5, 0.5)$
 - ج. $(6, 3)$ و $(1, 1)$ د. $(7, 0)$ و $(2, 2)$
- كرّر التمرين (1) مستخدماً كثيرات حدود بيزير التكعيبية.
- أنشئ كثيرات حدود بيزير التكعيبية معتمداً الأطراف ونقاط الدلالة الآتية وارسمها:
 - أ. النقطة $(1, 1)$ مع نقطة دلالة $(1.5, 1.25)$ للنقطة $(6, 2)$ مع نقطة دلالة $(7, 3)$.
 - ب. النقطة $(1, 1)$ مع نقطة دلالة $(1.25, 1.5)$ للنقطة $(6, 2)$ مع نقطة دلالة $(5, 3)$.
 - ج. النقطة $(0, 0)$ مع نقطة دلالة $(0.5, 0.5)$ للنقطة $(4, 6)$ مع نقطة دلالة داخلية $(3.5, 7)$ ونقطة دلالة خارجة $(4.5, 5)$ للنقطة $(6, 1)$ مع نقطة دلالة $(7, 2)$.
 - د. النقطة $(0, 0)$ مع نقطة دلالة $(0.5, 0.5)$ للنقطة $(2, 1)$ مع نقطة دلالة داخلية $(3, 1)$ ونقطة دلالة $(3, 1)$ للنقطة $(4, 0)$ مع نقطة دلالة داخلية (1.5) ونقطة دلالة $(3, -1)$ للنقطة $(6, -1)$ مع نقطة دلالة $(6.5, -0.25)$.
- استخدم البيانات في الجدول الآتي والخوارزمية (6.3) لتقريب شكل الحرف \mathcal{M} :

i	x_i	y_i	α_i	β_i	α'_i	β'_i
0	3	6	3.3	6.5		
1	2	2	2.8	3.0	2.5	2.5
2	6	6	5.8	5.0	5.0	5.8
3	5	2	5.5	2.2	4.5	2.5
4	6.5	3			6.4	2.8

5. افترض أن كثيرة حدود بيزير التكعيبية قد وضعت عبر النقاط (u_0, v_0) و (u_1, v_1) مع نقاط دلالة (u_2, v_2) و (u_3, v_3) على التوالي.

أ. اشتق الصيغ الوسيطة لـ $u(t)$ و $v(t)$ مفترضاً أن

$$u(0) = u_0, \quad u(1) = u_3, \quad u'(0) = u_1 - u_0, \quad u'(1) = u_3 - u_2$$

$$\text{و} \quad v(0) = v_0, \quad v(1) = v_3, \quad v'(0) = v_1 - v_0, \quad v'(1) = v_3 - v_2$$

ب. لتكن $f(\frac{1}{3}i) = u_i$ لكل $i = 0, 1, 2, 3$ وكثيرة حدود برنستاين من الرتبة 3 في t هي $u(t)$. أثبت أن كثيرة حدود $g(\frac{1}{3}i) = v_i$ لكل $i = 0, 1, 2, 3$. أثبت أن كثيرة حدود برنستاين من الرتبة 3 في t هي f هي g هي $x(t)$.
(انظر تمرين 29 من الفصل 1.3)

Survey Methods and Software

6.3 مسح الطرائق والبرمجيات

بحثنا في هذا الباب تقريب دالة باستخدام كثيرات حدود وكثيرات حدود مجردة. ويمكن وصف الدالة من خلال صيغة تعريفية أو من خلال تهيئة نقاط في السطح يمر من خلالها الشكل البياني للدالة.

إن مجموعة النقاط x_0, x_1, \dots, x_n معطاة في كل حالة، وإن معلومات أخرى كقيمة مشنقات مختلفة، يمكن أن تكون ضمن المتطلبات أيضاً. نحن بحاجة إلى إيجاد دالة تقريبية تحقق الشروط المحددة من قبل هذه البيانات. إن كثيرة حدود استكمال داخلي $P(x)$ هي كثيرة حدود ذات أقل رتبة وتحقق للدالة f

$$P(x_i) = f(x_i) \quad \text{لكل } i = 0, 1, \dots, n$$

ومع أن كثيرة الحدود هذه هي استكمال داخلي وحيد، فإنه يمكن أن تأخذ صيغاً مختلفة. وصيغة لاجرانج غالباً ما تستخدم في جداول استكمال داخلي عندما تكون n صغيرة. وفي اشتقاق صيغ لتقريب المشتقات والتكاملات أيضاً. وتستخدم طريقة نيفيل في حساب الكثير من كثيرات الحدود المستكملة داخلياً عند نفس القيمة لـ x . وتكون صيغ نيوتن لكثيرات الحدود أكثر تناسباً للحساب، وتستخدم على نحو واسع لاشتقاق صيغ لحل الصيغ التفاضلية أيضاً. ويتسم استكمال داخلي كثيرة حدود بحالة ضعف تكمن في التذبذب، خصوصاً إذا كان عدد النقاط كبيراً. ويمكن تطبيق طرائق أخرى في هذه الحالة.

تستكمل كثيرات حدود هرايميت الدالة ومشتقاتها عند النقاط داخلياً. ويمكن أن تكون نقطة جداً، لكن ذلك يتطلب معلومات أكثر حول الدالة المراد تقريبها. وعندما يكون هناك عدد كبير من النقاط، فإن كثيرات حدود هرايميت معرضة لحالة ضعف التذبذب أيضاً.

أكثر صيغ الاستكمال الداخلي شيوعاً في الاستخدام هي استكمال داخلي كثيرة حدود مجردة. فإذا توفرت قيم الدالة والمشتقة، فإنه ينصح باستخدام هرايميت الداخلي التكعيبي. إنها الطريقة الفضلى لقيم استكمال داخلي الدالة، التي تمثل حل صيغة الاشتقاق. وعندما لا يتوافر سوى قيم الدالة، فإنه يمكن استخدام استكمال داخلي الشريحة التكعيبية الحرة. هذا يجبر المشتقة الثانية للشريحة لتصبح صفراً عند الأطراف. وتتطلب شرائح تكعيبية أخرى بيانات إضافية. ويحتاج الشريحة التكعيبية التشابكية إلى قيم مشتقة الدالة عند الأطراف للفترة على سبيل المثال. هناك طرائق استكمال داخلي أخرى شائعة الاستخدام مثل الاستكمال داخلي مثلثاتي، وبالتحديد

تحول فورير السريع Fast Fourier Transform الذي سيتناول في الباب الثامن، ويستخدم مع كميات كبيرة من البيانات عندما تكون الدالة ذا طبيعة دورية. ويستخدم الاستكمال الداخلي من خلال دوال معقولة أيضاً. وإذا حصل شك في دقة البيانات، فإن أساليب الملوسة يمكن تطبيقها، وينصح عندئذ باستخدام بعض صيغ المربعات الصغرى Least Squares لتوفيق البيانات مثل كثيرات حدود، دوال مثلثاتية. دوال معقولة. وشرائح يمكن استخدامها في المربعات الصغرى لتوفيق البيانات. وسوف نتناول هذه المواضيع في الباب الثامن. تستند برامج نمطية الاستكمال الداخلي في مكتبة IMSL إلى الكتاب

"A Practical Guide to Splines by Carl de Boor [Deb2]" واستخدام استكمال داخلي من خلال شرائح تكعيبية. ويستخدم النمط البرامجي CSDEC لاستكمال داخلي من خلال شرائح تكعيبية مع شروط إنهاء نتاج للمستخدم. CSPER هو لاستكمال داخلي من خلال شرائح تكعيبية مع شروط إنهاء دورية. وCSHER هو لاستكمال داخلي من خلال كثيرات حدود هرميات شبه الجزأة. والنمط البرامجي CSDEC يدمج ما بين الخوارزميتين (4.3 و 5.3). والنمط البرامجي CSINT يستخدم شرط اللاعقدة الذي ذكر في نهاية الفصل (4.3). وهناك شرائح تكعيبية لتقليل التذبذبات والإبقاء على التقعر أيضاً. وطرائق استكمال داخلي في اتجاهين من خلال شرائح ثنائية التكعيب موجودة أيضاً.

تتضمن مكتبة NAG <http://www.netlib.org> برامج نمطية فرعية مثل subroutines EO1AEF لاستكمال داخلي كثيرات حدود وهرمايت، EO1BAF لاستكمال داخلي شرائح تكعيبية و EO1BEF لاستكمال داخلي هرمايت التكعيبية الجزأة. يُستخدم النمط البرامجي الفقرة EO1ABF لاستكمال داخلي لبيانات عند نقاط متساوية التباعد. أما النمط البرامجي الفقرة EO1AAF فيطبق على بيانات عند نقاط غير متساوية التباعد. ويتضمن NAG برامج نمطية جزئية لاستكمال داخلي من دوال بمتغيرين أيضاً.

وتحتوي المكتبة netlib على البرامج النمطية الجزئية cubsp1.f من خلال الحزمة pppack لحساب الشريحة التكعيبية مع شروط مختلفة الأطراف. ومن خلال الحزمة slatec، فإن polint.f يعطي معامل فروقات نيوتن المنقسمة لنقاط بيانات منقطعة (منفصلة). ونجد برامج نمطية فرعية مختلفة لحساب كثيرات حدود هرمايت الجزأة من خلال الحزمة slatec/pchip.

ويمكن استخدام دالة MATLAB التي هي INTERP1 لاستكمال داخلي لمجموعة نقاط بيانات منقطعة. باستخدام أقرب استكمال داخلي مجاور، أو استكمال داخلي خطي، أو استكمال شريحة داخلي تكعيبية. أو استكمال داخلي تكعيبية. مخرجات INTERP1 كثيرة حدود قيد الحساب عند مجموعة نقاط منقطعة. ويمكن استخدام POLYFIT المبني على تقريب المربعات الصغرى (انظر الفصل 1.8) لإيجاد دالة استكمال داخلي من الرتبة n على الأكثر. ويمر عبر $n+1$ من النقاط المحددة. ويمكن إنتاج شرائح تكعيبية مع الدالة SPLINE. يمكن استخدام Maple لإنشاء

>interp(X,Y,x);

[x[0], x[1],..., x[n]]

[f(x[0]), f(x[1]),..., f(x[n])]

كثيرة حدود استكمال داخلي مستخدماً الأوامر

حيث X عبارة عن النقطة

وY عبارة عن النقطة

و x هو المتغير قيد الاستخدام. ويمكن إنشاء الشريحة التكميبيية الطبيعية مع Maple أيضاً. أدخل أولاً

```
>readlib(spline)
```

لجاهزية الحزمة. ومع X و Y اسبينين في المقطع السابق. فإن الأمر

```
>spline(X,Y,s,3);
```

تنشأ الشريحة التكميبيية الطبيعية التي تستكمل داخلياً

$$Y = [y[0], \dots, y[n]] \text{ و } X = [x[0], \dots, x[n]]$$

حيث X هو المتغير. والعدد 3 يشير إلى رتبة الشريحة التكميبيية. ويمكن إيجاد شرائح خطية وتربيعية أيضاً.

المراجع العامة للطرائق في هذا الفصل من تأليف Powell [Po] و Davis [Da] وتعود الورقة حول الشرائح إلى Schoenberg [Scho]. هذه كتب مهمة حول الشرائح من تأليف Schultz [Schul], De Boor [Deb2], Dierckx [Di], Schumaker [Schum]